



documenta naturae
abhandlungen

Band 1 - Teil 2 - Tafelband

**Mikropaläontologie (Foraminiferen, Ostrakoden),
Biostratigraphie und fazielle Entwicklung der Kreide
von Nordsomalia -
mit einem Beitrag zur geodynamischen Entwicklung des
östlichen Gondwana im Mesozoikum und
frühen Känozoikum**



**Peter
LUGER
†**



**Micropalaeontology (Foraminiferida, Ostracoda),
biostratigraphy and facies development of the Cretaceous
of Northern Somalia -
including a contribution concerning the geodynamic
development of eastern Gondwana during the
Cretaceous to basal Paleocene**



abhandlungen
Band 1 - Teil 2

**Mikropaläontologie (Foraminiferen, Ostrakoden),
Biostratigraphie und fazielle Entwicklung der Kreide
von Nordsomalia**

**mit einem Beitrag zur geodynamischen Entwicklung
des östlichen Gondwana im Mesozoikum und frühen
Känozoikum**

*Micropalaeontology (Foraminiferida, Ostracoda),
biostratigraphy and facies development of the
Cretaceous of Northern Somalia*

*including a contribution concerning the geodynamic
development of eastern Gondwana during the
Cretaceous to basal Paleocene*

Peter LUGER (†)

TAFELBAND



Landshut, 06. Dezember 2018

ISSN 2626-4161 (Print)
ISSN 2626-9864 (Online)

ISBN 978-3-947953-00-4 (Gesamtausgabe)
ISBN 978-3-947953-01-1 (Band 1 - Teil 1)
ISBN 978-3-947953-02-8 (Band 1 - Teil 2)

Die Zeitschrift "documenta naturae abhandlungen" ist die Fortsetzung der Sonderband-Reihe der "Zeitschrift Documenta naturae", begründet 1976 in Landshut.

Copyright © 2018 amh-Geo Geowissenschaftlicher Dienst, Aham bei Landshut
Alle Rechte vorbehalten. - All rights reserved.

Der/die Autor(en) sind verantwortlich für den Inhalt der Beiträge, für die Gesamtgestaltung
Herausgeber und Verlag.

Das vorliegende Werk einschließlich aller seiner Teile ist urheberrechtlich geschützt. Jede
Verwendung, auch auszugsweise, insbesondere Übersetzungen, Nachdrucke, Vervielfältigungen
jeder Art, Mikroverfilmungen, Einspeicherungen in elektronische Systeme, bedarf der schriftlichen
Genehmigung des Verlages.

ISSN 2626-4161 (Print)

ISSN 2626-9864 (Online)

ISBN 978-3-947953-00-4 (Gesamtausgabe)

ISBN 978-3-947953-01-1 (Band 1 - Teil 1)

ISBN 978-3-947953-02-8 (Band 1 - Teil 2)

Landshut, 06. Dezember 2018

Printed edition released 06. Dezember 2018 / available online 06. Dezember 2018

Bestellungen & Vertrieb
über den Verlag und unter www.amh-geoshop.de

Herausgeber, Verlag & Herstellung
amh-Geo • Geowissenschaftlicher Dienst
Inhaber Dr. Alexander M. Heyng, Erling 5, D-84168 Aham bei Landshut
Tel.: +49 (0)171 8976551 E-Mail: heyng@amh-geo.de
www.amh-geo.de
www.documenta-naturae.de

Für meine Mutter Christel Luger

Im Gedenken

an meinen Vater Erwin Luger

und

meine Großmutter Elionore Weißenborn,

**die beide während meines ersten Geländeaufenthaltes in
Nordsomalia 1988 verstarben;**

sowie für

meine Familie in Deutschland

in

Südafrika

und

Australien

Phototafeln

Foraminiferida 1- 27

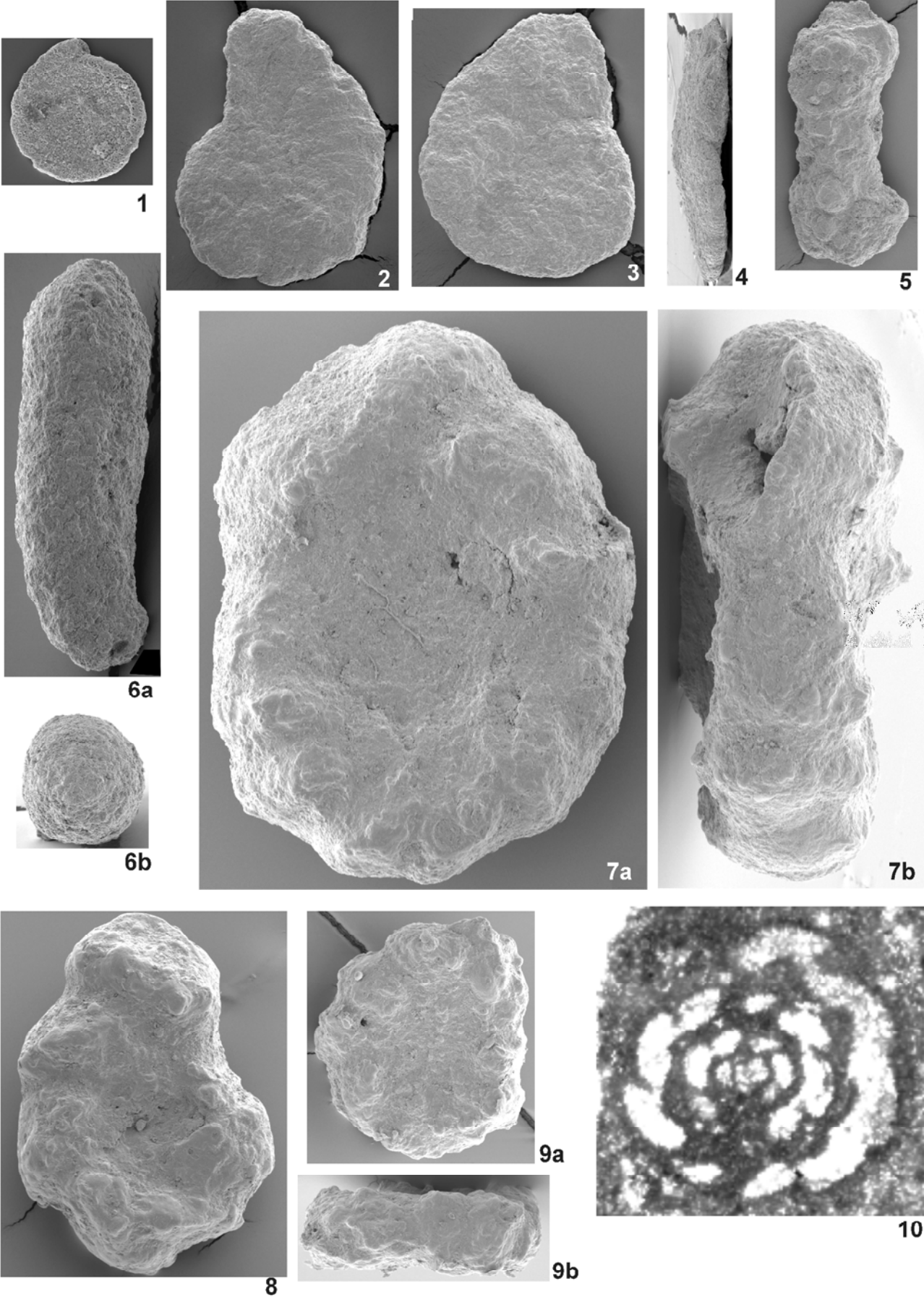
Ostracoda 28- 49

Tafel 1

Alle Objekte ca. 100x, Nordsomalia.

- Fig. 1: *Ammodiscus cretaceus* (REUSS, 1845) – Profil Xabaal Garure, Probe XGa37, unteres Oberapt.
O. Nr. TUB-SFU 118, Spiralansicht.
- Fig. 2-4: *Haplophragmoides?* sp. - Profil Xabaal Garure, Probe XGa40, unteres Oberapt.
2: O. Nr. TUB-SFU 164, Spiralansicht. 3: O. Nr. TUB-SFU 155, ?Spiralansicht.
4: O. Nr. TUB-SFU 156, Lateralansicht.
- Fig. 5: *Ammobaculites subcretaceus* CUSHMAN und ALEXANDER, 1930 - Profil Xabaal Garure, Probe XGa40, unteres Oberapt.
O. Nr. TUB-SFU 146, Spiralansicht.
- Fig. 6: *Ammobaculites?* sp. 3 - Profil Xabaal Garure, Probe XGa41, unteres Oberapt.
O. Nr. TUB-SFU 157, Spiralansicht.
- Fig. 7-9: *Sculptobaculites cf. goodlandensis* CUSHMAN und ALEXANDER, 1930 – Profil Dhadhabho, Probe Dha26, unteres Oberapt.
7: O. Nr. TUB-SFU 49, a: Spiralansicht, b: Lateralansicht. 8: O. Nr. TUB-SFU 51, Spiralansicht. 9: O. Nr. TUB-SFU 50, a: Spiralansicht, b: Lateralansicht.
- Fig. 10: *Charentia cuvillieri* NEUMANN, 1965 – Profil Biyo Kulule, Probe BKu10, oberstes Alb.
O. Nr. TUB-SFU BKu10/3/1, Äquatorialschnitt.

Tafel 1



Tafel 2

Alle Objekte ca. 50x, Nordsomalia.

Fig. 1: *Daxia cf. cenomana* CUVILLIER und SZAKALL, 1949 – Profil Manna'a, Probe Man53, oberes Alb.

O. Nr. TUB-SFU Man53/3/2, leicht schräger Äquatorialschnitt.

Fig. 2: *Ammobaculites* sp.1 – Profil Galgalo, Probe Gal11, unteres Paleozän.

O. Nr. TUB-SFO Gal11/1/1, leicht schräger Äquatorialschnitt.

Fig. 3-5: *Ammobaculites* sp. 2 – Profil Tisje, Campan.

3, 5: Probe Tis6, vermutlich megalosphärische Exemplare.

3: O. Nr. TUB-SFU Tis6/5/1, Äquatorialschnitt. 5: O. Nr. TUB-SFU Tis6/3/1, leicht schiefer Äquatorialschnitt.

4: Probe Tis4, O. Nr. TUB-SFO Tis4/4/3, vermutlich mikrosphärisches Exemplar.

Fig. 6: *Triplasia acuta* BARTENSTEIN und BRAND, 1951 – Profil Xabaal Garure, Probe XGa65, Alb.

O. Nr. TUB-SFU 161, a: Lateralansicht; b: Distalansicht.

Fig. 7: *Flabellamina alexanderi* CUSHMAN, 1928 – Profil Xabaal Garure, Probe XGa65, Alb.

O. Nr. TUB-SFU 159, a: Lateralansicht; b: Distalansicht.

Fig. 8-10: *Antalya korayi* FARINACCI und KÖYLÜOĞLU, 1985 – Maastricht.

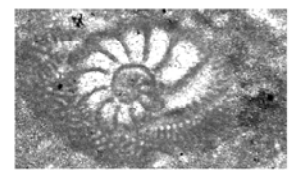
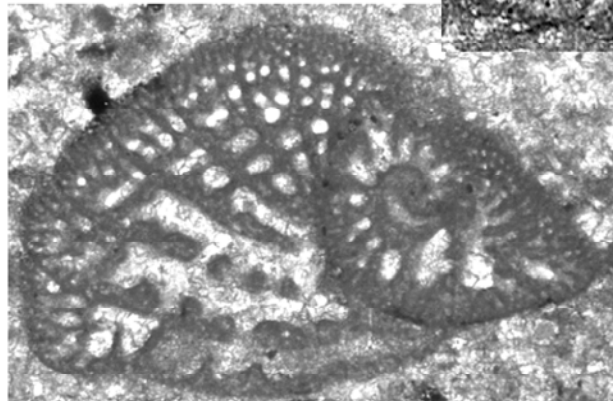
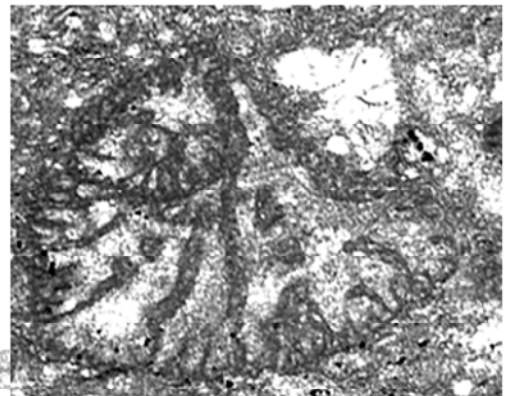
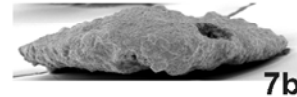
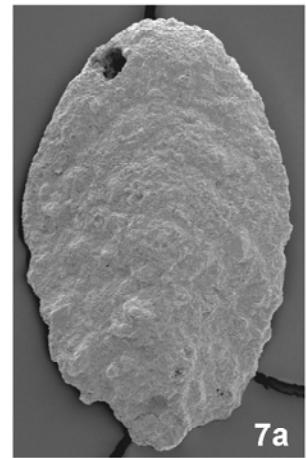
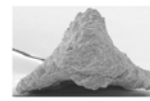
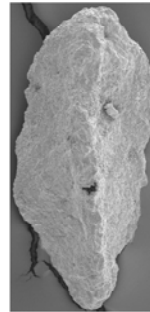
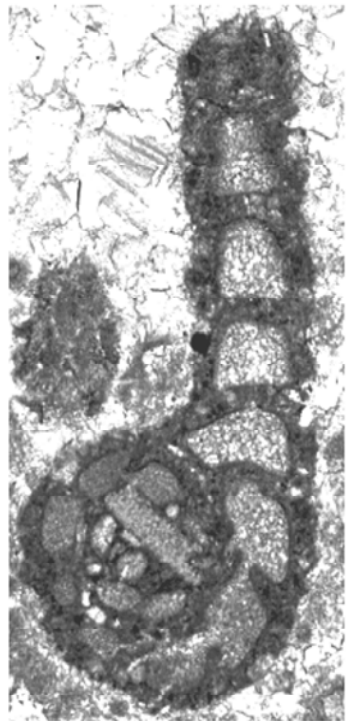
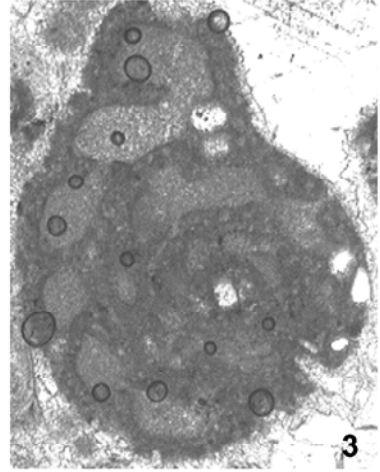
8, 10: Profil Tisje.

8: Probe Tis11, O. Nr. TUB-SFO Tis11/5/1, adultes Exemplar.

10: Probe Tis15, O. Nr. TUB-SFU Tis15/5/1, Juvenarium.

9: Profil Galgalo, Probe Gal8, O. Nr. TUB-SFO Gal8/2/1, adultes Exemplar.

Tafel F-2

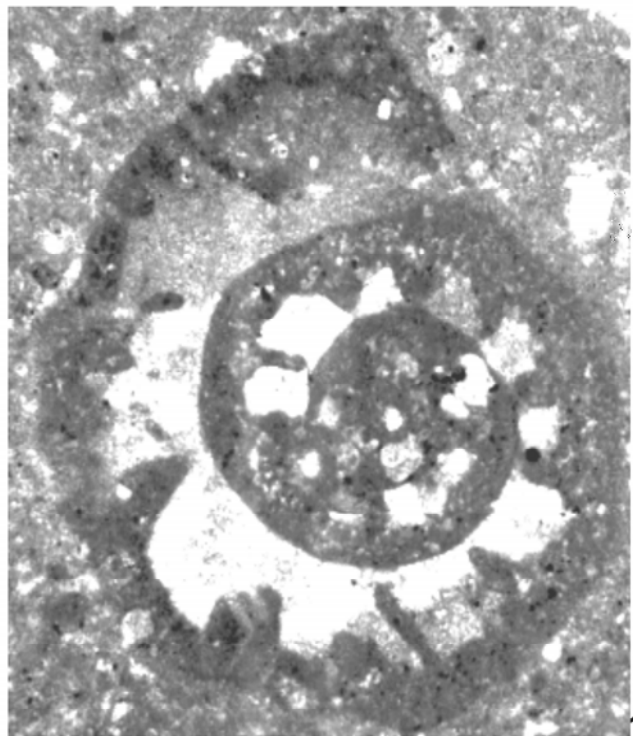
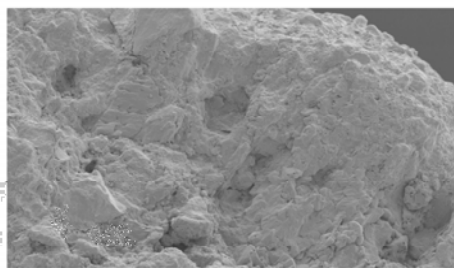
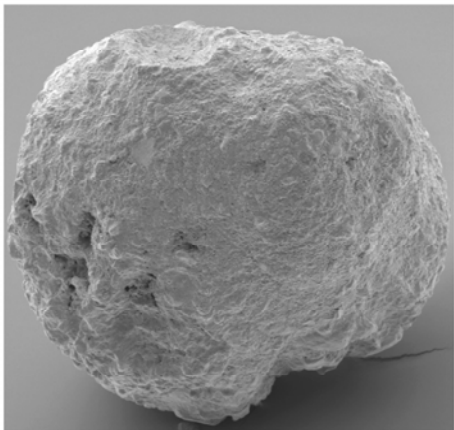
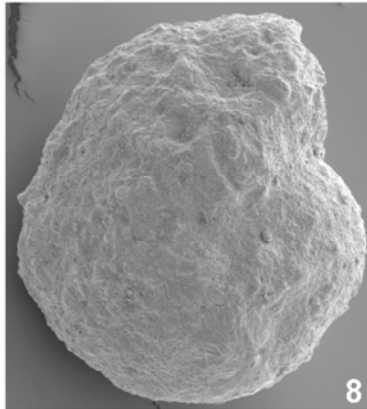
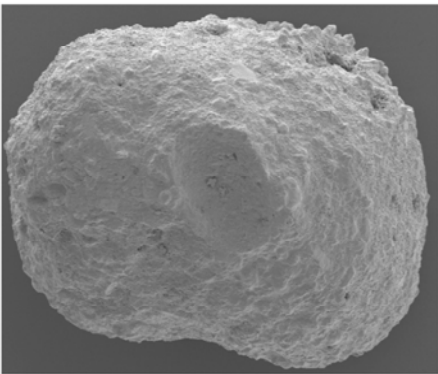
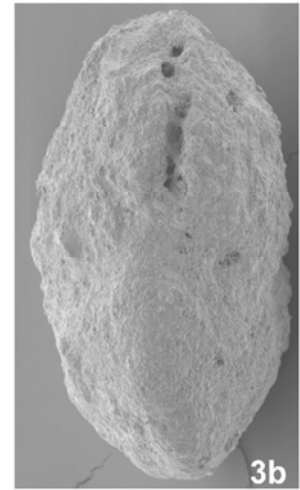
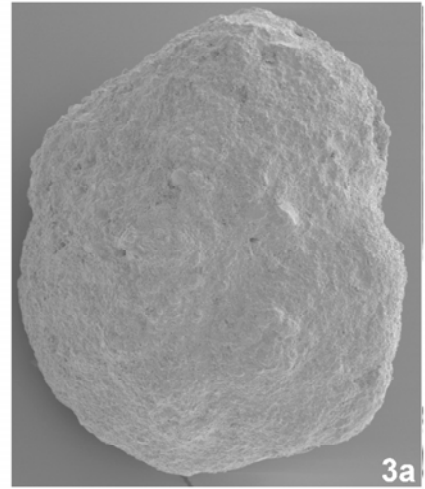
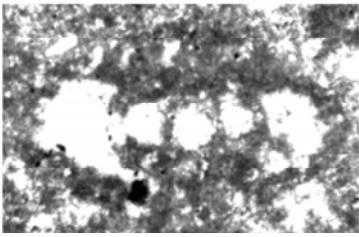
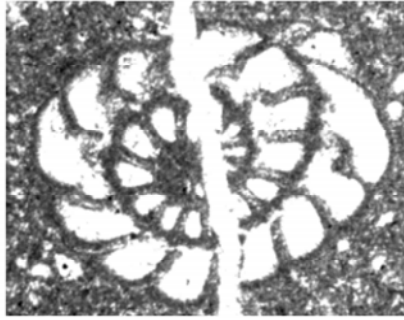
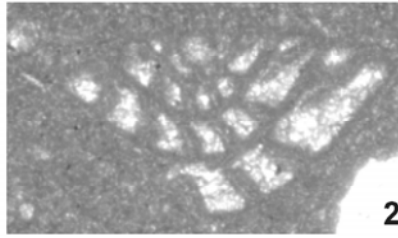
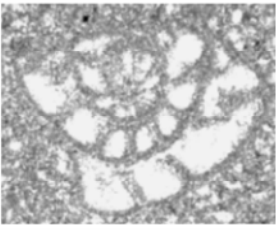


Tafel 3

Fig. 1-9, 11 ca. 60x, Nordsomalia.

- Fig. 1, 2, 4, 5: *Nezzazata simplex* OMARA, 1956 – Profil Biyo Kulule, Probe BKu1, oberes Alb.
 1: O. Nr. TUB-SFU BKu1/2/3, schiefer Axialschnitt. 2: O. Nr. TUB-SFU BKu1/3/1, Axialschnitt. 4: O. Nr. TUB-SFU BKu1/3/5, Axialschnitt. 5: O. Nr. TUB-SFU BKu1/3/3 Äquatorialschnitt.
- Fig. 3, 6, 8: *Charentia cuvillieri* NEUMANN, 1965 – Alb.
 3, 8: Profil Xabaal Garure, Probe XGa65.
 3: O. Nr. TUB-SFU 163, a: Lateralansicht; b: Ansicht auf Mündung (defekt). 8: O. Nr. TUB-SFU 162, Lateralansicht.
 6: Profil Togga Mareer, Probe TgM14, O. Nr. TUB-SFU TgM14/5/1, Axialschnitt.
- Fig. 7, 9, 10: *Buccicrenata hedbergi* (MAYNC, 1953) – Profil Xabaal Garure, Probe XGa65, Alb.
 7, 9: O. Nr. TUB-SFU 164; vermutlich megalospärische Formen. 7: „Spiralansicht“; 9: Lateralansicht. 10: O. Nr. TUB-SFU 165; Detail der Wandstruktur, ca. 500x.
- Fig. 11: *Hemicyclamma sigali* MAYNC, 1953 – Profil Togga Mareer, Probe TgM21, Alb.
 O. Nr. TUB-SFU TgM21/4/5, Äquatorialschnitt.

Tafel 3



Tafel 4

Fig. 1-11 ca. 30x, Fig. 12 ca. 10x, Nordsomalia.

Fig. 1-6: *Buccicrenata hedbergi* (MAYNC, 1953)

1, 2,: Profil Biyo Kulule, Probe BKu10, oberstes Alb. Mikrosphärische Formen(?).
1: O. Nr. TUB-SFU BKu10/1/1 Axialschnitt. 2: O. Nr. TUB-SFU BKu10/6/1 schiefer Äquatorial-schnitt.

3-6: megalosphärische Formen(?).

3: Profil Xabaal Garure, Probe XGa93, mittleres Cenoman. O. Nr. TUB-SFU XGa93/1/1.

4, 5: Profil Biyo Kulule, oberstes Alb.

4: O. Nr. TUB-SFU BKu10/1/2. 5: O. Nr. TUB-SFU BKu10/2/1.

6: Profil Manna'a, Probe Man9, unteres Apt. O. Nr. TUB-SFU Man9/1/1.

Fig. 7, 8: *Choffatella descipiens* SCHLUMBERGER, 1905 – Profil Dhadhabo, Probe Dha15, unteres Apt.

7: O. Nr. TUB-SFU Dha15/2/1 Äquatorialschnitt einer megalosphärischen Form (daneben *Hensonella dinarica* (RADOICIC, 1959)). 8: O. Nr. TUB-SFU Dha15/3/1 Äquatorialschnitt einer mikrosphärischen Form.

Fig. 9: *Loftusia coxi* HENSON, 1948. – Profil Tisje, Probe Tis9, Maastricht.

O. Nr. TUB-SFO Tis9/1/1, Äquatorialschnitt einer megalosphärischen Form..

Fig. 10: *Saudia* sp. – Profil Galgalo, Probe Gal8, Maastricht.

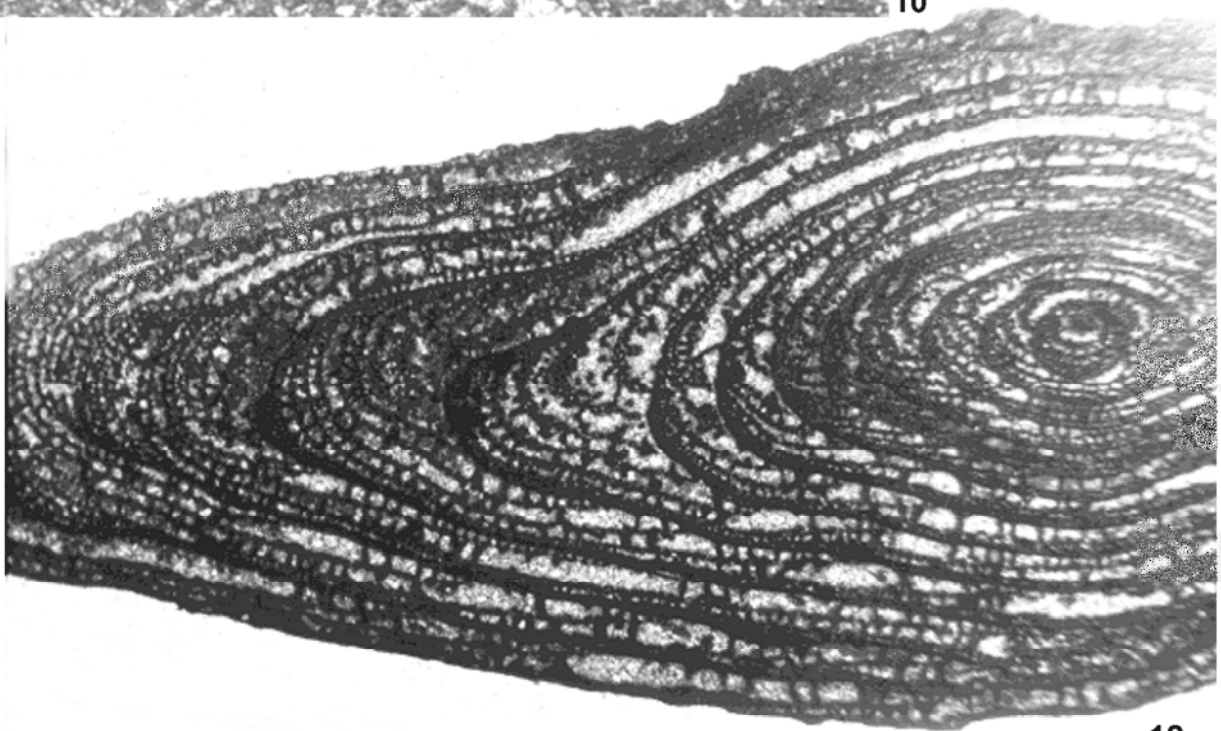
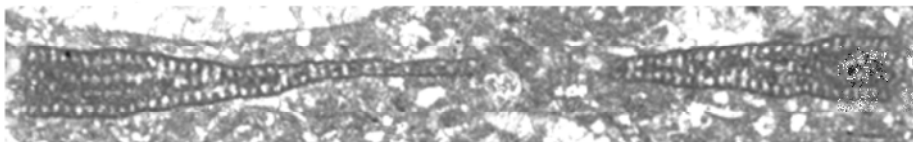
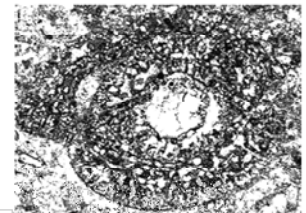
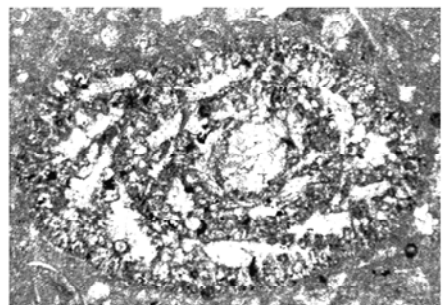
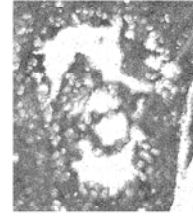
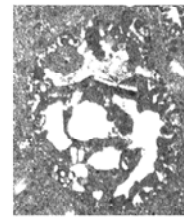
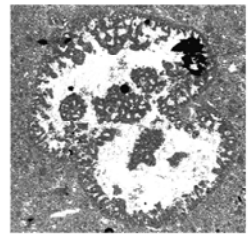
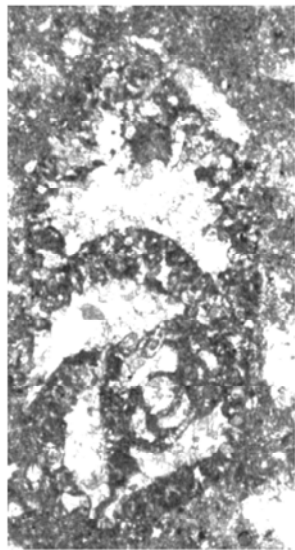
O. Nr. TUB-SFO Gal8/6/1, Axialschnitt.

Fig. 11, 12: *Loftusia elongata* COX, 1937 – Maastricht.

11: Profil Tisje, Probe Tis14. O. Nr. TUB-SFO Tis14/1/1, Äquatorialschnitt einer megalosphärischen Form.

12: Profil Biyo Kulule, Probe BKu17, O. Nr. TUB-SFO BKu17/1; Ausschnitt eines Axialschnitts eines isolierten mikrosphärischen Exemplars.

Tafel 4

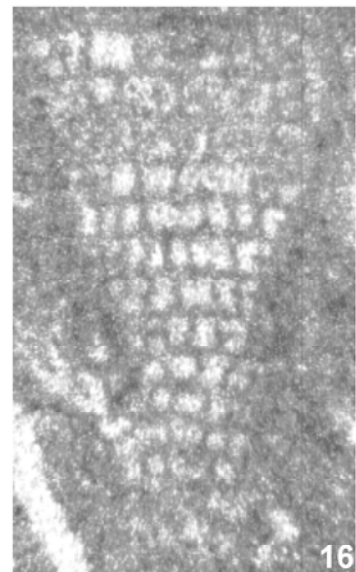
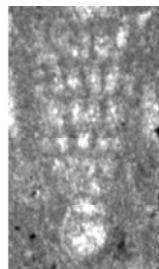
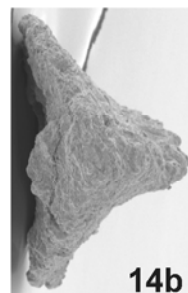
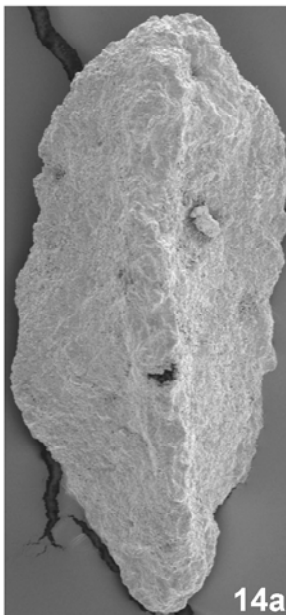
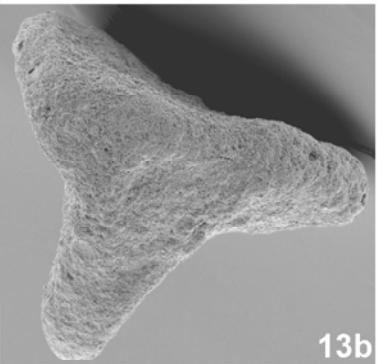
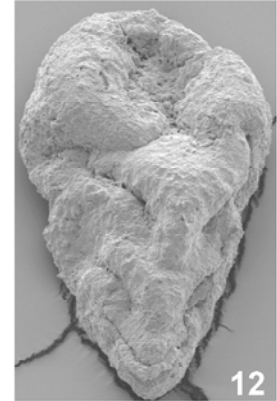
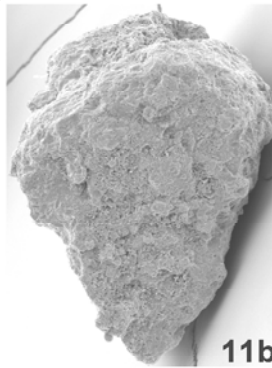
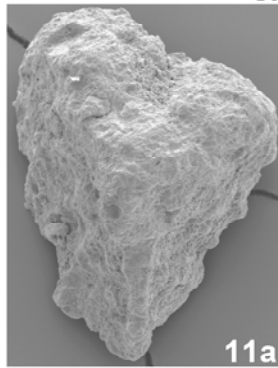
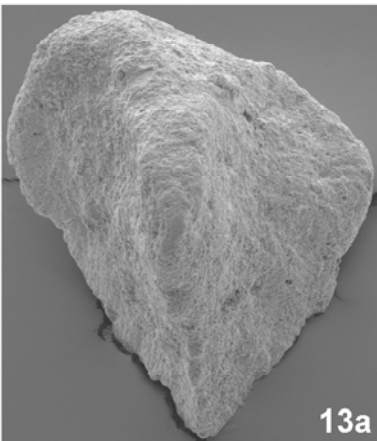
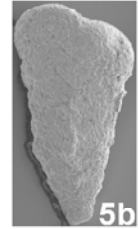
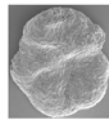
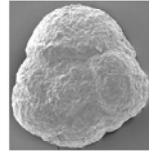
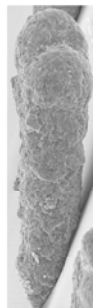
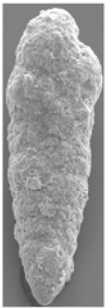
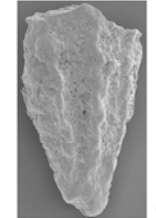
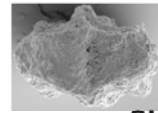
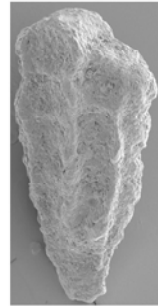
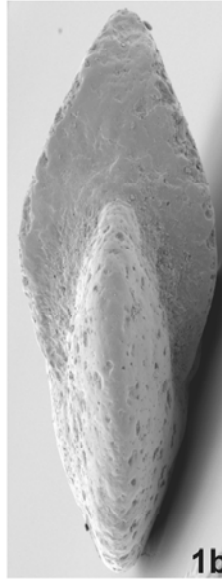
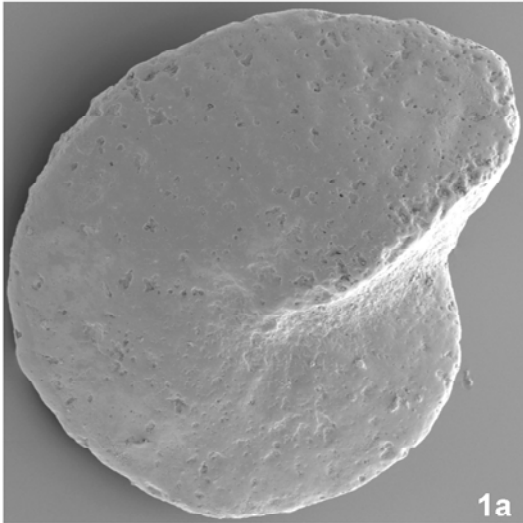


Tafel 5

Fig 1 ca. 60x, Fig. 2-16 ca. 100x, Nordsomalia.

- Fig. 1: *Choffatella* sp. – Profil Dhadhabo, Probe Dha26, unteres Oberapt.
O. Nr. TUB-SFU 47; a: Spiralansicht; b: Axialansicht.
- Fig. 2-4: *Heterantyx garurensis* n.sp. – Unterer Oberapt.
2, 3: Profil Xabaal Garure.
2: Probe XGa36. Holotyp. O. Nr. TUB-SFU 110 a: Lateralansicht; b: Distalansicht. 3: Probe XGa33. O. Nr. TUB-SFU 109, Lateralansicht.
4: Profil Dhadhabo, Probe Dha 26. O. Nr. TUB-SFU 79, Lateralansicht eines distal beschädigten Exemplars.
- Fig. 5, 10: *Quasispiroplectamina* cf. *nuda* (LALICKER, 1935) – Profil Xabaal Garure, Probe XGa37, unterer Oberapt.
5: O. Nr. TUB-SFU 123; a: Distalansicht; b: Lateralansicht auf biseriales Wachstumsstadium; c: Lateralansicht. 10: O. Nr. TUB-SFU 122, Lateralansicht auf biseriales Wachstumsstadium.
- Fig. 6, 7: *Textulariopsis?* sp. – Profil Xabaal Garure, Probe XGa37, unterer Oberapt.
6: O. Nr. TUB-SFU 120, Lateralansicht auf biseriales Wachstumsstadium. 7: O. Nr. TUB-SFU 121; a: Lateralansicht auf biseriales Wachstumsstadium; b: Lateralansicht.
- Fig. 8, 9: *Trochammina depressa* LOZO, 1944 – Profil Xabaal Garure, Probe XGa40, unterer Oberapt.
8: O. Nr. TUB-SFU 1; a: spiral; b: lateral. 9: O. Nr. TUB-SFU 2, umbilikal.
- Fig. 11: *Tritaxia* sp. – Profil Tisje, Probe Tis11, Maastricht.
O. Nr. TUB-SFO 104, Lateralansicht.
- Fig. 12: *Tritaxia?* sp. – Profil Tisje, Probe Tis37, unterer Paleozän.
O. Nr. TUB-SFO 50; Lateralansicht eines mäßig verdrückten Exemplars.
- Fig. 13: *Tritaxia tricarinata* (REUSS, 1845) – Profil Xabaal Garure, Probe XGa41, unterer Oberapt.
O. Nr. TUB-SFU 158; a: Lateralansicht; b: Distalansicht.
- Fig. 14: *Triplasia acuta* BARTENSTEIN und BRAND, 1951 – Profil Xabaal Garure, Probe XGa65, Alb.
O. Nr. TUB-SFU 161, a: Lateralansicht; b: Distalansicht.
- Fig. 15, 16: *Vercorsella* cf. *arenata* ARNAUD-VANNEAU, 1980 – Profil Manna'a, Apt.
15: Probe Man19. O. Nr. TUB-SFU Man19/1/1, unterer Oberapt. Axialschnitt einer megalosphä-rischen Form.
16: Probe Man7. O. Nr. TUB-SFU Man7/1/1, unterer Apt. Exzentrischer Axialschnitt.

Tafel 5



Tafel 6

Fig 1 - 19, 21 ca. 30x, Fig. 20 ca. 25x, Nordsomalia.

Fig. 1, 2, 5: *Cuneolina pavonia* D'ORBIGNY, 1846 – Oberes Alb.

- 1: Profil Manna'a, Probe Man59. O. Nr. TUB-SFU Man59/2/2. 2, 5: Profil Biyo Kulule.
2: Probe BKu9. O. Nr. TUB-SFU BKu11/2/1.
5: Probe BKu10. O. Nr. TUB-SFU BKu10/3/2.

Fig. 3, 4, 6: *Dictyoconus* sp.1 – Profil Tisje, Maastricht.

- 3, 4: Probe Tis11. Axialschnitte megalosphärischer Formen. 3: O. Nr. TUB-SFO Tis11/2/4. 4: O. Nr. TUB-SFO Tis11/3/2.
6: Probe Tis 15. Marginaler Axialschnitt. O. Nr. TUB-SFO Tis15/3/2.

Fig. 7, 8: *Dictyoconus?* sp. 2 – Maastricht.

- 7: Profil Galgalo, Probe Gal1. O. Nr. TUB-SFO Gal1/3/1, Axialschnitt einer megalosphärischen Form.
8: Profil Tisje, Probe Tis 14, O. Nr. TUB-SFO Tis14/2/3, marginaler Axialschnitt eines Juvenariums.

Fig. 9-18: *Heterocoskinolina saintmarci* n.sp.. – Profil Manna'a.

- 9, 10, 14: Probe Man59. Tiefes unteres Cenoman.
9: Holotyp. O. Nr. TUB-SFU Man59/3/1, Axialschnitt mit Embryonalapparat. 10: O. Nr. TUB-SFU Man59/3/2, Axialschnitt.
11, 12, 16: Probe Man55. Oberstes Alb
11: O. Nr. TUB-SFU Man55/3/9, Axialschnitt. 12: O. Nr. TUB-SFU Man55/2/1, marginaler, leicht schiefer Axialschnitt. 16: O. Nr. TUB-SFU Man55/1/3, marginaler, leicht schiefer Axialschnitt.
13-15, 17, 18: Probe Man57. Basales Cenoman.
13: O. Nr. TUB-SFU Man57/2/1, Axialschnitt. 14: O. Nr. TUB-SFU Man57/1/3 Äquatorial-schnitt. 15: O. Nr. TUB-SFU Man57/1/1, Axialschnitt eines prä-adulten Exemplars. 17: O. Nr. TUB-SFU Man57/2/2, schiefer Äquatorialschnitt. 18: O. Nr. TUB-SFU Man57/2/1, Axialschnitt.

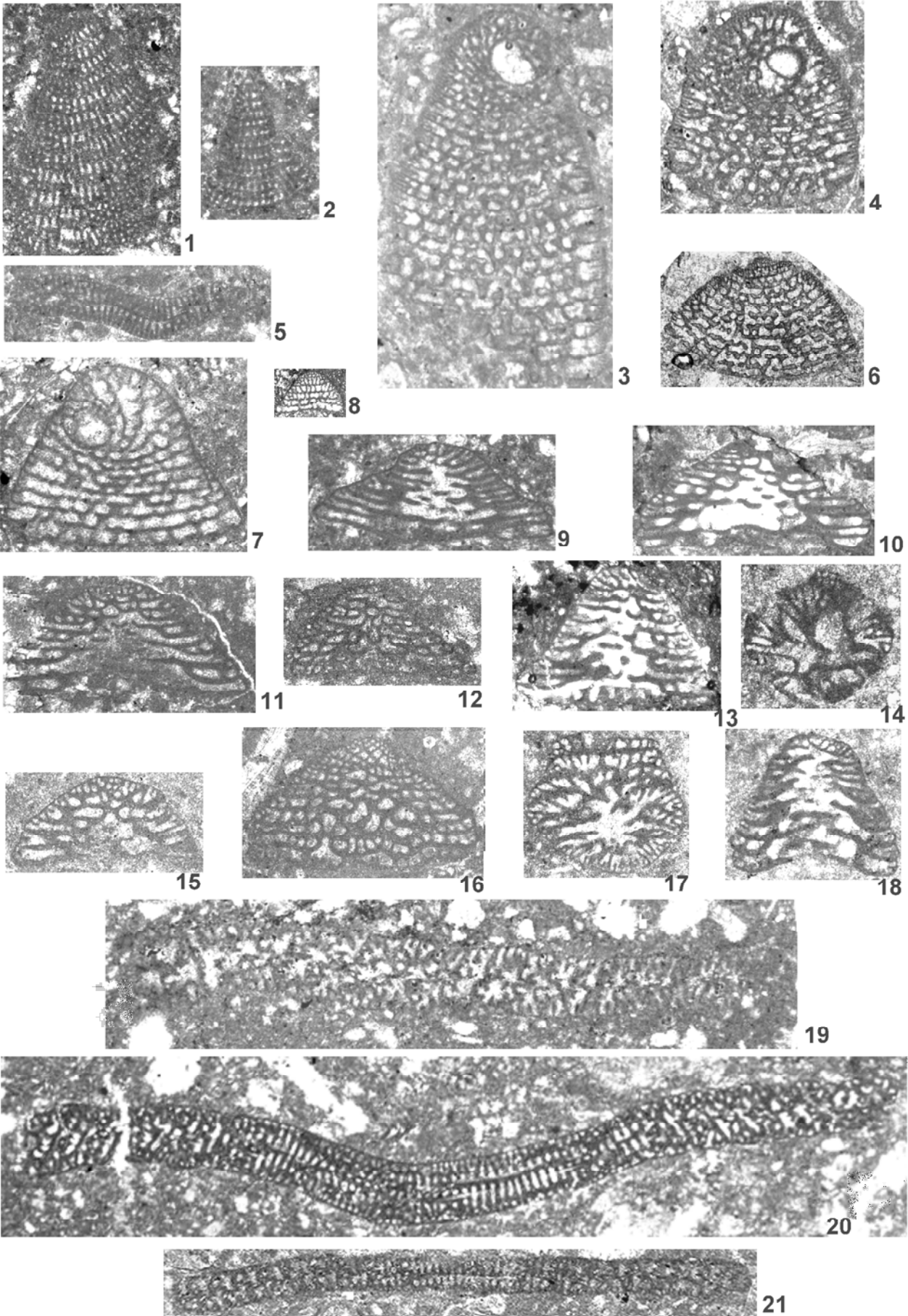
Fig. 19, 20: *Dicyclina* sp. – Profil Manna'a, oberstes Alb.

- 19: Probe Man55. O. Nr. TUB-SFU Man55/2/7.
20: Probe Man57. O. Nr. TUB-SFU Man57/4/3.

Fig. 21: „*Dicyclina*“? sp. – Profil Tisje, Probe Tis11, Maastricht.

- O.Nr. TUB-SFO Tis11/3/3.

Tafel 6

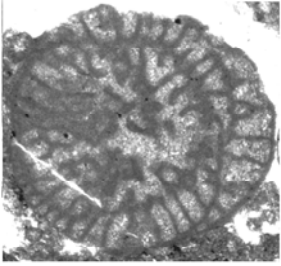


Tafel 7

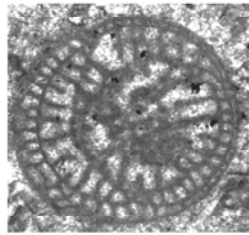
Alle Objekte ca. 30x, Nordsomalia.

- Fig. 1-3: *Gyroconulina columellifera* SCHROEDER und DARMORIAN, 1977 – Profil Tisje, Maastricht.
 1:-3: Leicht schiefe Äquatorialschnitte. 1: Probe Tis14. O.Nr. TUB-SFO Tis14/3/6.
 2, 3: Probe Tis15. 2: O.Nr. TUB-SFO Tis15/4/1. 3: O.Nr. TUB-SFO Tis15/5/2.
- Fig. 4, 5: *Orbiqia drasensis* MAMGAIN und RAO, 1962 – Profil Xabaal Garure, Probe XGa 29, oberstes unteres Apt.
 4, 5: Leicht schiefe Axialschnitte mit Proloculus. 4: O. Nr. TUB-SFU XGA29/4/1. 5: O. Nr. TUB-SFU XGa29/4/2.
- Fig. 6-9: *Pseudorbitolina schroederi* n.sp. – Maastricht.
 6-9: Axialschnitte.
 6: Profil Galgalo, Probe Gal8. O.Nr. TUB-SFO Gal8/4/1.
 7-9: Profil Tisje.
 7, 9: Probe Tis12. 7: Holotyp, O.Nr. TUB-SFO Tis12/1/2 (ca. 27x). 9: O.Nr. TUB-SFO Tis12/1/1.
 8: Probe Tis18. O.Nr. TUB-SFO Tis18/2/2.
- Fig. 10-14: *Orbitolina sefini* HENSON, 1948
 10, 11, 14: Profil Togga Mareer, oberes Alb. Probe TgM21. 10: O. Nr. TUB-SFU TgM21/2/1, Axialschnitt. 11: O. Nr. TUB-SFU TgM21/3/4, Axialschnitt. 14: O. Nr. TUB-SFU TgM21/4/4, schiefer sub-Äquatorialschnitt mit Embryonalapparat.
 12, 13: Profil Biyo Kulule, oberstes Alb.
 12: Probe Bku1. O. Nr. TUB-SFU BKu1/2/4, schiefer, etwas exzentrischer Axialschnitt.
 13: Probe BKu3. O. Nr. TUB-SFU BKu3/4/1, Axialschnitt.

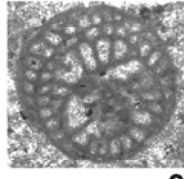
Tafel 7



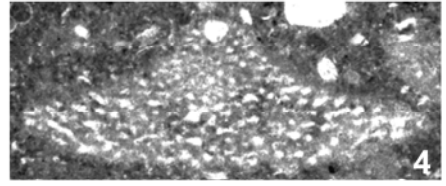
1



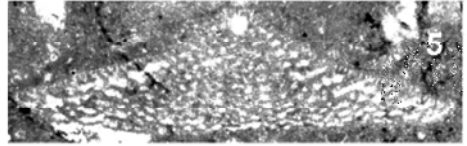
2



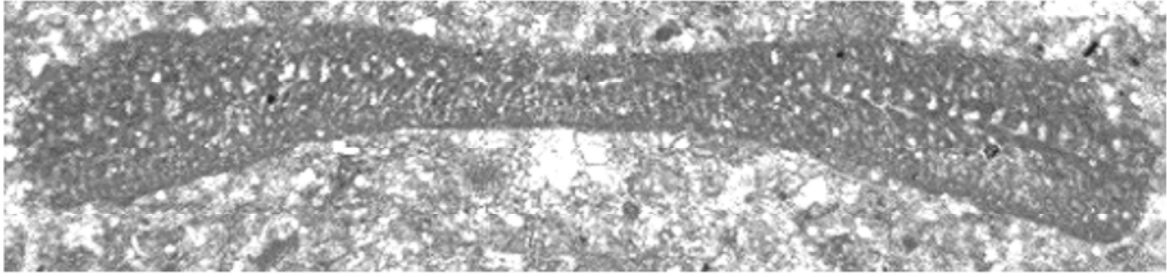
3



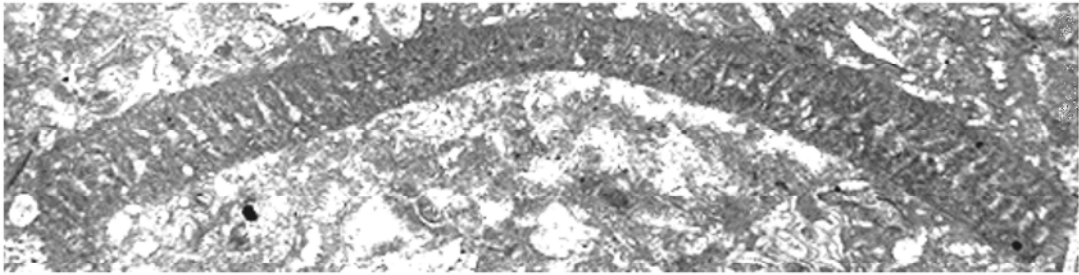
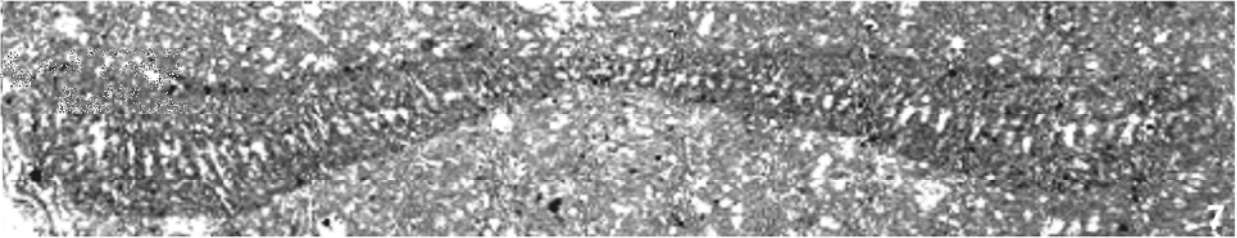
4



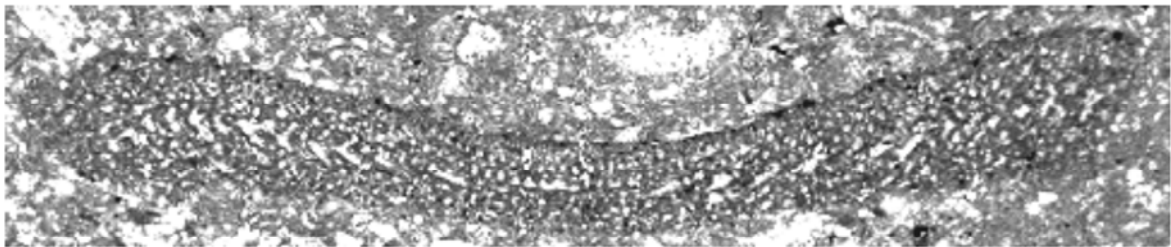
5



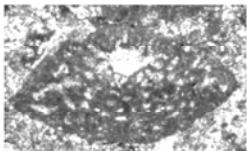
6



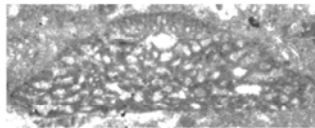
8



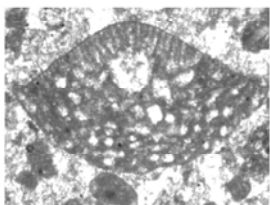
9



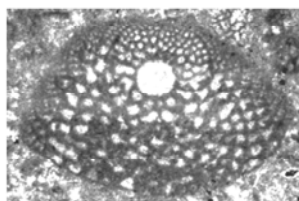
10



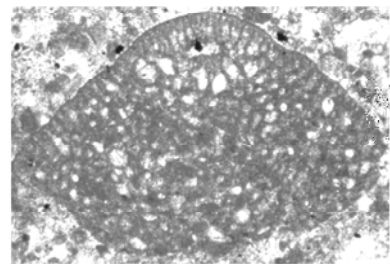
11



13



14



12

Tafel 8

Alle Objekte ca. 30x, Nordsomalia.

Fig. 1-3, 5: *Orbitolina sefini* HENSON, 1948 - Oberstes Alb.

1-3: Profil Xabaal Garure.

1: Probe XGa85, O. Nr. TUB-SFU XGa85/1/1, Axialschnitt.

2: Probe XGa77, O. Nr. TUB-SFU XGa77/3/1, Axialschnitt.

3: Probe XGa81, O. Nr. TUB-SFU XGa81/2/1, Axialschnitt.

5: Profil Biyo Kulule, Probe BKu5, O. Nr. TUB-SFU BKu5/3/2.

Fig. 4, 6-10: *Orbitolina ex interc. sefini/qatarica* - Oberstes Alb.

4, 9: Profil Biyo Kulule.

4: Probe BKu4, O. Nr. TUB-SFU BKu4/5/2, Axialschnitt durch isolierten Embryonalapparat.

9: Probe BKu3, O. Nr. TUB-SFU BKu3/3/1, Axialschnitt durch zwei umbilikal miteinander verwachsene Exemplare.

6: Profil Togga Mareer, Probe TgM25, O. Nr. TUB-SFU TgM25/3/1, angeschrägter Axialschnitt.

7, 8: Profil Xabaal Garure.

7: Probe XGa83, O. Nr. TUB-SFU XGa83/1/1, Axialschnitt durch isolierten, leicht nekrotischem Embryonalapparat.

8: Probe XGa81, O. Nr. TUB-SFU XGa81/1/2, Axialschnitt.

10: Profil Manna'a, Probe Man46, O. Nr. TUB-SFU Man46/3/1, Axialschnitt.

Fig. 11-14: *Orbitolina qatarica* HENSON, 1948 – Profil Xabaal Garure, unteres Cenoman.

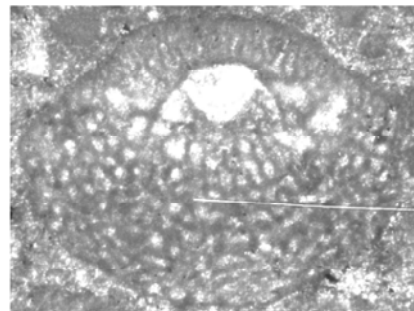
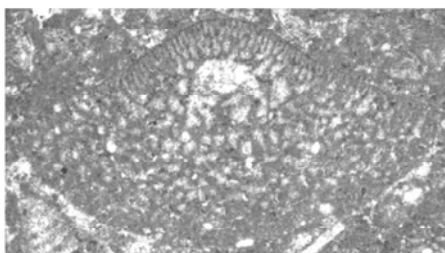
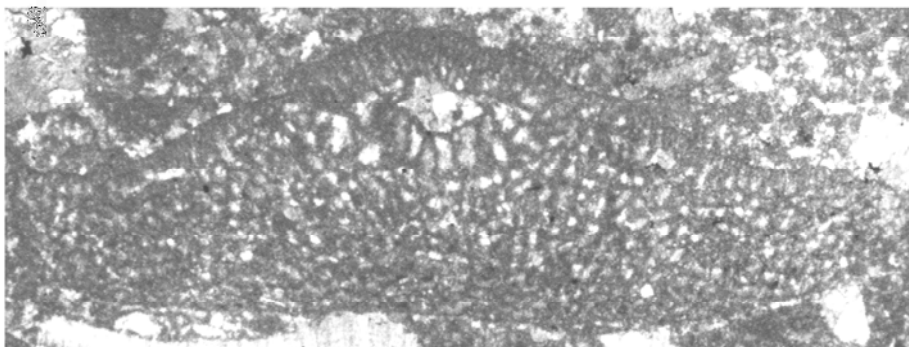
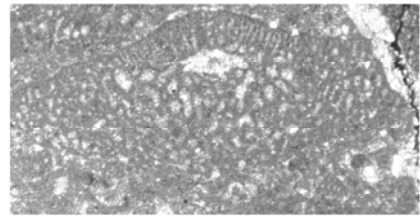
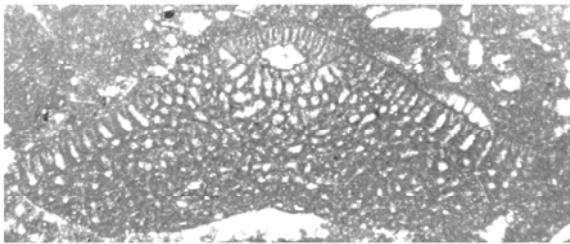
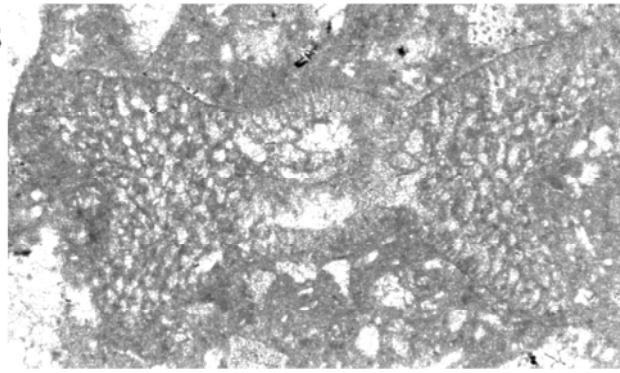
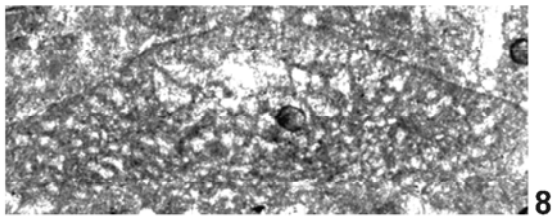
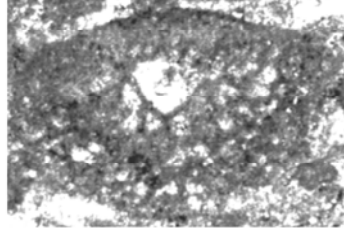
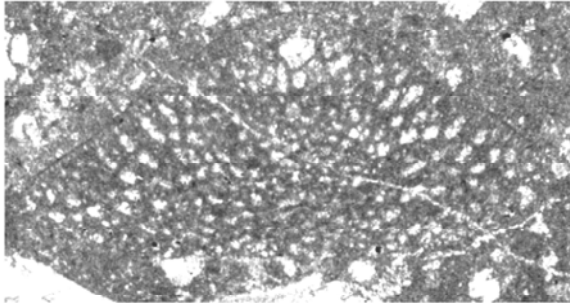
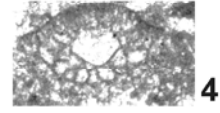
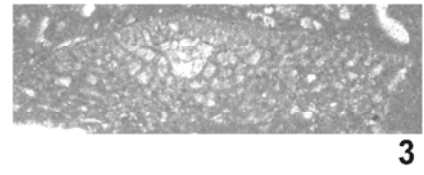
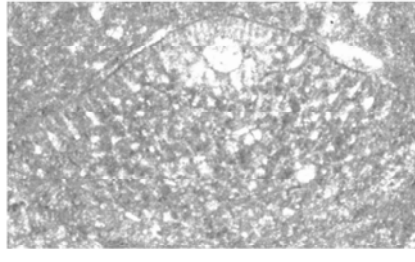
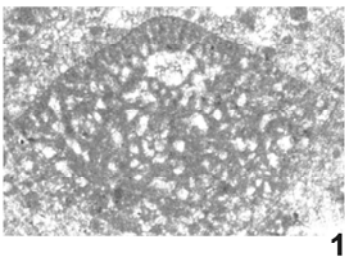
11, 13: Probe XGa86. 11: O. Nr. TUB-SFU XGa86/2/1, angeschrägter Axialschnitt.

13: O. Nr. TUB-SFU XGa86/3/1, Axialschnitt.

12: Probe XGa87, Lectotyp, O. Nr. TUB-SFU XGa87/1/1, Axialschnitt.

14: Probe XGa89, O. Nr. TUB-SFU XGa89/1/2, angeschrägter Axialschnitt.

Tafel 8



Tafel 9

Alle Objekte ca. 30x, Nordsomalia.

Fig. 1-5: *Orbitolina qatarica* HENSON, 1948 – Unteres Cenoman.

1-4: Profil Xabaal Garure.

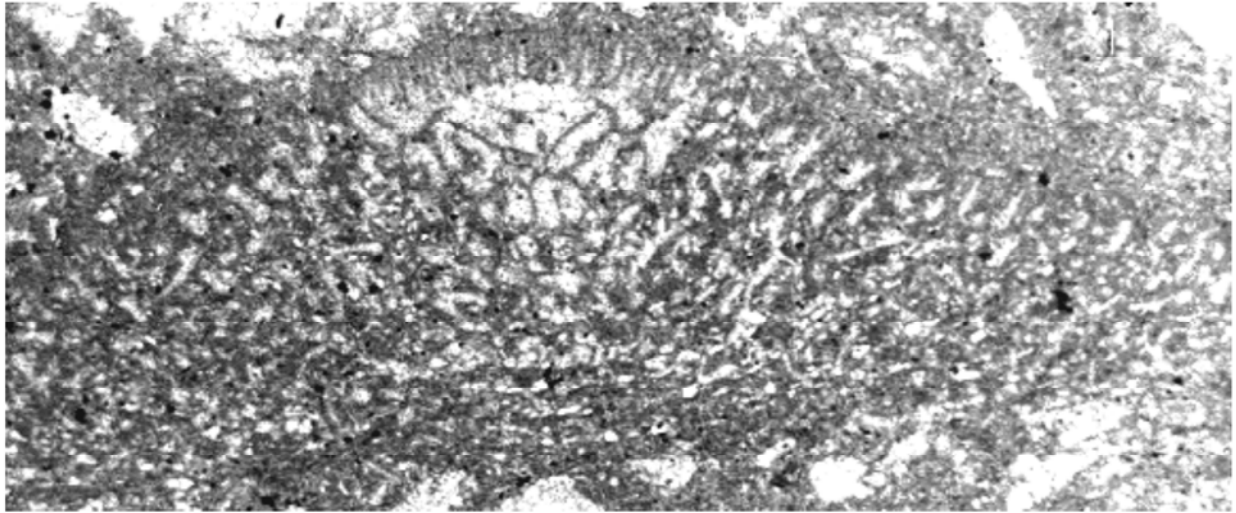
1: Probe XGa90. O. Nr. TUB-SFU XGa90/1/1, Axialschnitt.

2, 3: Probe XGa86. 2: O. Nr. TUB-SFU XGa86/2/1, schiefer Äquatorialschnitt mit Embryonalapparat. 3: O. Nr. TUB-SFU XGa86/1/2, Axialschnitt.

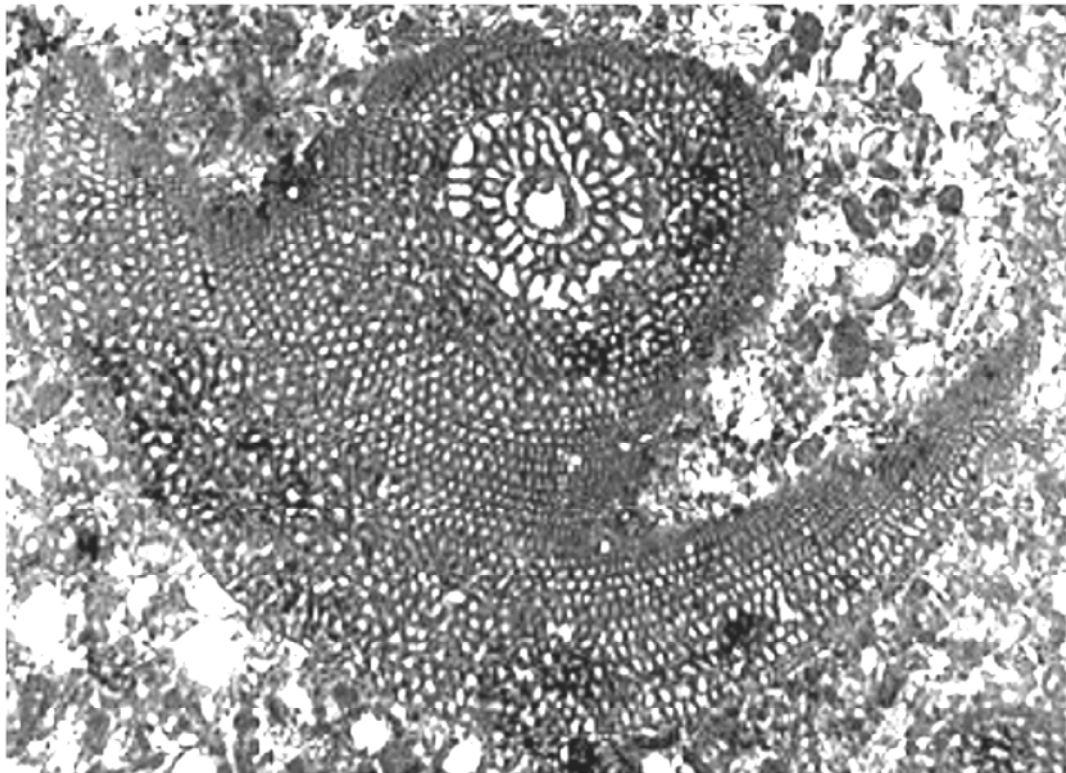
4: Probe XGa89. O. Nr. TUB-SFU XGa89/1/1, Axialschnitt.

5: Profil Manna'a, Probe Man61. O. Nr. TUB-SFU Man61/1/3, Axialschnitt.

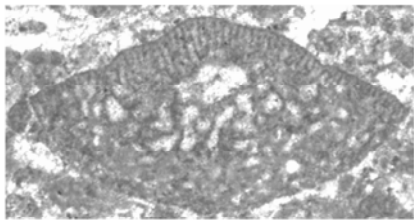
Tafel 9



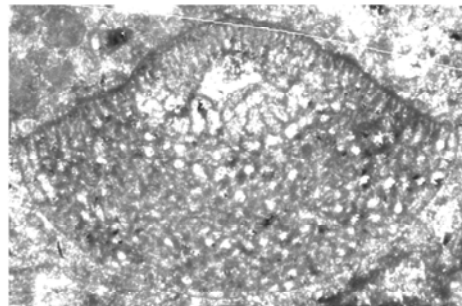
1



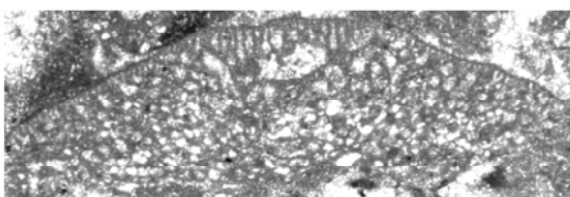
2



3



4



5

Tafel 10

Fig. 1 ca. 20x, Fig. 2-10 ca. 30x, Nordsomalia.

Fig. 1-6: *Conicorbitolina corbarica* SCHROEDER, 1985

1, 2, 5: Profil Togga Mareer.

1, 2: Probe TgM21, oberes Alb.

1: O. Nr. TUB-SFU TgM21/4/1, Axialschnitt. 2: O. Nr. TUB-SFU TgM21/4/3, Axialschnitt.

5: Probe TgM25, oberstes Alb.. 5: O. Nr. TUB-SFU TgM25/1/1, leicht exzentrischer Axialschnitt.

3, 4: Profil Dhadhabo.

3: Probe Dha48, oberes Alb. O. Nr. TUB-SFU Dha48/2/2, Axialschnitt.

4: Probe Dha56, oberstes Alb. O. Nr. TUB-SFU Dha56/1/1, Axialschnitt.

6: Profil Biyo Kulule, Probe BKu3, oberstes Alb. O. Nr. TUB-SFU BKu3/1/1, Axialschnitt.

Fig. 7, 8: *Orbitolina ex interc. corbarica/conica* – Oberstes Alb.

7: Profil Dhadhabo, Probe Dha57O. Nr. TUB-SFU Dha57/2/2, angeschrägter Axialschnitt.

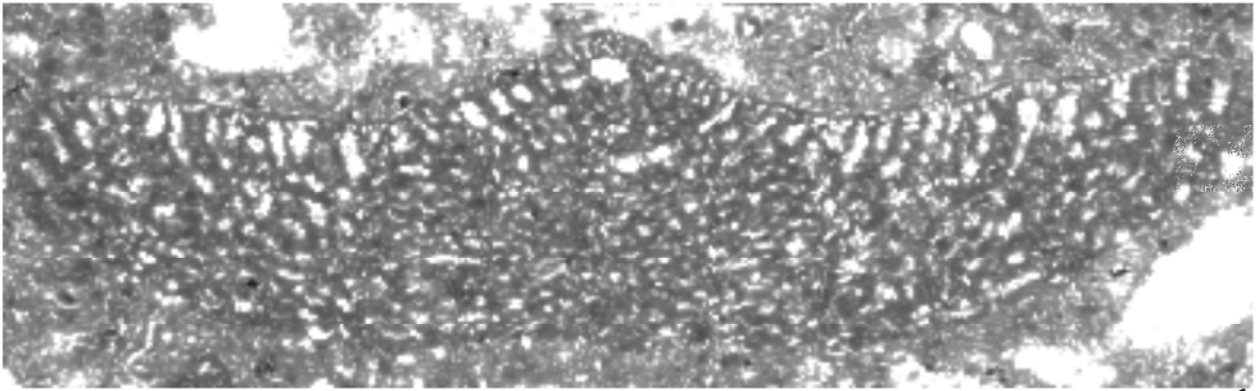
8: Profil Manna'a, Probe Man 47. O. Nr. TUB-SFU Man47/4/2, Axialschnitt.

Fig. 9: *Conicorbitolina conica* (D'ARCHIAC, 1837) - Unteres Cenoman.

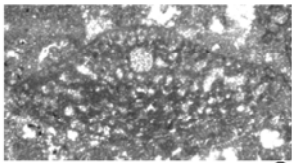
9: Profil Manna'a, Probe Man62. O. Nr. TUB-SFU Man62/2/1, angeschrägter Axialschnitt.

Fig 10: *Conicorbitolina cf. conica* (D'ARCHIAC, 1837) Profil Xabaal Garure, Probe XGa85.
– oberstes Alb. O. Nr. TUB-SFU XGa85/2/2, angeschrägter Axialschnitt.

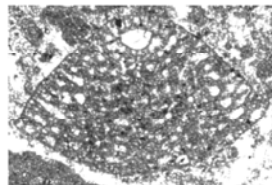
Tafel 10



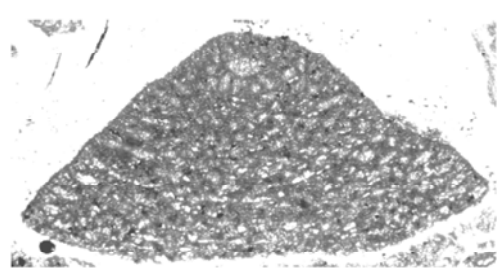
1



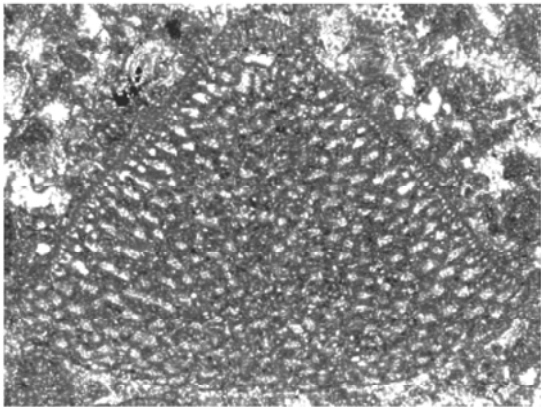
2



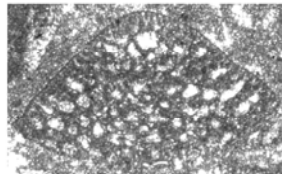
3



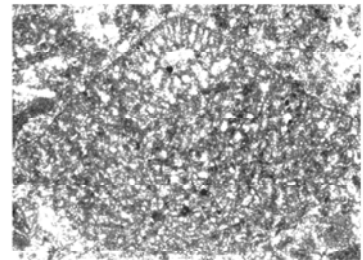
4



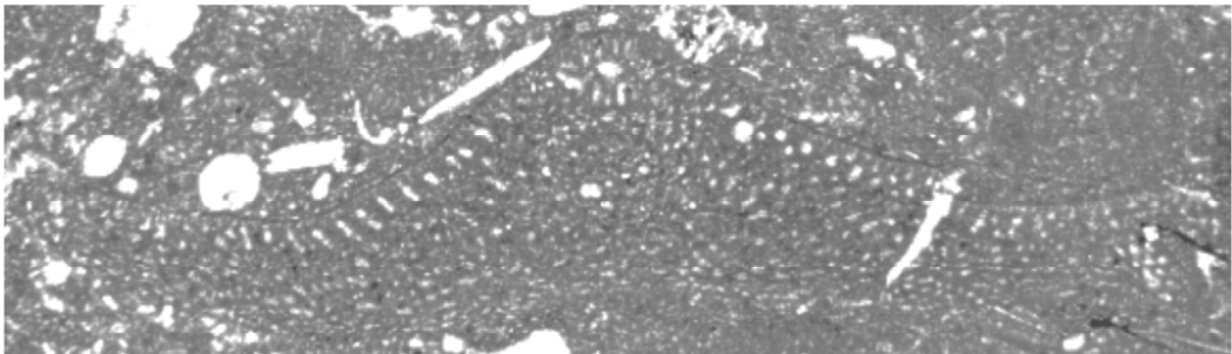
5



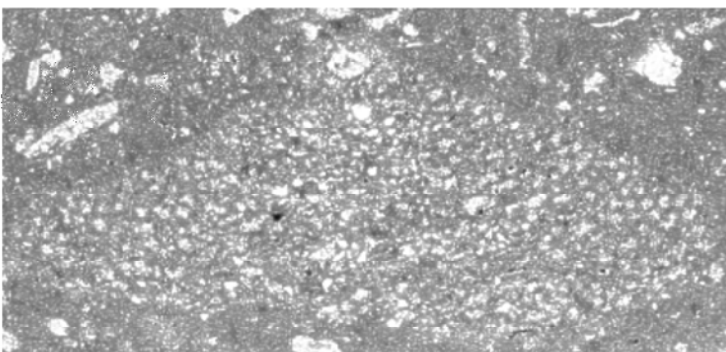
6



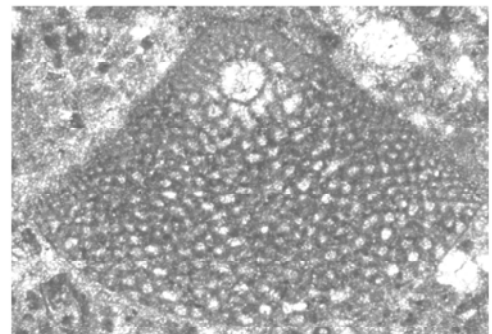
7



8



9



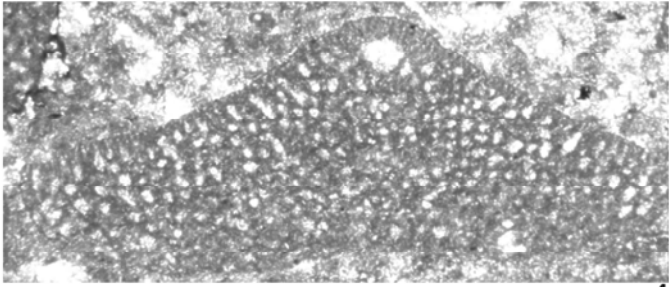
10

Tafel 11

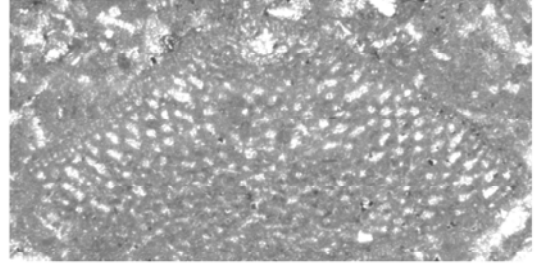
Alle Objekte ca. 30x, Nordsomalia.

- Fig. 1: *Conicorbitolina cf. conica* (D'ARCHIAC, 1837) – Profil Xabaal Garure, oberstes Alb. O. Nr. TUB-SFU XGa85/4/1, Axialschnitt.
- Fig. 2-6: *Mesorbitolina texana* (ROEMER, 1849) – Alb.
 2, 5: Profil Xabaal Garure, Probe XGa62, unteres Alb. O. Nr. TUB-SFU XGa62/3/1. 5: O. Nr. TUB-SFU XGa62/1/2.
 3, 4: Profil Manna'a, Probe Man24, unteres Alb. 3: O. Nr. TUB-SFU Man24/1/1, Axialschnitt. 4: O. Nr. TUB-SFU Man24/3/1, Axialschnitt.
 6: Profil Dhadhabo, Probe Dha37, mittleres Alb. O. Nr. TUB-SFU Dha37/2/1, Axialschnitt.
- Fig. 7, 8: *Mesorbitolina ex interc. texana/subconcava* – Alb.
 7: Profil Manna'a, Probe Man40, mittleres Alb. O. Nr. TUB-SFU Man40/1/1, Axialschnitt. 8: Profil Togga Mareer, Probe TgM4, unteres Alb. O. Nr. TUB-SFU TgM4/2/1.
- Fig. 9-11: *Mesorbitolina subconcava* (LEYMERIE, 1878) – Alb.
 9, 11: Profil Togga Mareer.
 9: Probe TgM5, unteres Alb. O. Nr. TUB-SFU TgM5/3/2, Axialschnitt.
 11: Probe TgM14, mittleres Alb, Axialschnitt.
 10: Profil Xabaal Garure, Probe XGa67a, unteres Alb. O. Nr. TUB-SFU XGa67a/1/1, Axialschnitt.
- Fig. 12: *Mesorbitolina ex interc. subconcava/aperta* – Profil Xabaal Garure, Probe XGa85, oberstes Alb. O. Nr. TUB-SFU XGa85/1/1, Axialschnitt.
- Fig. 13 *Mesorbitolina aperta* (ERMAN, 1954) - Profil Xabaal Garure, Probe Xga72a, oberes Alb.
 O. Nr. TUB-SFU XGa72a, Axialschnitt.
- 14: *Mesorbitolina aperta?* (ERMAN, 1954) 14: Profil Togga Mareer, Probe TgM16, mittleres Alb..
 O. Nr. TUB-SFU TgM16/3/2, Axialschnitt.

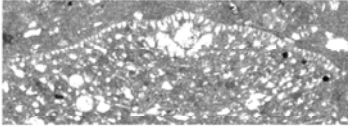
Tafel 11



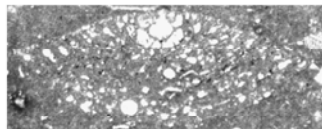
1



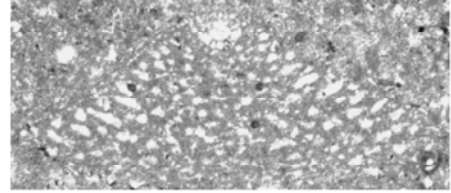
2



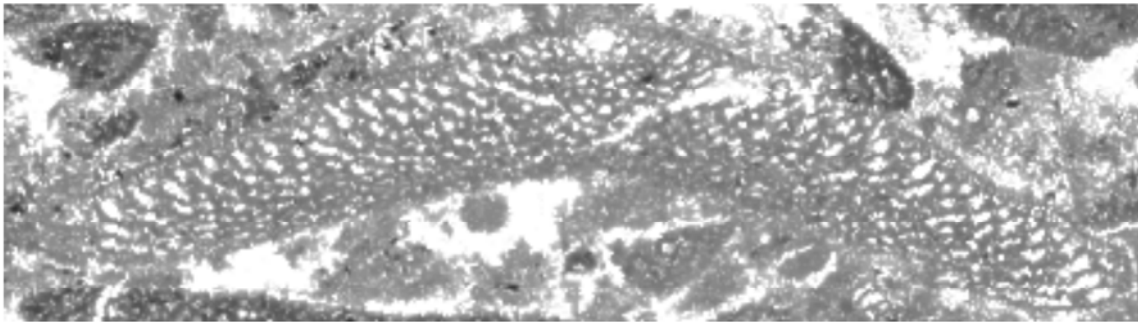
3



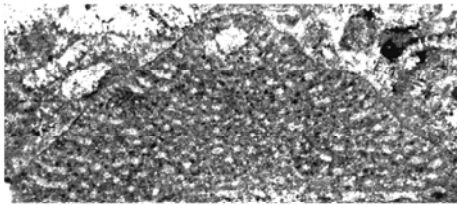
4



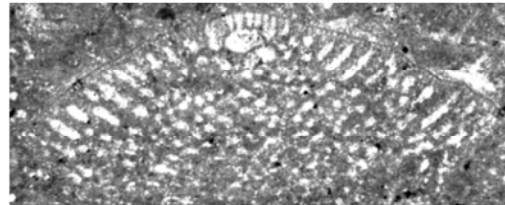
5



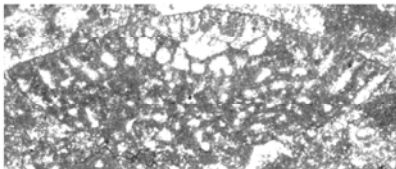
6



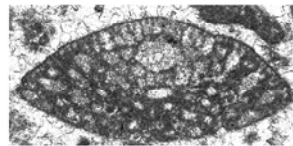
7



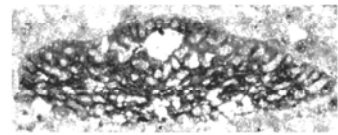
8



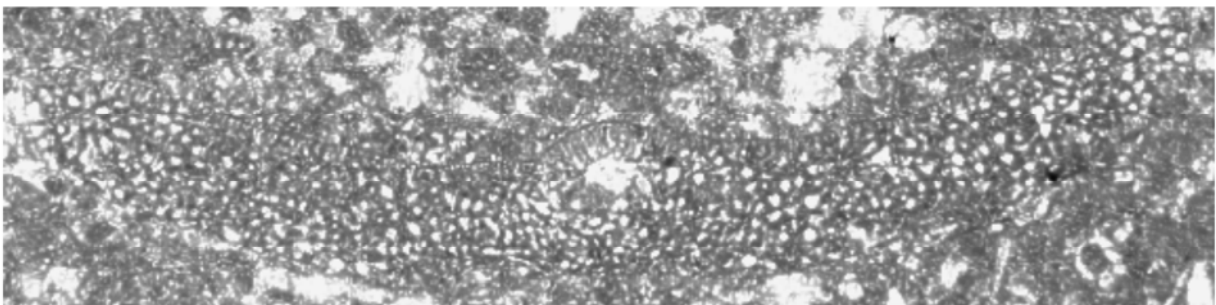
9



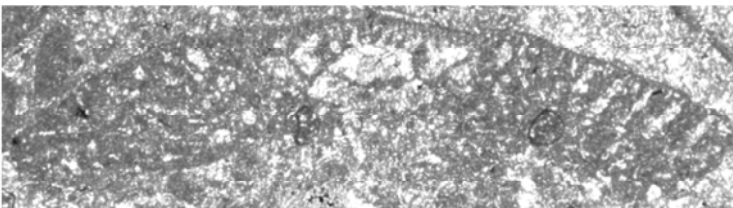
10



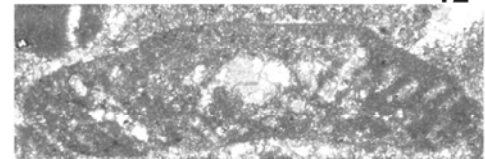
11



12



13



14

Tafel 12

Fig. 1-10 ca. 30x, Fig. 11-14 ca. 100x, Nordsomalia.

Fig. 1, 3: *Mesorbitolina aperta* (ERMAN, 1954) – oberes Alb.

- 1: Profil Xabaal Garure, Probe XGa72a. O. Nr. TUB-SFU XGa72a/1/1, Axialschnitt.
- 3: Profil Dhadhabo, Probe Dha47. O. Nr. TUB-SFU Dha47/1/1, Axialschnitt.

Fig. 2, 4, 7: *Palorbitolina lenticularis* (BLUMENBACH, 1805) – unteres Apt.

- 2, 4: Profil Xabaal Garure.
- 2: Probe XGa 22. O. Nr. TUB-SFU XGa22/1/2, Axialschnitt.
- 4: Probe XGa20. O. Nr. TUB-SFU XGa20/1/1, Axialschnitt.
- 7: Profil Dhadhabo, Probe Dha20. O. Nr. TUB-SFU Dha20/1/1, Axialschnitt.

Fig. 5: *Neorbitolinopsis conulus* (DOUVILLE, 1912) – Profil Xabaal Garure, Probe XGa62, unteres Alb.

- O. Nr. TUB-SFU XGa62/1/1, Axialschnitt.

Fig. 6, 8-10: *Valserina transiens* CHERCHI und SCHROEDER, 1999 – Tiefes unteres Apt.

- 6: Profil Xabaal Garure, Probe XGa18. O. Nr. TUB-SFU XGa18/1/1, Schnittlage eines den „frühen“ Formen von *Palorbitolina lenticularis* ähnlichen Exemplars.
- 8, 10: Profil Dhadhabo, Probe Dha18. 8: O. Nr. TUB-SFU Dha18/2/2, Axialschnitt.
- 10: O. Nr. TUB-SFU Dha18/2/3, Axialschnitt.
- 9: Probe Dha19. O. Nr. TUB-SFU Dha19/1/1, Axialschnitt.

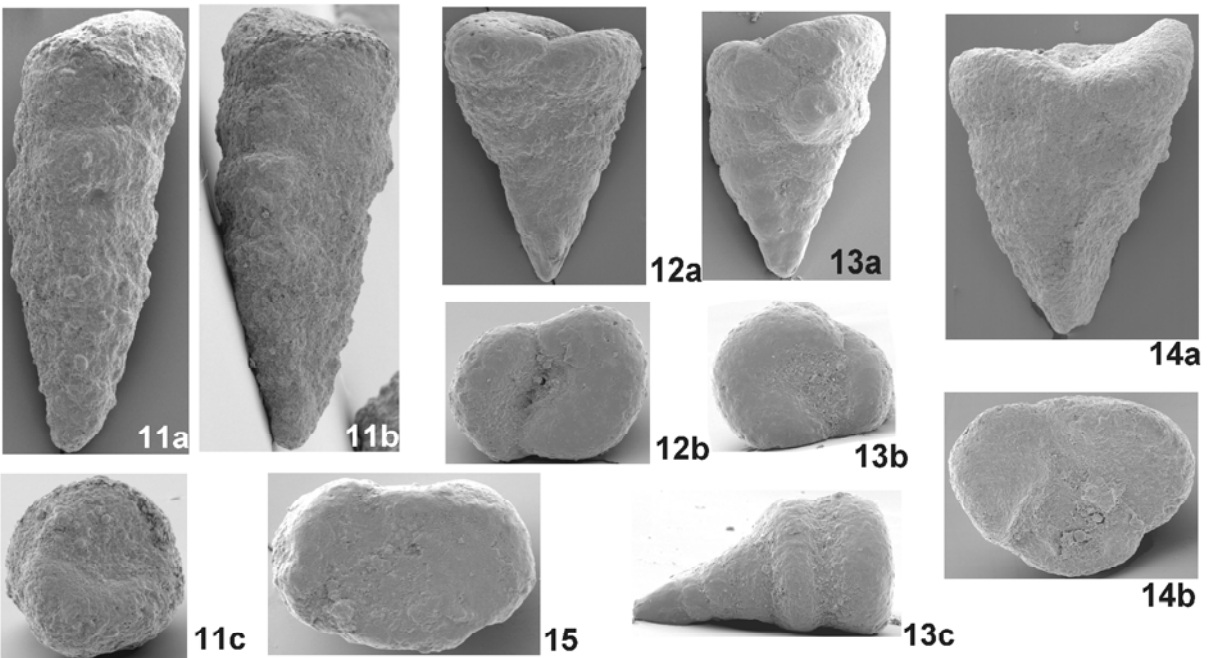
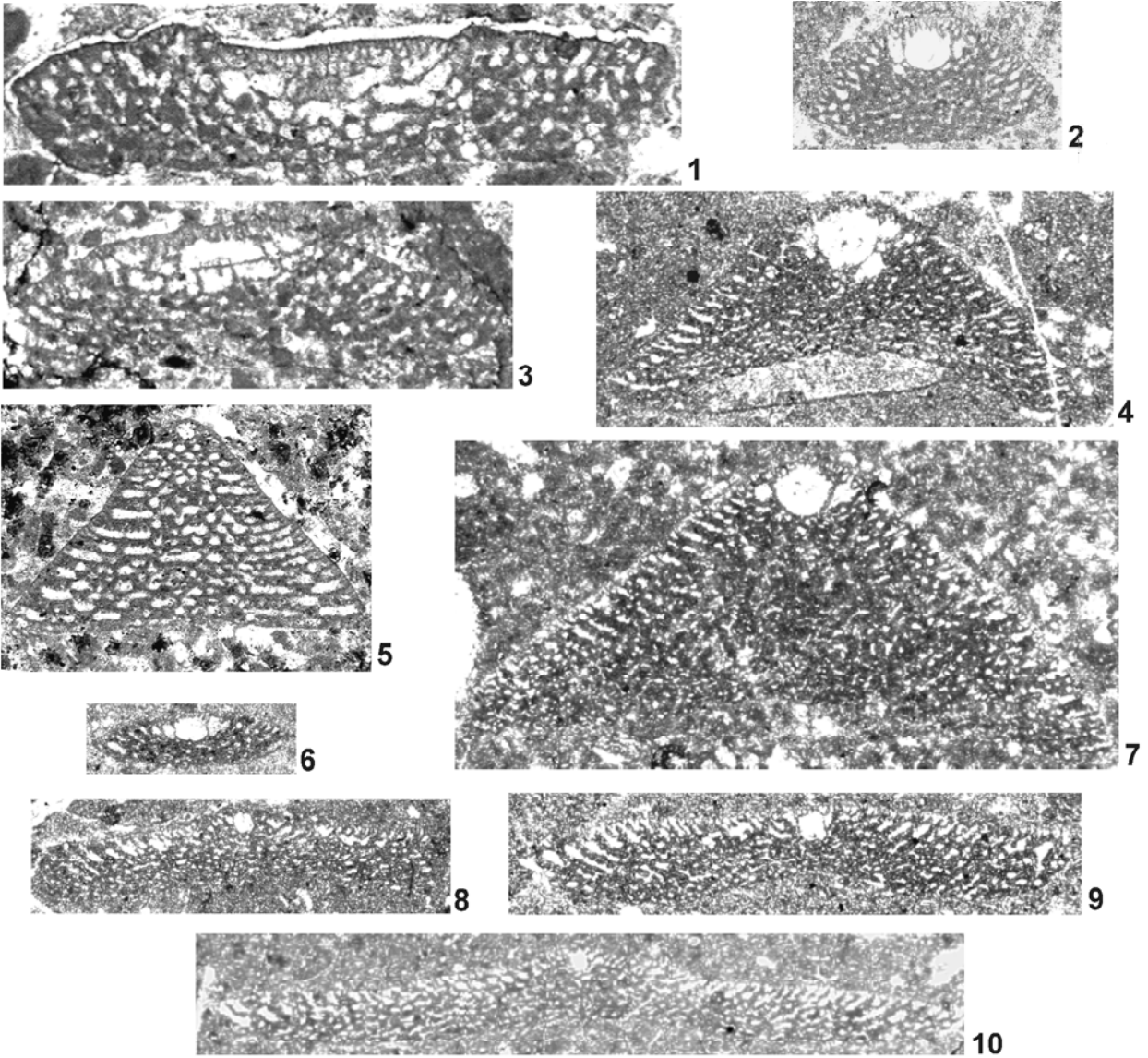
Fig. 11: *Dorothia* sp. – Profil Xabaal Garure, Probe XGa 34, unteres Oberapt.

- O. Nr. TUB-SFU 102a, b: Lateralansichten, c: Distalansicht.

Fig. 12-15: *Marsonella* gr. *oxycona* (REUSS, 1860) – unteres Oberapt.

- 12, 13, 15: Profil Dhadhabo, Probe Dha 26..
- 12: O. Nr. TUB-SFU61, a: Lateralansicht; b: Distalansicht. 13: O. Nr. TUB-SFU63, a, c: Lateralansichten; b: Distalansicht. 15: O. Nr. TUB-SFU62, Distalansicht.
- 14: Profil Xabaal Garure, Probe XGa 37. O. Nr. TUB-SFU135, a: Lateralansicht, b: Distalansicht.

Tafel 12



Tafel 13

Fig. 1, 2, 4 ca. 100x, Fig. 3, 5-11- ca. 40x, Nordsomalia.

Fig. 1: *Marsonella* gr. *oxycona* (REUSS, 1860) – Profil Xabaal Garure, Probe XGa 37, unteres Oberapt. O.Nr. TUB-SFU136.

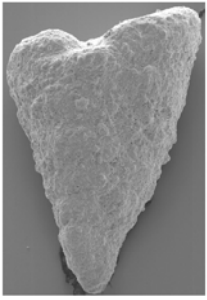
Fig. 2, 4: *Marsonella subtrochus* BARTENSTEIN, 1962, Profil Xabaal Garure, Probe XGa37, unteres Oberapt.
2: O.Nr. TUB-SFU139, a: lateral, b: distal. 4: O.Nr. TUB-SFU 138, a: lateral, b: distal.

Fig. 3: *Chrysalidina* cf. *gradata* D'ORBIGNY, 1839 - Profil Biyo Kulule, Probe Nr. BKu 10, u. Cenoman. O.Nr. TUB-SFU BKu10/2/1, Lateralschnitt.

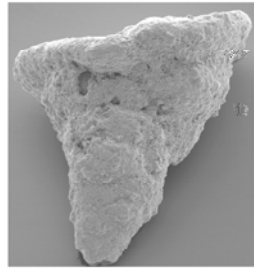
Fig. 5, 8: *Clavulina?* sp. – Profil Tisje, Probe Tis 26, u. Paleozän.
5: O.Nr. TUB-SFO Tis26/2/1, Lateralschnitt. 8: O.Nr. TUB-SFO Tis26/2/2, Schnitt senkrecht zur Wachstumsebene.

Fig. 6, 7, 9-11: *Dukhania? cherchii* n. sp. – Profil Tisje, Maastricht.
6: Probe Tis19. Holotyp. O.Nr. TUB-SFO Tis19/3/1, Axialschnitt einer megalosphärischen Form.
7, 9: Probe Tis14. 7: O.Nr. TUB-SFO Tis14/4/1, sub-Axialschnitt einer megalosphärischen Form. 9: O.Nr. TUB-SFO Tis14/3/5, sub-Äquatorialschnitt.
10: Probe Tis15. O.Nr. TUB-SFO Tis15/3/1, Axialschnitt einer mikrosphärischen Form.
11: Probe Tis 11. O.Nr. TUB-SFO Tis11/2/2, Axialschnitt einer (?)mikrosphärischen Form.

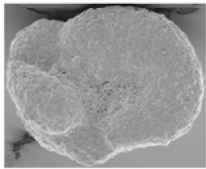
Tafel 13



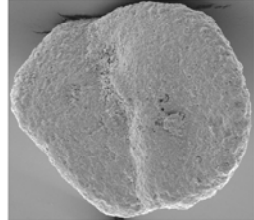
1a



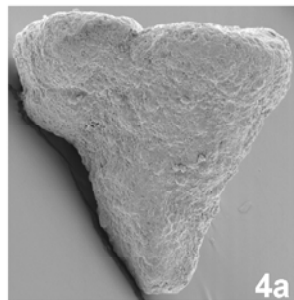
2a



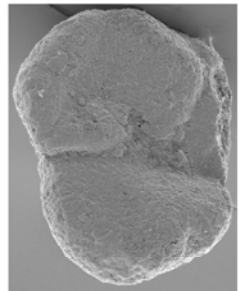
1b



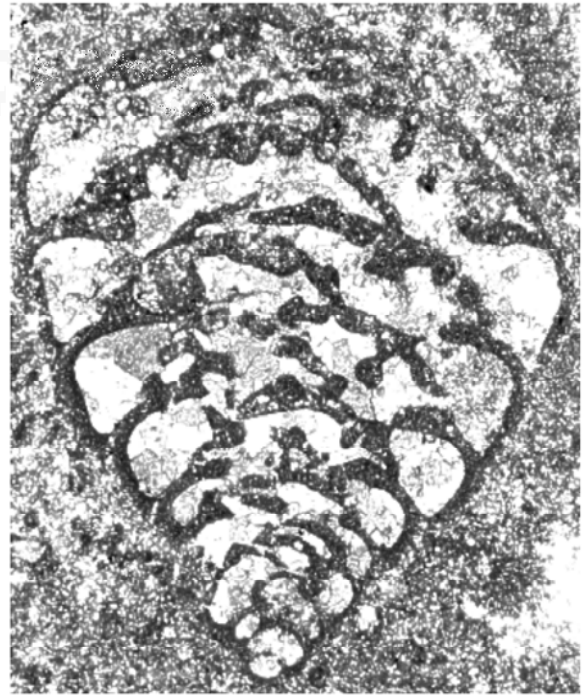
2b



4a



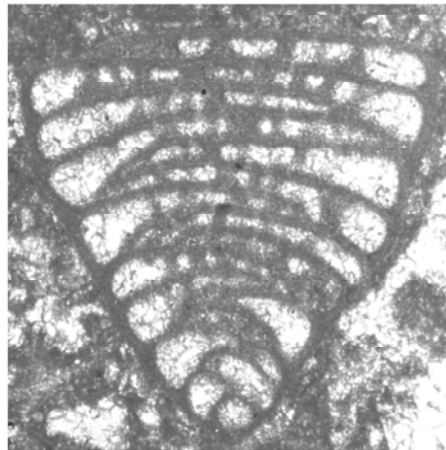
4b



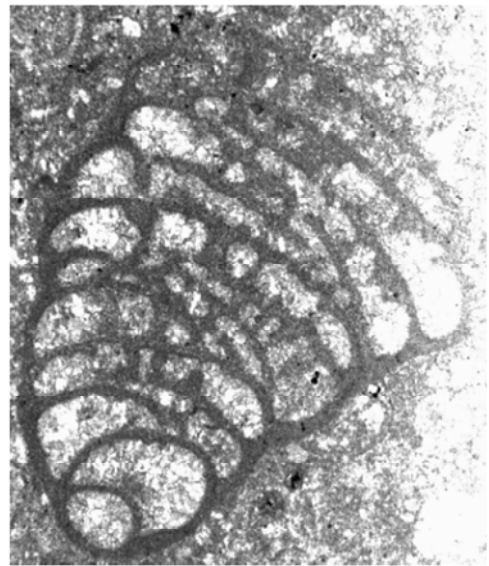
3



5



6



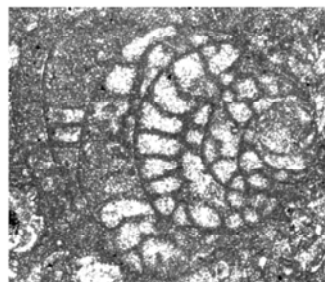
7



8



10



9



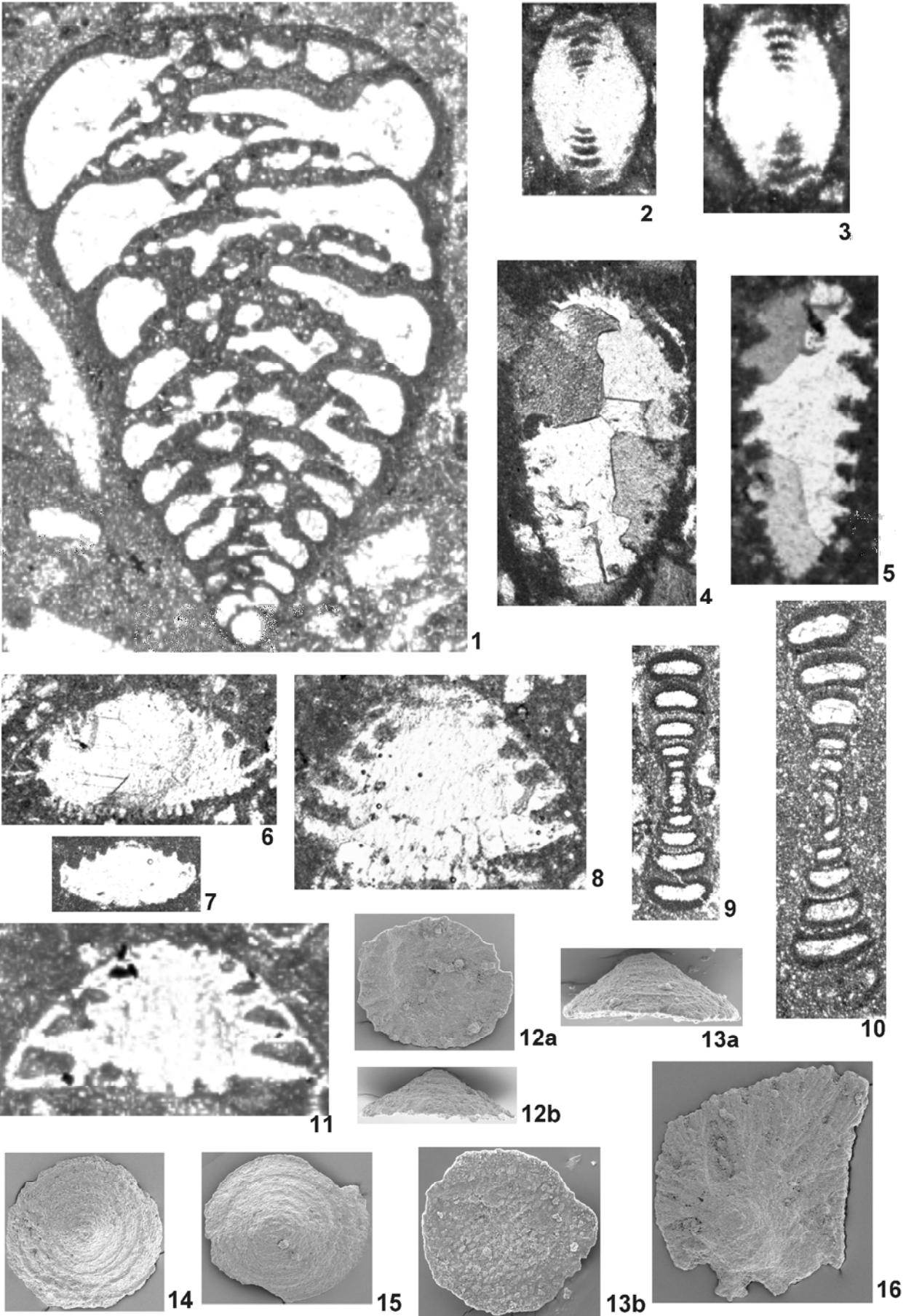
11

Tafel 14

Fig. 1-11 ca. 50x, Fig. 12-16- ca. 100x, Nordsomalia.

- Fig. 1 *Chrysalidina* cf. *gradata* D'ORBIGNY, 1839 - Profil Biyo Kulule, Probe Nr. BKu 10, u. Cenoman.
O.Nr. TUB-SFU BKu10/7/1, Axialschnitt.
- Fig. 2, 3: *Globospirillina* sp. - Profil Xabaal Garure, Probe XGa29, unteres Oberapt.
2: O.Nr. TUB-SFU XGa29/3/1, Axialschnitt. 3: O.Nr. TUB-SFU XGa29/3/2, Axialschnitt.
- Fig. 4, 5: *Hensonina altispira* (HENSON, 1947) – Profil Manna'a, Alb.
4: Probe Man 46, O.Nr. TUB-SFU Man46/2/1, Axialschnitt eines gut erhaltenen Exemplars.
5: Probe Man 47, O.Nr. TUB-SFU Man47/1/2, Axialschnitt eines abgerollten Exemplars.
- Fig. 6, 7: *Hensonina lenticularis* (HENSON, 1947) – Profil Mann'a, Alb.
6: Probe Man53, O.Nr. TUB-SFU Man53/2/1, gut erhaltener Axialschnitt.
7: Probe Man 47, O.Nr. TUB-SFU Man47/1/1, Axialschnitt eines abgerollten Exemplars.
- Fig. 8: *Hensonina?* *arabica* (HENSON, 1949) – Profil Manna'a, Probe Man46, Alb.
O.Nr. TUB-SFU Man46/3/2, Axialschnitt.
- Fig. 9, 10: *Spirillina* sp. – Oberes Alb.
9: Profil Manna'a, Probe Man 53. O.Nr. TUB-SFU Man53/3/2, Axialschnitt.
10: Profil Biyo Kulule, Probe BKu 1. O.Nr. TUB-SFU BKu1/3/2, Axialschnitt.
- Fig. 11: *Trocholina aptiensis* IOCHEVA, 1962 – Profil Dhadhabo, Probe Dha20, unteres Apt.
O.Nr. TUB-SFU Dha20/1/2, Axialschnitt.
- Fig. 12-15: *Patellina subcretacea* CUSHMAN & ALEXANDER, 1930 – Profil Xabaal Garure, Probe XGa37, unteres Oberapt.
12: O.Nr. TUB-SFU 114, a: umbilikal; b: lateral. 13: O.Nr. TUB-SFU 116, a: lateral; b: umbilikal. 14: O.Nr. TUB-SFU 112, spiral. 15: O.Nr. TUB-SFU 113, spiral.
- Fig. 16: "*Carterina*"? sp. - Profil Xabaal Garure, Probe XGa37, unteres Oberapt.
O.Nr. TUB-SFU 111, "spiral".

Tafel 14



Tafel 15

Alle Objekte ca. 50x, Nordsomalia.

Fig. 1-4: *Dictyoconus arabicus* HENSON, 1948 – unteres Unterapt.

1, 2: Profil Xabaal Garure.

1: Probe XGa20, O.Nr. TUB-SFU XGa20/1/2, Axialschnitt einer mikropärischen Form.

2: Probe XGa18. O.Nr. TUB-SFU XGa18/1/2, subzentraler Axialschnitt.

3, 4: Profil Dhadhabo, Probe Dha19.

3: O.Nr. TUB-SFU Dha19/3/1, subzentraler Axialschnitt.

4: O.Nr. TUB-SFU Dha19/2/2, Äquatorialschnitt.

Fig. 5-10: *Ovalveolina crassa* DE CASTRO, 1966.

5-7: Profil Biyo Kulule, oberes Oberalb.

5: Probe BKu5. O.Nr. TUB-SFU BKu5/3/1, marginale Schnittlage.

6: Probe BKu4. O.Nr. TUB-SFU BKu4/2/1 Äquatorialschnitt.

7: Probe BKu1. O.Nr. TUB-SFU BKu1/2/1, schiefer Axialschnitt.

8-10: Profil Xabaal Garure, Probe XGa85. Grenzbereich Alb/Cenoman. Alle Exemplare mehr oder weniger stark rekristallisiert/angelöst.

8: O.Nr. TUB-SFU XGa85/2/1, Äquatorialschnitt mit extern dunkel rekristallisiertem Material.

9: O.Nr. TUB-SFU XGa85/2/2, Axialschnitt. 10: O.Nr. TUB-SFU XGa85/2/3, schiefer Axialschnitt.

Fig. 11-15: *Ovalveolina maccognoae* DE CASTRO, 1966. Profil Xabaal Garure, Probe XGa84, oberes Oberalb.

11; 13-15: Probe Nr. XGa84.

11: O.Nr. TUB-SFU XGa84/1/1, Äquatorialschnitt. 13: O.Nr. TUB-SFU XGa84/1/3,

Axialschnitt. 14: O.Nr. TUB-SFU XGa84/2/1, Äquatorialschnitt. 15: O.Nr. TUB-SFU XGa84/2/2, Axialschnitt.

12: Probe Nr. XGa85. O.Nr. TUB-SFU XGa85/1/2, schiefer Axialschnitt.

Fig. 16, 20: *Praealveolina osimoi* (ZUFFARDI-COMERCI, 1930) – Profil Xabaal Garure, Probe XGa99, mittleres Cenoman.

16, 20: Äquatorialschnitte. 16: O.Nr. TUB-SFU XGa99/3/1. 20: O.Nr. TUB-SFU XGa99/3/2.

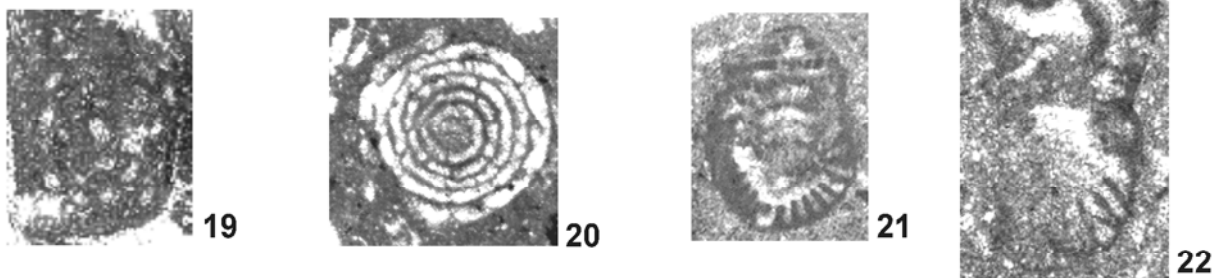
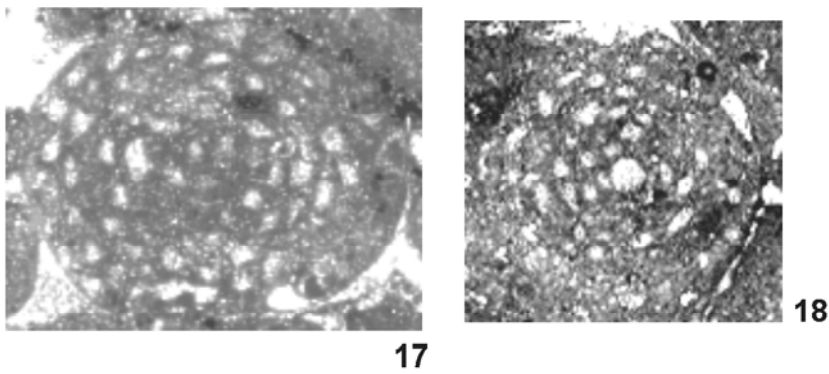
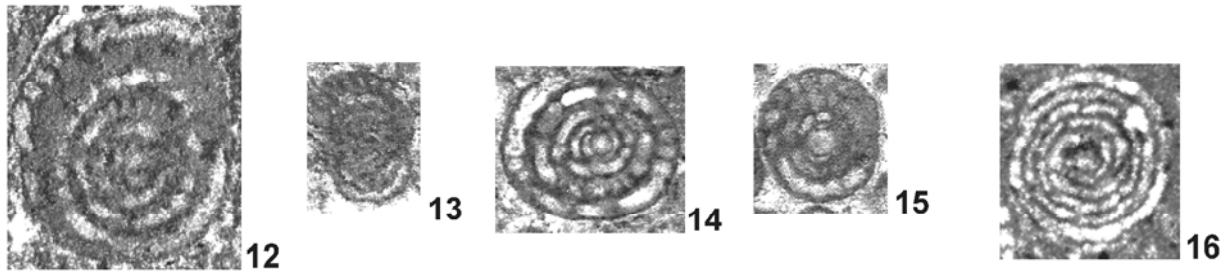
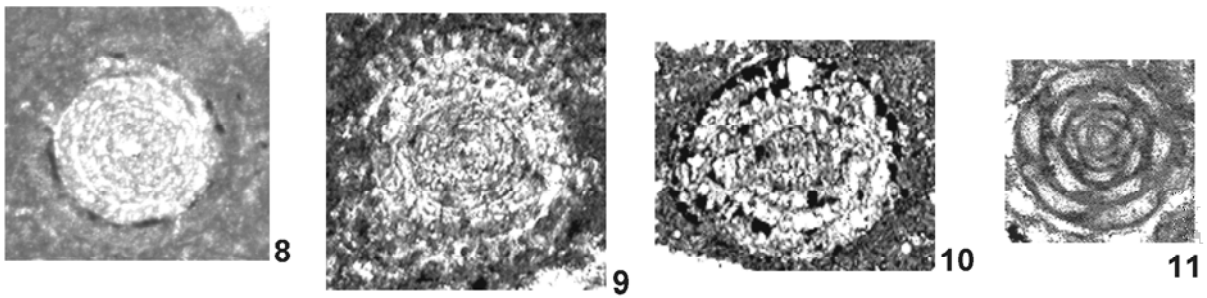
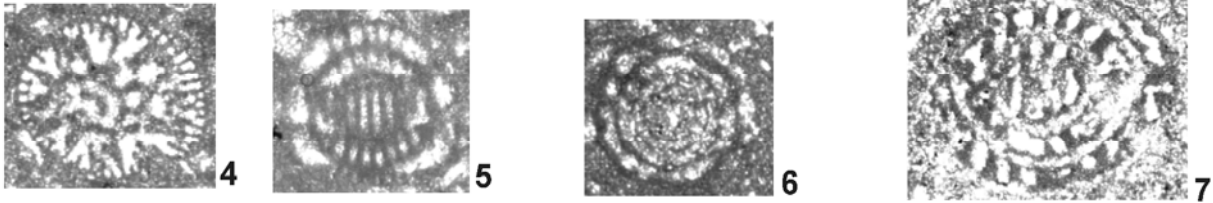
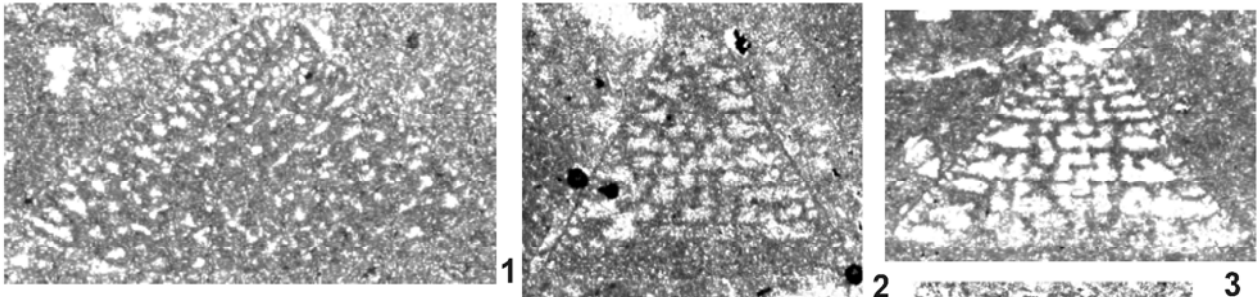
Fig. 17-19: *Sellialveolina viallii* COLALONGO, 1963 – Profil Xabaal Garure, Probe GXa102c, oberes mittleres Cenoman.

17: O.Nr. TUB-SFU XGa102c/3/2, schiefer Axialschnitt. 18: O.Nr. TUB-SFU XGa102c/3/1, Äquatorialschnitt. 19: O.Nr. TUB-SFU XGa102c/2/1.

Fig. 21, 22: *Pseudorhapydionina* cf. *laurinensis* (DE CASTRO), 1965 – Profil Manna'a, Probe Man57, unteres Cenoman.

21: O.Nr. TUB-SFU Man57/2/4. 22: O.Nr. TUB-SFU Man57/3/2.

Tafel 15



Tafel 16

Alle Objekte ca. 30x, Nordsomalia.

Fig. 1: „*Idalina*“ sp. – Profil Tisje, Probe Tis14, Maastricht.

O.Nr. TUB-SFO Tis14/4/1.

Fig. 2, 3: *Pseudedomia drorimensis* REISS, HAMAOUÏ und ECKER, 1964 – Profil Xabaal Garure, Probe XGa98, mittleres Cenoman (beide Exemplare stark rekristallisiert).

2: O.Nr. TUB-SFU XGa98/2/1, Axialschnitt.

3: O.Nr. TUB-SFU XGa98/2/4, schiefer Äquatorialschnitt.

Fig. 4, 5: *Pseudedomia complanata* EAMES und SMOUT, 1955 – Profil Xabaal Garure, Probe XGa105, Campan.

4, 5: Axialschnitte. 4: O.Nr. TUB-SFO XGa105/2/1. 5: O.Nr. TUB-SFO XGa105/2/3.

Fig. 6-9: *Pseudedomia* sp. aff. *complanata* EAMES und SMOUT – Profil Tisje, Probe Tis1, Campan.

6, 7, 9: Axialschnitte. 6: O.Nr. TUB-SFO Tis1/8/2. 7: O.Nr. TUB-SFO Tis1/5/1. 9:

O.Nr. TUB-SFO Tis1/8/3. Fig. 8: O.Nr. TUB-SFO Tis1/11/1, Äquatorialschnitt.

Fig. 10: *Pseudedomia* sp. – Profil Tisje, Probe Tis10, Maastricht.

O.Nr. TUB-SFO Tis10/2/2, Axialschnitt.

Fig. 11, 12: *Pseudochubbina?* sp. – Profil Tisje, Probe Tis14, Maastricht.

11: O.Nr. TUB-SFO Tis14/3/1, Äquatorialschnitt. 12: O.Nr. TUB-SFO Tis14/3/2, tangentialer Axialschnitt.

Fig. 13: *Ovalveolina crassa* DE CASTRO, 1966 – Profil Biyo Kulule, Prober BKu1, oberes Alb.

O.Nr. TUB-SFU BKu1/3/4, Äquatorialschnitt.

Fig. 14-17: *Praealveolina iberica* REICHEL, 1936 – Profil Manna'a.

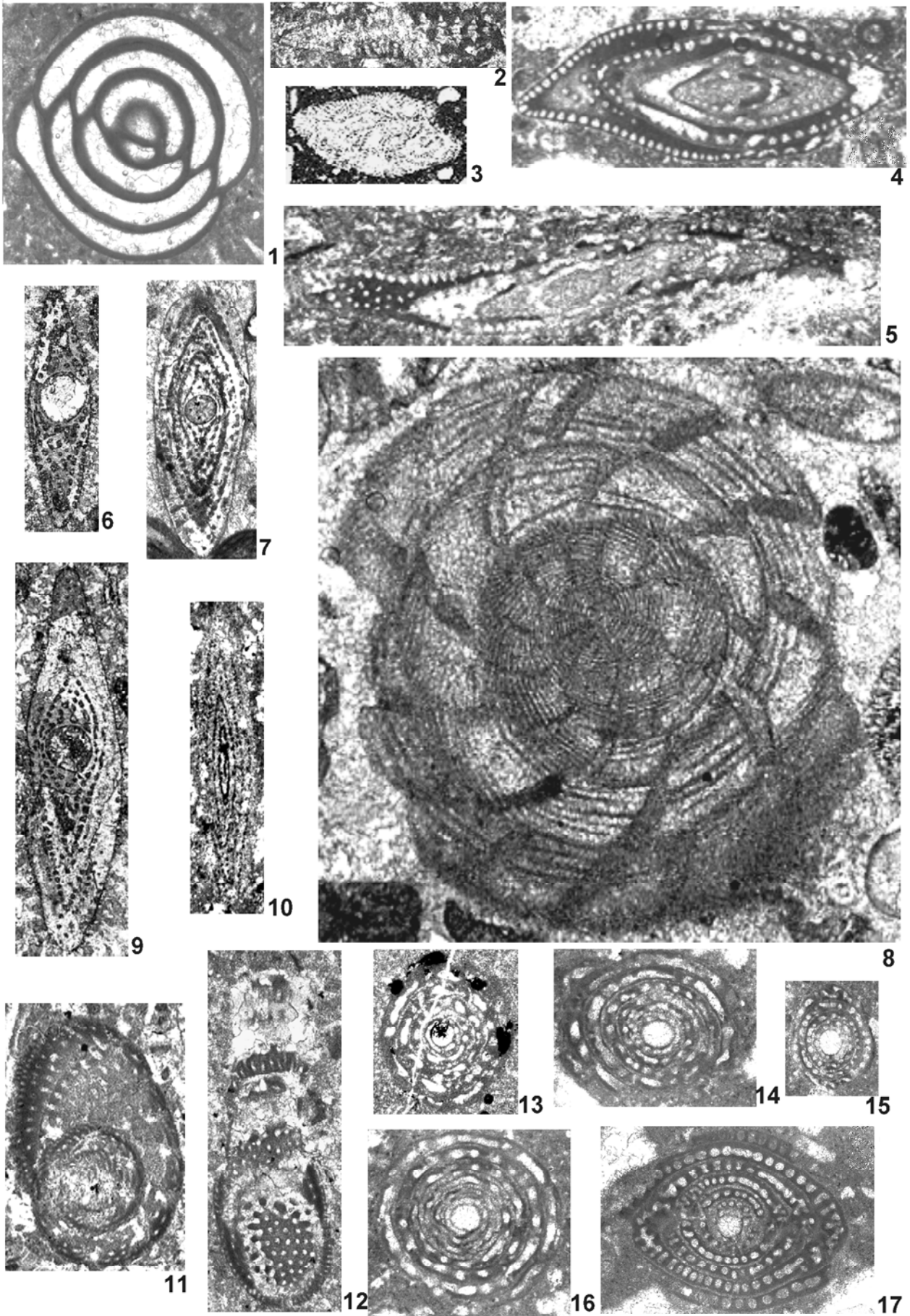
14, 16, 17: Probe Man55, oberstes Alb.

14: O.Nr. TUB-SFU Man55/3/3, angeschrägter Äquatorialschnitt. 16: O.Nr. TUB-SFU Man55/3/2, Äquatorialschnitt. 17: O.Nr. TUB-SFU Man55/3/4: Axialschnitt.

15: Probe Man57. basales Cenoman.

O.Nr. TUB-SFU Man57/2/5, angeschrägter Axialschnitt.

Tafel 16



Tafel 17

Alle Objekte ca. 25x, Nordsomalia.

Fig. 1-5: *Praealveolina iberica* REICHEL, 1936 – Profil Manna'a:

1, 2: Probe Man57; basales Cenoman.

1: O.Nr. TUB-SFU Man57/1/2, schiefer Axialschnitt. 2: O.Nr. TUB-SFU Man57/2/3, schiefer Axialschnitt eines deformierten Exemplars.

3-5: Probe Man55; Oberstes Alb.

3: O.Nr. TUB-SFU Man55/3/1, tangentialer Axialschnitt. 4: O.Nr. TUB-SFU

Man55/3/5, Äquatorialschnitt. 5: O.Nr. TUB-SFU Man55/3/8, Äquatorialschnitt.

Fig. 6, 7: *Praealveolina cf. tenuis* REICHEL, 1933 – Profil Xabaal Garure, Probe XGa101, mittleres Cenoman.

6: O.Nr. TUB-SFU XGa101/1/1, marginaler tangentialer Axialschnitt. 7: O.Nr. TUB-SFU XGa101/1/2, proximaler tangentialer Axialschnitt.

Fig. 8, 9, 11: *Praealveolina cretacea* (D'ARCHIAC, 1837) - Profil Xabaal Garure, Probe XGa99, mittleres Cenoman.

8: O.Nr. TUB-SFU XGa99/1/2; Äquatorialschnitt. 9: O.Nr. TUB-SFU XGa99/2/1, schiefer Axialschnitt. 11: O.Nr. TUB-SFU XGa99/1/1, schiefer Äquatorialschnitt.

Fig. 10, 12, 13: *Praealveolina osimoi* (ZUFFARDI-COMERCI, 1930) – Profil Xabaal Garure, mittleres Cenoman.

10, 13: Probe XGa94. 10: O.Nr. TUB-SFU XGa94/2/2, Axialschnitt. 13: O.Nr. TUB-SFU XGa94/3/1, schiefer Äquatorialschnitt.

12: Probe XGa100. O.Nr. TUB-SFU XGa100/4/1, Axialschnitt.

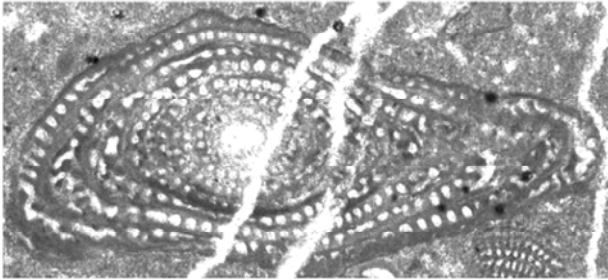
Fig. 14, 15: *Edomia reicheli* HENSON, 1948 – Profil Xabaal Garure, Probe XGa101a, mittleres Cenoman.

14: O.Nr. TUB-SFU XGa101a/1/1, Äquatorialschnitt. 15: O.Nr. TUB-SFU XGa101a/2/2, Axialschnitt.

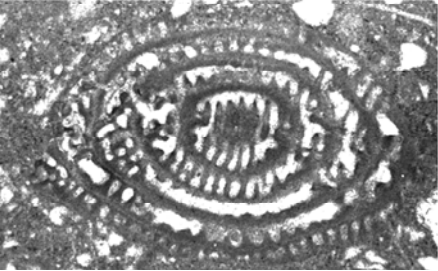
Tafel 17



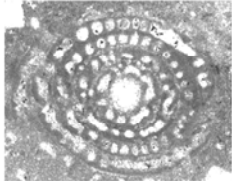
1



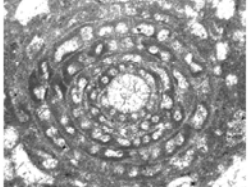
2



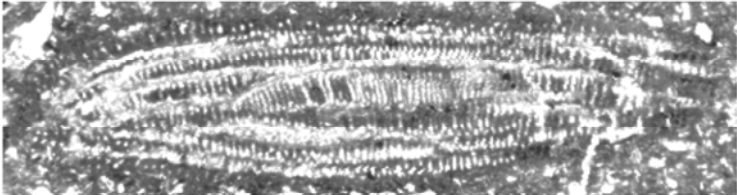
3



4



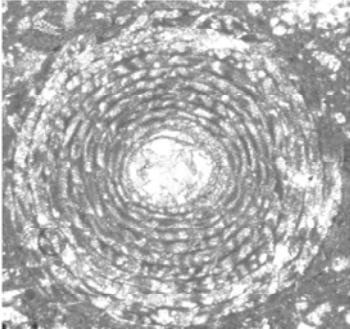
5



6



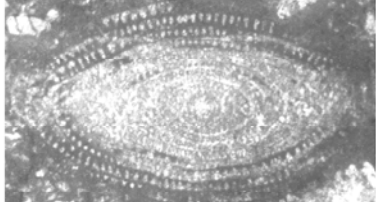
7



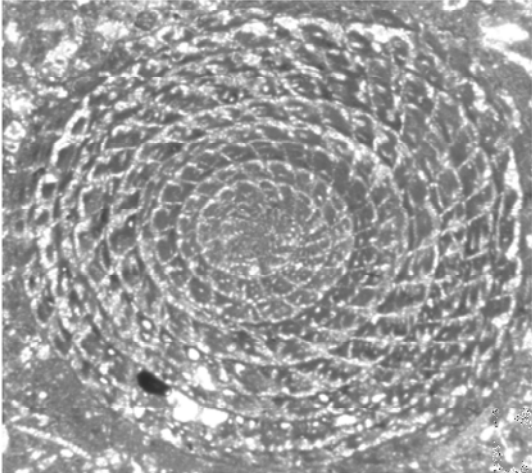
8



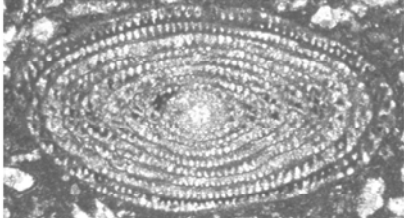
9



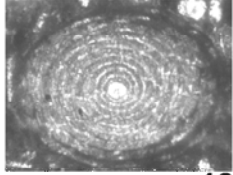
10



11



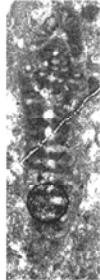
12



13



14

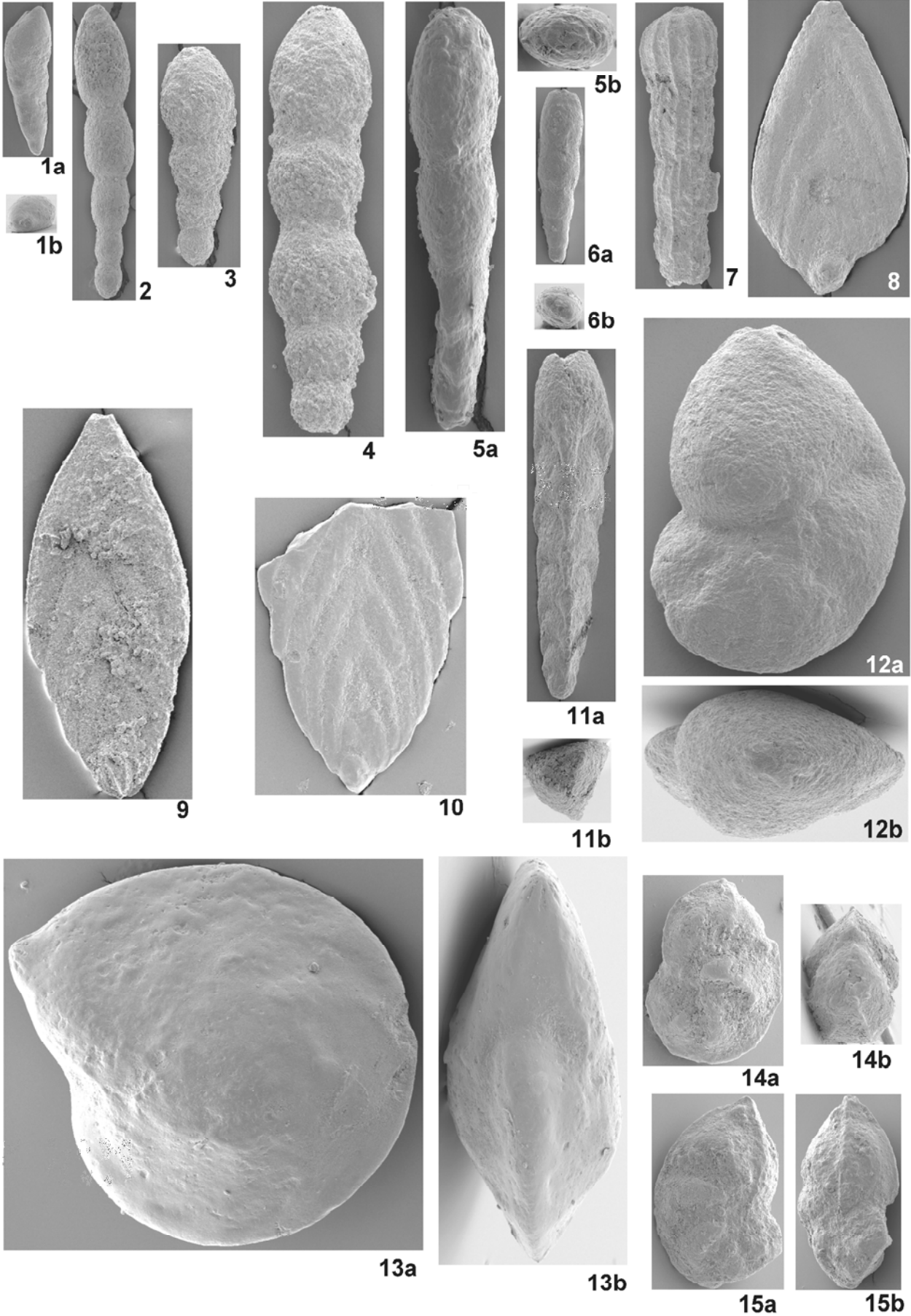


15

Tafel 18**Alle Objekte ca. 100x, Nordsomalia.**

- Fig. 1: *Laevidentalina communis* (D'ORBIGNY, 1826) – Profil Xabaal Garure, Probe XGa37, unteres Oberapt.
O.Nr. TUB-SFU 88. a: Lateralansicht; b: Distalansicht.
- Fig. 2: *Laevidentalina* cf. *soluta* (REUSS, 1851) - Profil Xabaal Garure, Probe XGa37, unteres Oberapt.
O.Nr. TUB-SFU 131. Lateralansicht.
- Fig. 3, 4: *Nodosaria* sp. - Profil Xabaal Garure, Probe XGa37, unteres Oberapt.
3: O.Nr. TUB-SFU 128. 4: O.Nr. TUB-SFU129. Lateralansichten.
- Fig. 5, 6: *Lingulina* sp. – Profil Dhadhabo, Probe Dha26, unteres Oberapt.
5: O.Nr. TUB-SFU 87. a: Lateralansicht; b: Distalansicht. 6: O.Nr. TUB-SFU 85. a: Lateral-ansicht; b: Distalansicht.
- Fig. 7: *Pyramidulina* cf. *paupercula* (REUSS, 1845)) - Profil Xabaal Garure, Probe XGa37, unteres Oberapt.
O.Nr. TUB-SFU 130. Lateralansicht; Bruchstück, Anfangsteil nicht erhalten.
- Fig. 8-10: *Frondicularia* sp. – unteres Oberapt.
8: Profil Xabaal Garure, Probe XGa37. O.Nr. TUB-SFU 132. Lateralansicht.
9, 10: Profil Dhadhabo. Lateralansichten.
9: Probe Dha25. O.Nr. TUB-SFU 69. 10: Probe Dha26, O.Nr. TUB-SFU 67.
- Fig. 11: *Tristix acutangulum* (REUSS, 1863) - Profil Xabaal Garure, Probe XGa40, unteres Oberapt.
O.Nr. TUB-SFU 142. a: Lateralansicht; b: Distalansicht.
- Fig. 12: *Lenticulina discrepans* (REUSS, 1863) - Profil Xabaal Garure, Probe XGa40, unteres Oberapt.
O.Nr. TUB-SFU 148. a: Spiralansicht; b: Distalansicht.
- Fig. 13: *Lenticulina muensteri* (ROEMER, 1839) – Profil Dhadhabo, Probe Dha26, unteres Oberapt.
O.Nr. TUB-SFU 46. a: Spiralansicht; b: Frontalansicht.
- Fig. 14, 15: *Lenticulina* sp. cf. *Lenticulina saxocretacea* BARTENSTEIN, 1954 in: WEIDICH (1990) – Profil Dhadhabo, Probe Dha26, unteres Oberapt.
14: O.Nr. TUB-SFU 95. a: Spiralansicht; b: Distalansicht. 15: O.Nr. TUB-SFU 96. a: Spiralansicht; b: Lateralansicht auf distalen Teil der Spira.

Tafel 18

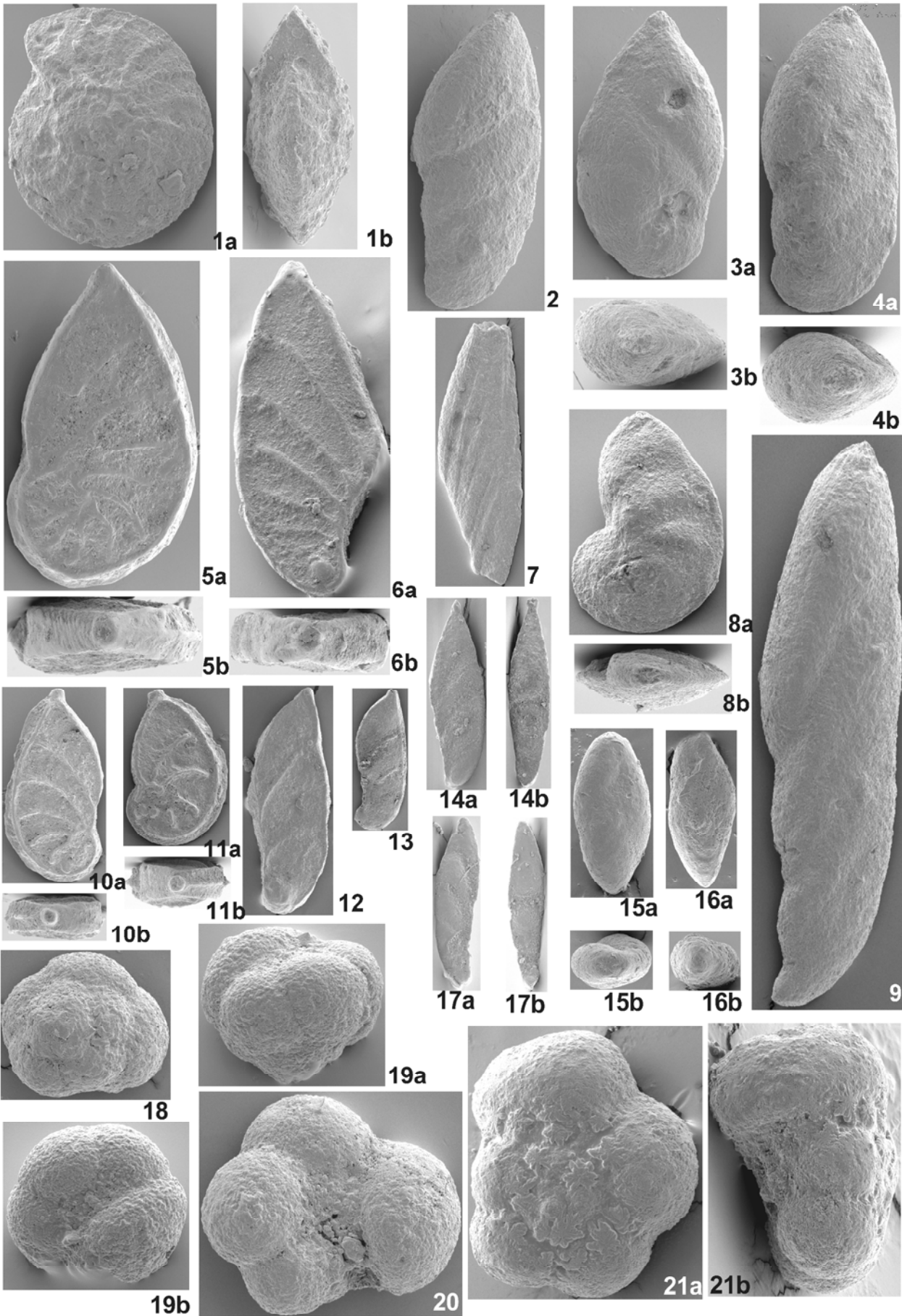


Tafel 19

Fig 1-13 ca. 70x, Fig. 14-17 ca. 100x, Fig. 18-21 ca. 250x, Nordsomalia.

- Fig. 1: *Lenticulina* sp. – Profil Tisje, Probe Tis13, Maastricht.
O.Nr. TUB-SFU 84. a: Spiralansicht; b: Frontalansicht.
- Fig. 2-4: *Astacolus calliopsis* (REUSS, 1863) - Profil Xabaal Garure, Probe XGa40, unteres Oberapt.
2: O.Nr. TUB-SFU 150. Lateralansicht. 3: O.Nr. TUB-SFU 153. a: Lateralansicht; b: Distalansicht. 4: O.Nr. TUB-SFU 149. a: Lateralansicht; b: Distalansicht.
- Fig. 5, 10, 11: „*Planularia*“ *crepidularis tricarinella* (REUSS, 1863) – Profil Dhadhabo, Probe Dha26, unteres Oberapt.
5: O.Nr. TUB-SFU 57. a: Lateralansicht; b: Distalansicht. 10: O.Nr. TUB-SFU 56. a: Lateralansicht; b: Distalansicht. 11: O.Nr. TUB-SFU 54. a: Lateralansicht; b: Distalansicht.
- Fig. 6: *Psilocitharella* sp. 1 – Profil Dhadhabo, Probe Dha26, unteres Oberapt.
O.Nr. TUB-SFU 53. a: Lateralansicht; b: Distalansicht.
- Fig. 7: *Citharina* sp. - Profil Xabaal Garure, Probe XGa40, unteres Oberapt.
O.Nr. TUB-SFU 145. Lateralansicht, Bruchstück.
- Fig. 8: *Astacolus?* sp. - Profil Xabaal Garure, Probe XGa40, unteres Oberapt.
O.Nr. TUB-SFU 143. Lateralansicht; b: Distalansicht.
- Fig. 9: *Astacolus* cf. *schloenbachi* (REUSS, 1863) - Profil Xabaal Garure, Probe XGa40, unteres Oberapt.
O.Nr. TUB-SFU 147. Lateralansicht.
- Fig. 12, 13: *Psilocitharella* sp. 2 - Profil Dhadhabo, Probe Dha26, unteres Oberapt.
12, 13: Lateralansichten. 12: O.Nr. TUB-SFU 80. 13: O.Nr. TUB-SFU 99.
- Fig. 14, 17: *Saracenella* sp. – Profil Dhadhabo, Probe Dha26, unteres Oberapt.
14: O.Nr. TUB-SFU 81. a: Lateralansicht; b: Frontalansicht. 17: O.Nr. TUB-SFU 82. a: Lateralansicht; b: Frontalansicht.
- Fig. 15, 16: *Pyrulina* spp. - Profil Dhadhabo, Probe Dha26, unteres Oberapt.
15: O.Nr. TUB-SFU 76. a: Lateralansicht; b: Distalansicht. 16: O.Nr. TUB-SFU 75. a: Lateralansicht; b: Apikalansicht.

Tafel 19

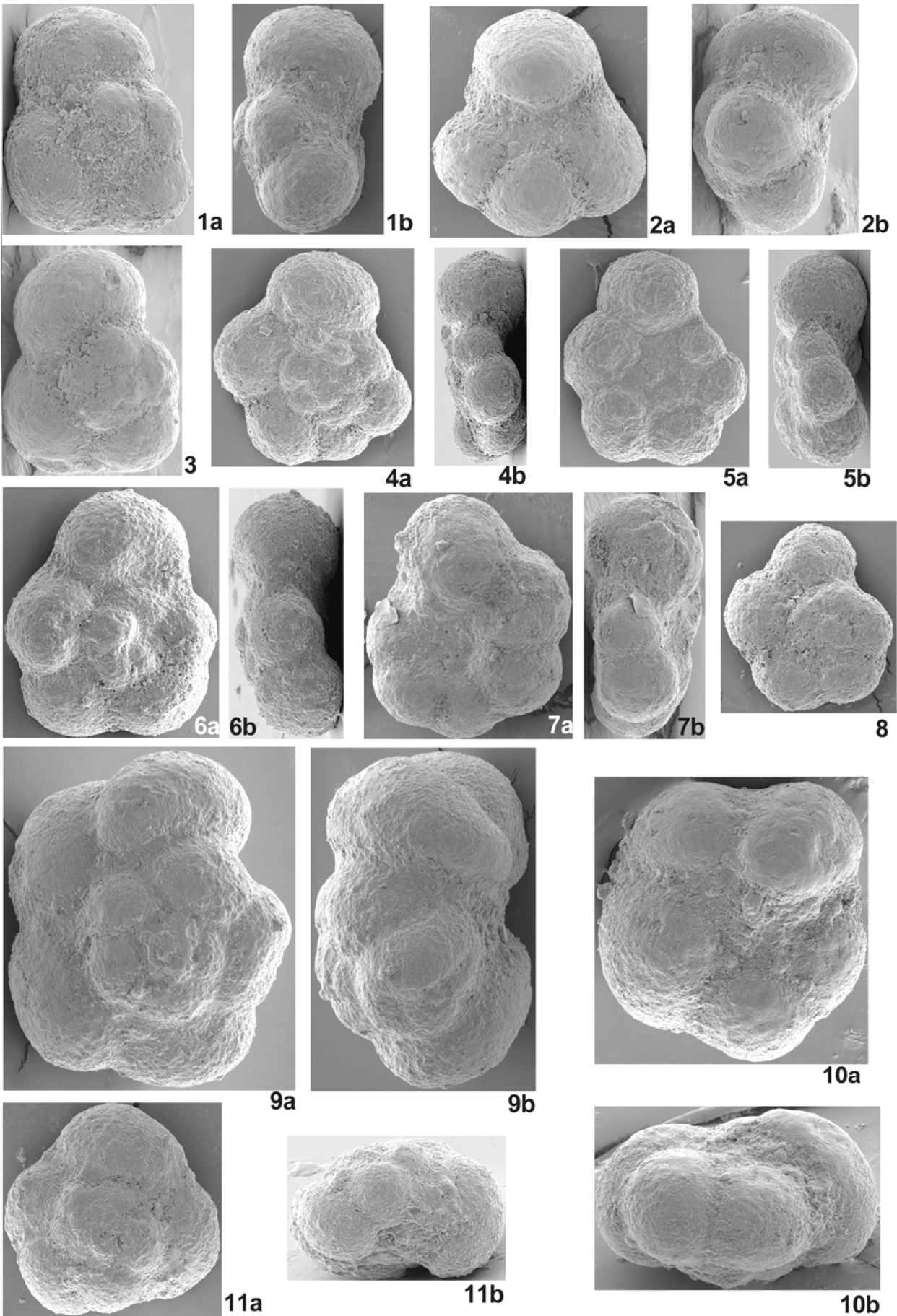


Tafel 20

Alle Objekte ca. 200x, Nordsomalia.

- Fig. 1-3: *Praehedbergella grigelisae* BANNER und DESAI, 1988 – Profil Dhadhabo, Probe Dha26, unteres Oberapt.
1: O.Nr. TUB-SFU 35. a: Spiralansicht; b: Lateralansicht. 2: O.Nr. TUB-SFU 36. a: Umbilikalansicht; b: Lateralansicht. 3: O.Nr. TUB-SFU 38. Spiralansicht.
- Fig. 4, 5: *Blefuscuiana aptiana aptiana* (BARTENSTEIN, 1965) - Profil Xabaal Garure, Probe XGa40, unteres Oberapt.
4: O.Nr. TUB-SFU 4. a: Spiralansicht; b: Lateralansicht. 5: O.Nr. TUB-SFU 6. a: Spiralansicht; b: Lateralansicht.
- Fig. 6-8: *Blefuscuiana aptiana orientalis* BOUDAGHER-FADEL et al., 1998 – unteres Oberapt.
6, 8: Profil Xabaal Garure, Probe XGa40 6: O.Nr. TUB-SFU 13 a: Spiralansicht; b: Lateralansicht. 8: O.Nr. TUB-SFU 11: Spiralansicht.
7: Profil Dhadhabo, Probe Dha26. O.Nr. TUB-SFU 41. a: Umbilikalansicht; b: Lateralansicht.
- Fig. 9-11: *Blefuscuiana gorbachikae* (LONGORIA, 1974) – unteres Oberapt.
9, 10: Profil Dhadhabo, Probe Dha26. 9: O.Nr. TUB-SFU 30. a: Spiralansicht; b: Lateralansicht. 10: O.Nr. TUB-SFU 29. a: Umbilikalansicht; b: Lateralansicht.
11: Profil Xabaal Garure, Probe XGa37. O.Nr. TUB-SFU 23. Juvenarium. a: Spiralansicht; B: Lateralansicht.

Tafel 20



Tafel 21

Fig. 1-5 ca. 200x, Fig. 6, 7 ca. 150x, Nordsomalia.

Fig. 1-3: *Blefuscuiana gorbachikae* (LONGORIA, 1974) – Profil Dhadhabo, Probe Dha26, unteres Oberapt.

1: O.Nr. TUB-SFU 32. a: Spiralansicht; b: Lateralansicht. 2: O.Nr. TUB-SFU 33. a: Umbilikalansicht; b: Lateralansicht. 3: O.Nr. TUB-SFU 34. a: Spiralansicht; b: Lateralansicht.

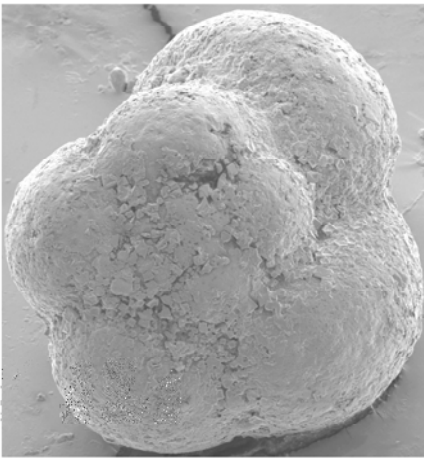
Fig. 4, 5: *Leupoldina* gr. *cabri* (SIGAL, 1952) sensu BANNER und DESAI, 1988 – Profil Dhadhabo, Probe Dha26, unteres Oberapt.

4: O.Nr. TUB-SFU 26. a: Spiralansicht; b: Lateralansicht. 5: O.Nr. TUB-SFU 27. a: Spiralansicht; b: Lateralansicht.

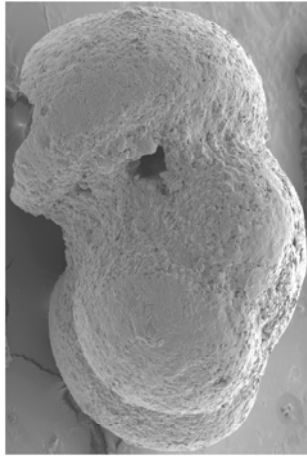
Fig. 6, 7: *Baggina* sp. – Profil Tisje, Probe Tis2, Campan.

6: O.Nr. TUB-SFO 89. a: Spiralansicht; b: Lateralansicht. 7: O.Nr. TUB-SFO 90. a: Umbilikalansicht; b: Lateralansicht.

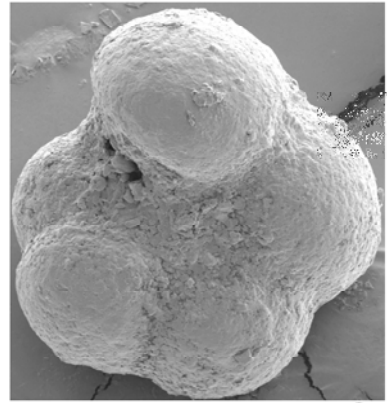
Tafel 21



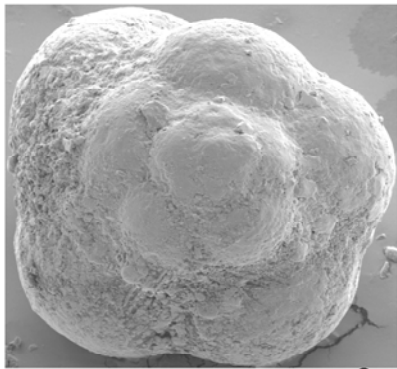
1a



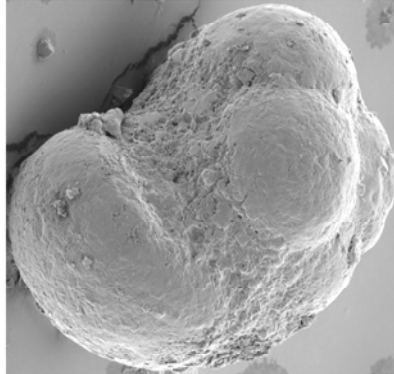
1b



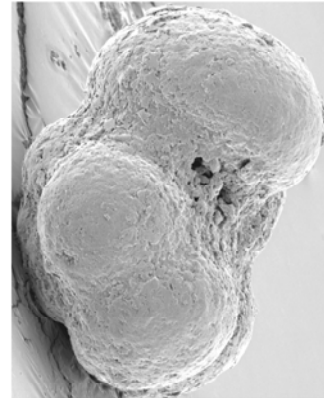
2a



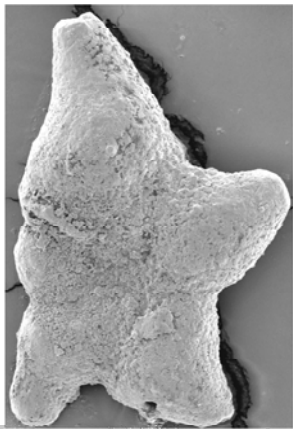
3a



3b



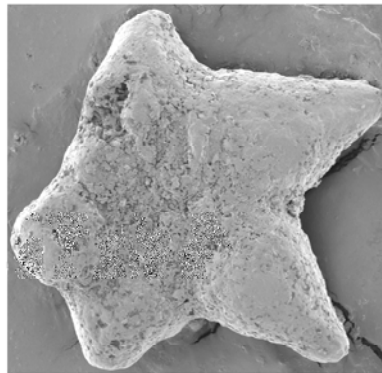
2b



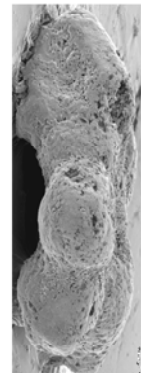
4a



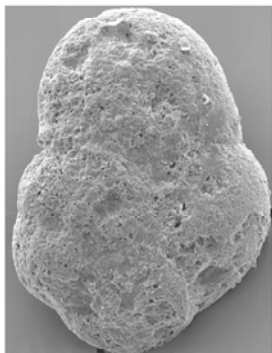
4b



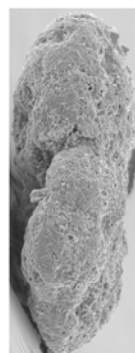
5a



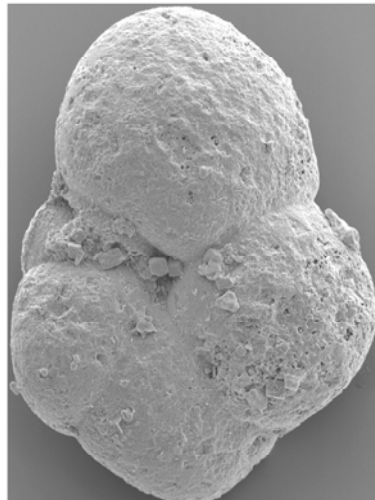
5b



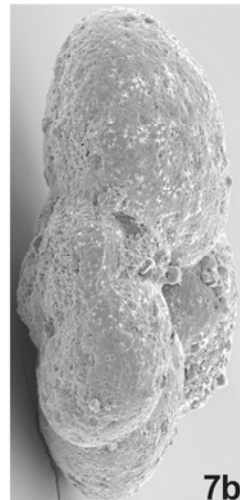
6a



6b



7a



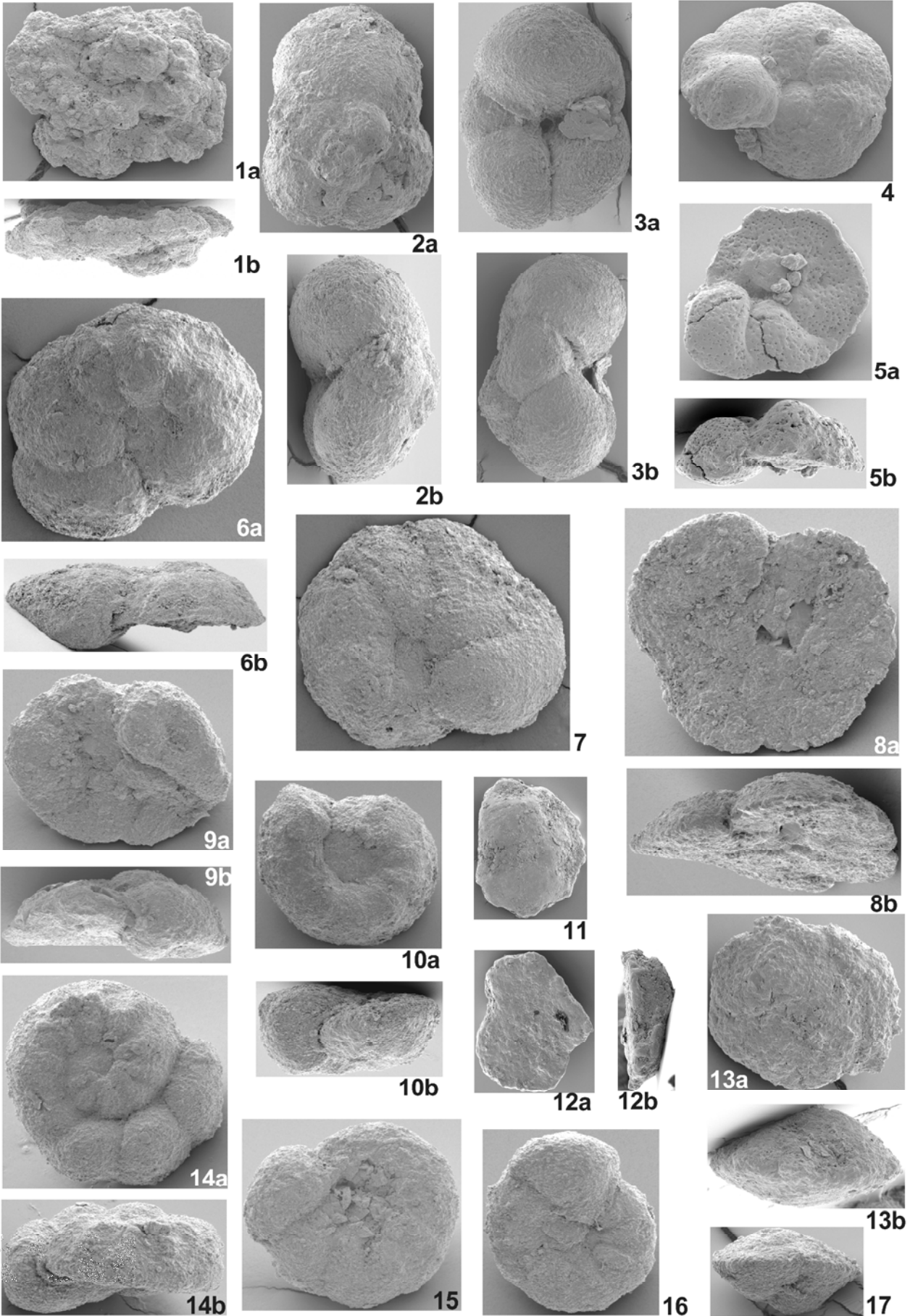
7b

Tafel 22

Alle Objekte ca. 75x, Nordsomalia.

- Fig. 1: *Planorbulina?* sp. – Profil Tisje, Probe Tis37, unteres Paleozän.
O.Nr. TUB-SFO 51; a: Spiralansicht; b: Lateralansicht.
- Fig. 2, 3: *Quadriforminella* sp. aff. *Q. permira* VETROVA, 1975 - Profil Tisje, Probe Tis37, unteres Paleozän.
2: O.Nr. TUB-SFO 54; a: Spiralansicht; b: Lateralansicht. 3: O.Nr. TUB-SFO 55; a: Umbilikalansicht; b: Lateralansicht.
- Fig. 4, 5: *Valvalabamina* sp. 1 – Profil Tisje, Probe Tis2, Campan.
4: O.Nr. TUB-SFO 67, Spiralansicht. 5: O.Nr. TUB-SFO 65; a: Umbilikalansicht; b: Lateralansicht.
- Fig. 6-9: *Valvalabamina* sp. 2 - Profil Tisje, Probe Tis37, unteres Paleozän.
6: O.Nr. TUB-SFO 22; a: Spiralansicht; b: Lateralansicht. 7: O.Nr. TUB-SFO 23, Spiralansicht. 8: O.Nr. TUB-SFO 24; a: Umbilikalansicht; b: Lateralansicht. 9: O.Nr. TUB-SFO 25; a: Umbilikalansicht; b: Lateralansicht.
- Fig. 10, 14-16: *Valvalabamina* sp. 3 - Profil Tisje, Probe Tis37, unteres Paleozän.
10: O.Nr. TUB-SFO 27; a: Spiralansicht; b: Lateralansicht. 14: O.Nr. TUB-SFO 26; a: Spiralansicht; b: Lateralansicht. 15: O.Nr. TUB-SFO 29, Umbilikalansicht. 16: O.Nr. TUB-SFO 30, Umbilikalansicht.
- Fig. 11, 12: *Globorotalites* sp. – Profil Dhadhabo, Probe Dha26, unteres Oberapt.
11: O.Nr. TUB-SFU 92, Spiralansicht. 12: O.Nr. TUB-SFU 91; a: Umbilikalansicht; b: Lateralansicht.
- Fig. 13, 17: *Charltonina madrugensis* (CUSHMAN und BERMUDEZ, 1948) - Profil Tisje, Probe Tis37, unteres Paleozän.
13: O.Nr. TUB-SFO 35; a: Spiralansicht; b: Lateralansicht. 17: O.Nr. TUB-SFO 39, Lateralansicht.

Tafel 22



Tafel 23

Alle Objekte ca. 75x, Nordsomalia.

Fig. 1-5: *Charltonina madrugensis* (CUSHMAN und BERMUDEZ, 1948) - Profil Tisje, Probe Tis37, unteres Paleozän.

1: O.Nr. TUB-SFO 32, Umbilikalansicht. 2: O.Nr. TUB-SFO 34; a: Spiralansicht; b: Lateralansicht. 3: O.Nr. TUB-SFO 36; a: Umbilikalansicht; b: Lateralansicht. 4, 5: vermutete Juvenarien. 4: O.Nr. TUB-SFO 47; a: Spiralansicht; b: Lateralansicht. 5: O.Nr. TUB-SFO 46; a: Umbilikalansicht; b: Lateralansicht.

Fig. 6-8: ?*Anomalinoides* sp.2- Profil Tisje, Probe Tis37, unteres Paleozän.

6: O.Nr. TUB-SFO 49, Juvenarium, Spiralansicht. 7: O.Nr. TUB-SFO 17; a: Umbilikalansicht; b: Lateralansicht.. 8: O.Nr. TUB-SFO 18, Spiralansicht.

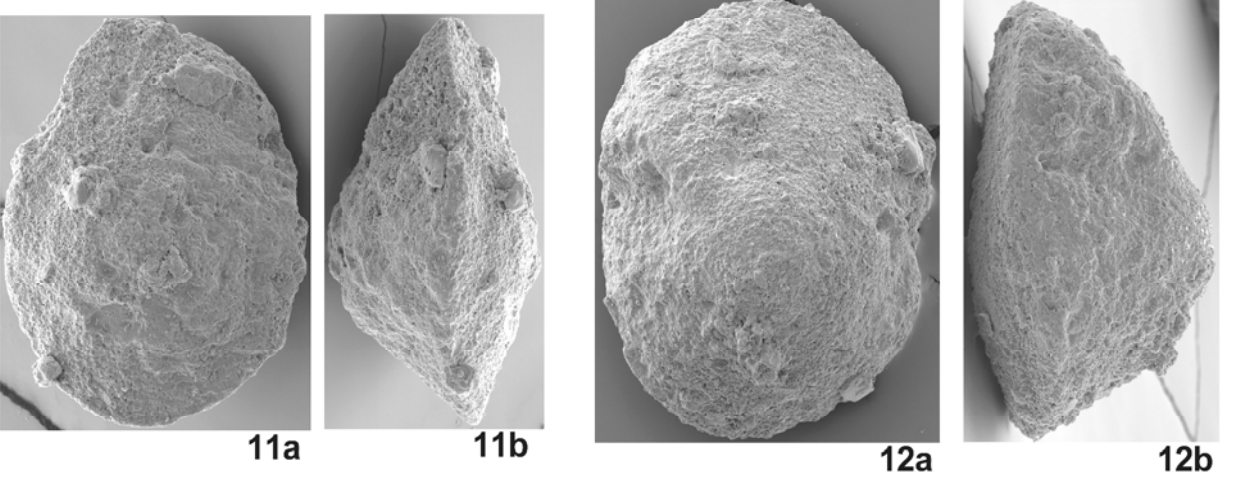
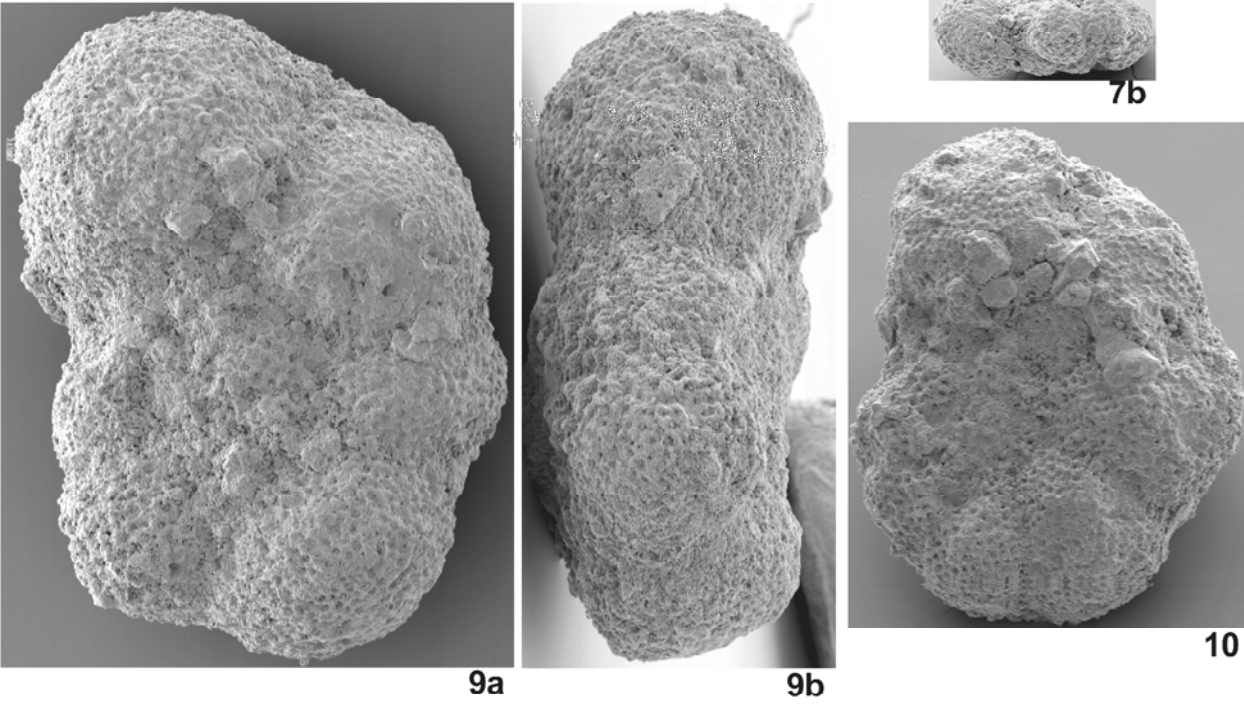
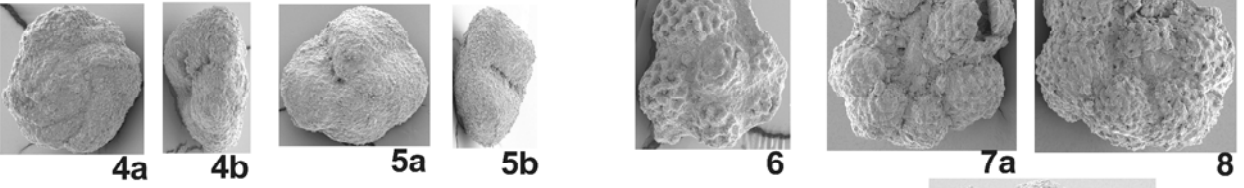
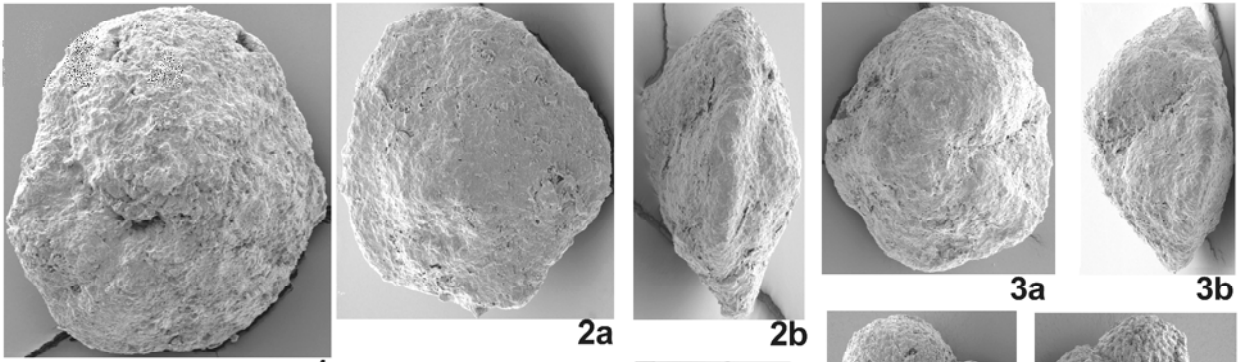
Fig. 9, 10: ?*Anomalinoides* sp.1 - Profil Tisje, Probe Tis13, Maastricht.

9: O.Nr. TUB-SFO 86; a: Umbilikalansicht; b: Lateralansicht. 10: O.Nr. TUB-SFO 87, Spiral-ansicht.

Fig. 11, 12: ?*Paralabamina* sp. - Profil Tisje, Probe Tis13, Maastricht.

11: O.Nr. TUB-SFO 95; a: Spiralansicht; b: Lateralansicht. 12: O.Nr. TUB-SFO 96; a: Umbilikalansicht; b: Lateralansicht.

Tafel 23



Tafel 24

Alle Objekte ca. 25x (Fig. 1b; 11b: siehe Maßstab), Nordsomalia.

Fig. 1-7: *Orbitoides tissoti* SCHLUMBERGER sensu NEUMANN; 1987 – Profil Tisje, Campan.

1: Probe Tis2; O.Nr. TUB-SFO 75; a: Aufsicht; b: Detailausschnitt der gleichen Aufsicht.

2, 3: Probe Tis 5; O.Nr. TUB-SFO Tis5/6/1, Axialschnitt. 3: O.Nr. TUB-SFO Tis5/13/1, schiefer Axialschnitt.

4, 7: Probe Tis 6; 4: O.Nr. TUB-SFO Tis6/5/2: Subäquatorialschnitt. 7: O.Nr. TUB-SFO Tis6/1/1, Axialschnitt.

5, 6: Probe Tis4: 5: O.Nr. TUB-SFO Tis4/1/1, Axialschnitt. 6: O.Nr. TUB-SFO Tis4/8/1, Axialschnitt.

Fig. 8-10: *Orbitoides* sp. aff. *Orbitoides* gr. *apiculata* (SCHLUMBERGER, 1902) – Profil Tisje, Maastricht.

8-10: Axialschnitte.

8: Probe Tis10, O.Nr. TUB-SFO Tis10/1/1.

9, 10: Probe Tis9: 9: O.Nr. TUB-SFO Tis9/6/2. 10: O.Nr. TUB-SFO Tis9/2/1.

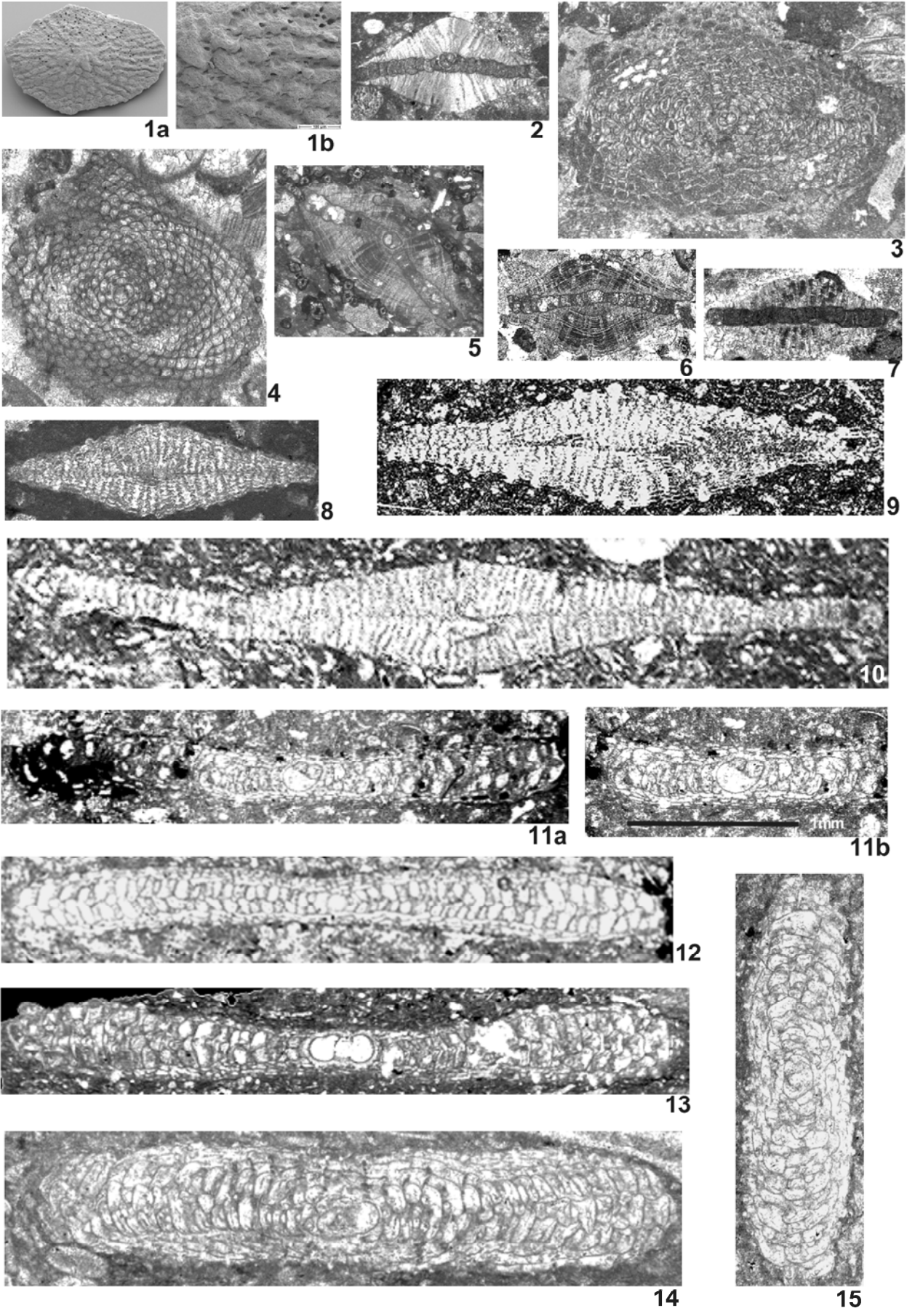
Fig. 11-15: *Pseudomphalocyclus blumenthali* MERIC, 1980 - Maastricht.

11-13: Profil Tisje, Axialschnitte. 11-13: Probe Tis 9. 11: O.Nr. TUB-SFO Tis9/5/2; a: Vollansicht des Exemplars; b: Detailansicht des Zentralteils des gleichen Exemplars.

12: O.Nr. TUB-SFO Tis9/2/2. 13: O.Nr. TUB-SFO Tis9/3/2.

14, 15: Profil Galgalo, Probe Gal9. 14: O.Nr. TUB-SFO Gal9/2/2. 15: O.Nr. TUB-SFO Gal9/2/1.

Tafel 24



Tafel 25

Alle Objekte ca. 25x, Nordsomalia.

Fig. 1-3: *Pseudomphalocyclus blumenthali* MERIC, 1980 - Maastricht.

Fig. 1, 3: Profil Tisje.

1: Probe Tis19; O.Nr. TUB-SFO Tis19/1/1, Subäquatorialschnitt. 3: Probe Tis18, O.Nr. TUB-SFO Tis18/4/1; marginaler Axialschnitt.

2: Profil Galgalo, Probe Gal9, O.Nr. TUB-SFO Gal9/1/1, Subaxialschnitt.

Fig. 4-8: *Omphalocyclus macroporus* (LAMARCK, 1816) – Maastricht.

Fig. 4, 6-8: Profil Tisje.

Fig. 4, 7: Axialschnitte. Fig. 4, 7: Probe Tis9. 4: O .Nr. TUB-SFO Tis9/1/2. Fig. 7: O .Nr. TUB-SFO Tis9/2/1.

Fig. 6: Probe Tis 19, O .Nr. TUB-SFO Tis19/7/1, Subäquatorialschnitt.

Fig. 8: Probe Tis20, O .Nr. TUB-SFO Tis 20/2/1, marginaler Axialschnitt.

Fig. 5: Profil Galgalo, Probe Gal9, O. Nr. TUB-SFO Gal9/5/1, Subäquatorialschnitt.

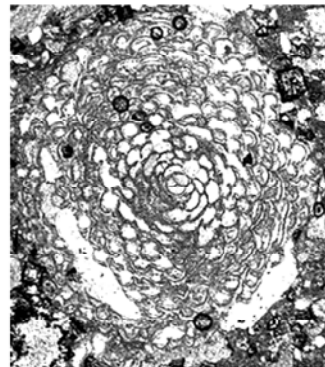
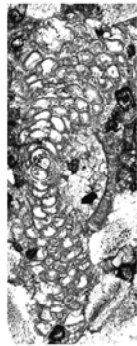
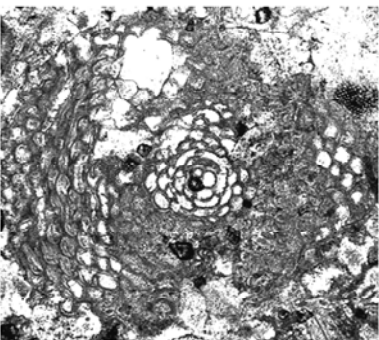
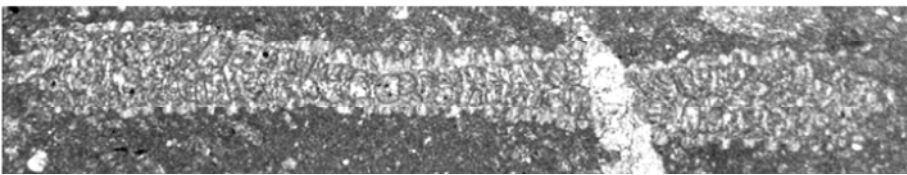
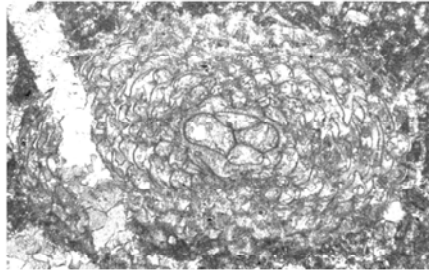
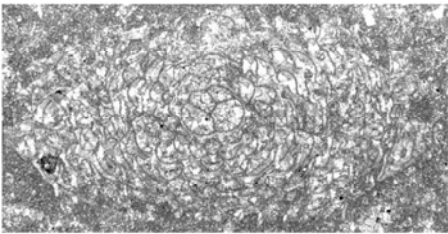
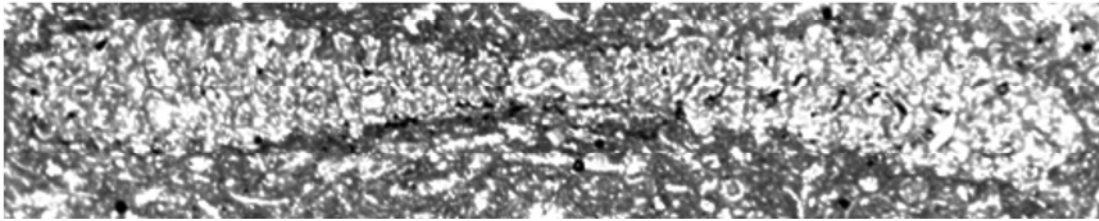
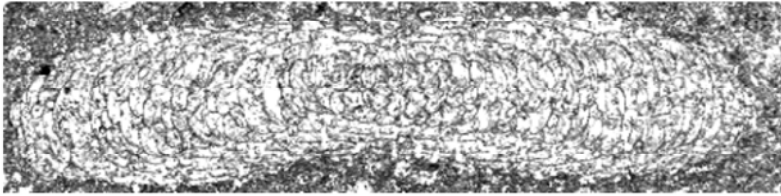
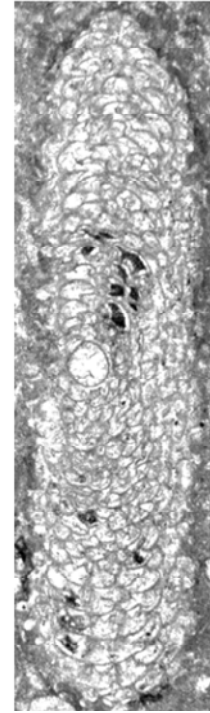
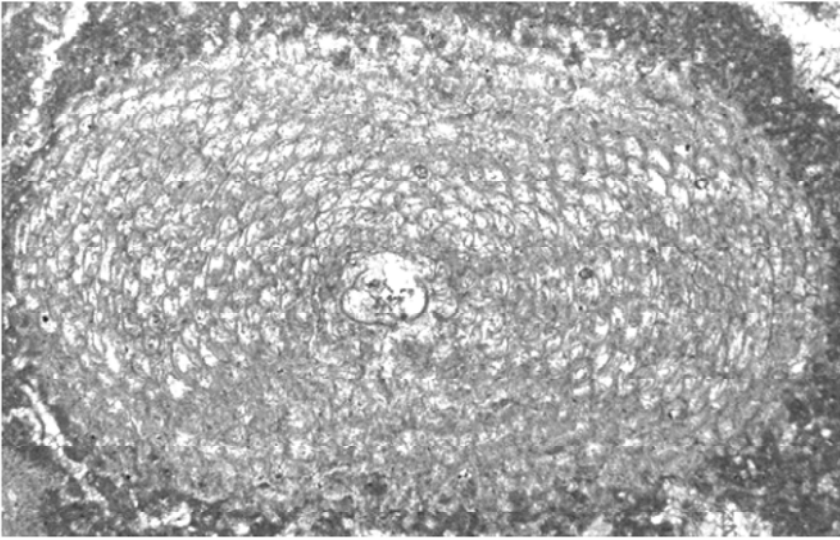
Fig. 9-12: *Hellenocyclina? dordoniensis somalica* n. ssp. – Profil Tisje, Campan.

9-11: Probe Tis4.

9: Holotyp. O. Nr. TUB-SFO Tis4/4/1, Äquatorialschnitt. 10: O. Nr. TUB-SFO Tis4/7/2, Axial-schnitt. 11: O. Nr. TUB-SFO Tis4/7/1, Äquatorialschnitt.

12: Probe Tis7, O. Nr. TUB-SFO Tis7/6/1, Axialschnitt.

Tafel 25

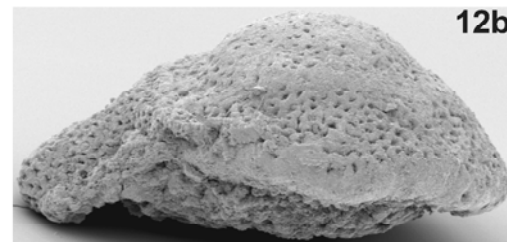
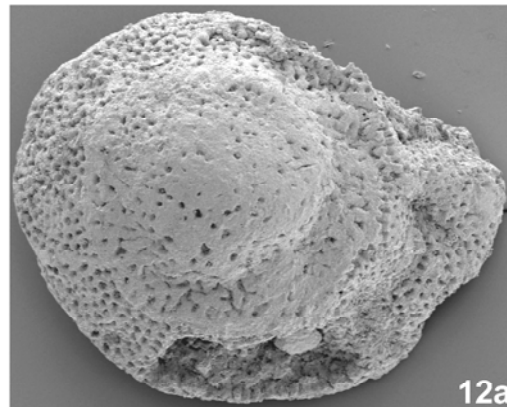
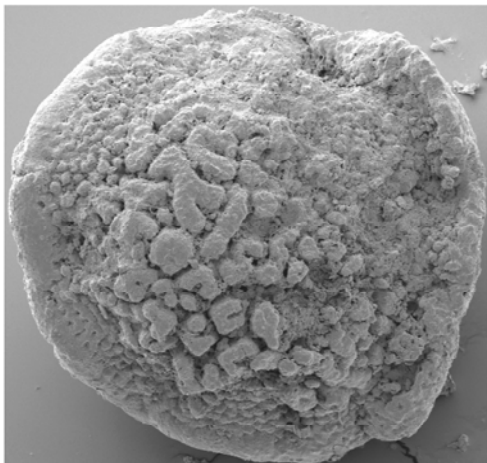
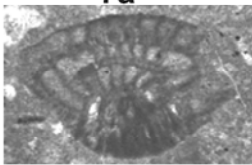
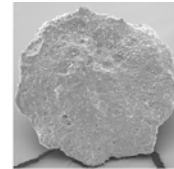
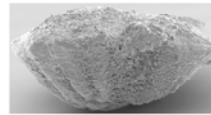
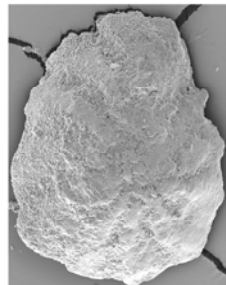
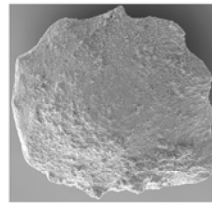
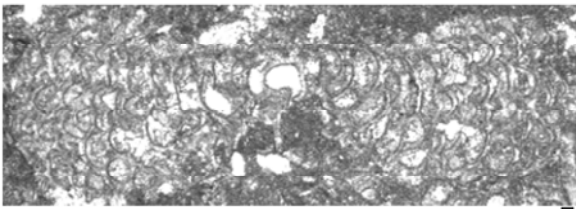
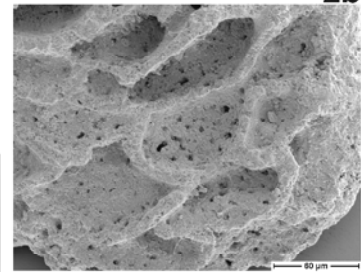
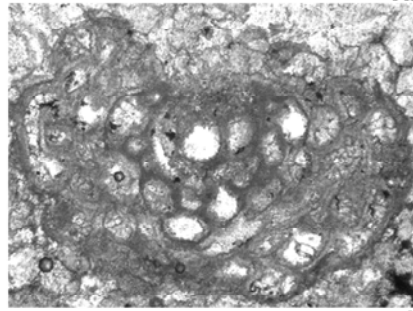
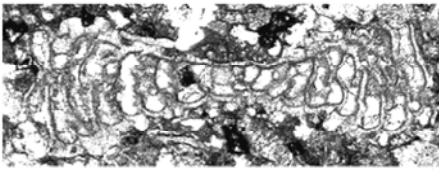
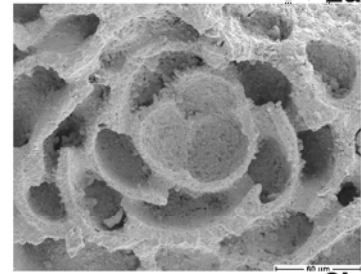
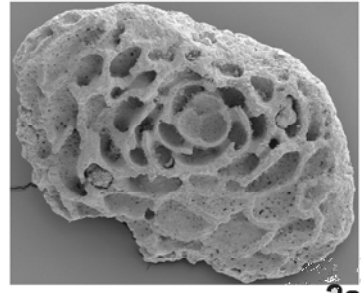
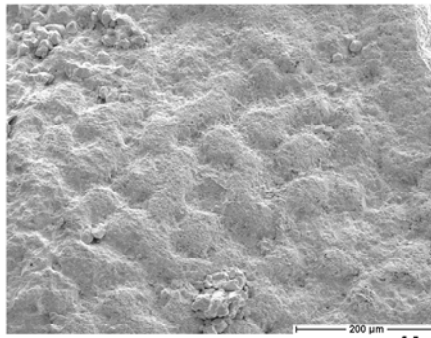


Tafel 26

Alle Objekte ca. 40x (bei Detailvergrößerungen siehe Maßstab), Nordsomalia.

- Fig. 1, 2, 4: *Hellenocyclina? dordoniensis* (HOFKER Sr., 1959) s.s – Profil Tisje.
 Fig. 1, 2: Campan.
 Fig. 1, 2: Probe Tis2. Fig.1: O. .Nr. TUB-SFO 76. 1a: Aufsicht auf ein leicht beschädigtes Exemplar. 1b: Detailansicht der Oberfläche des gleichen Exemplars. 2: O. .Nr. TUB-SFO 74. 2a: Äquatorialansicht eines beschädigten Exemplars. 2b: Detailansicht des Embryonalapparates des gleichen Exemplars. 2c: Detailansicht der perforaten Lateralkammern des gleichen Exemplars.
 Fig. 4: Maastricht, Probe Tis24. O. .Nr. TUB-SFO Tis24/1/1, schiefe Schnittlage durch Embryonalapparat.
- Fig. 3, 5: *Hellenocyclina? dordoniensis somalica* n. ssp. – Profil Tisje, Campan.
 Fig. 3: Probe Tis4. O. Nr. TUB-SFO Tis4/8/2, Axialschnitt.
 Fig. 4: Probe Tis5. O. .Nr. TUB-SFO Tis5/13/2, Axialschnitt.
- Fig. 6, 8, 9: *Pararotalia* sp. – Profil Biyo Kulule, Probe BKu19, Maastricht.
 Fig. 6: O. Nr. TUB-SFO 91. 6a: Spiralansicht; 6b: Lateralansicht. 8: O. .Nr. TUB-SFO 93, Umbilikalansicht. 9: O. .Nr. TUB-SFO 92, Spiralansicht.
- Fig. 7: *Fissoelphidium* sp. – Profil Tisje, Probe Tis13, Maastricht.
 O. Nr. TUB-SFO 109. 7a: Seitenansicht; b: Frontalaufsicht auf letzte erhaltene Kammer.
- Fig. 10: *Laffitteina* aff. *jaskii* RAHAGHI, 1992 – Profil Tisje, Probe Tis11, Maastricht.
 O. Nr. TUB-SFO Tis11/5/2, leicht schiefer Axialschnitt.
- Fig. 11, 12: *Lockhartia diversa* SMOUT, 1954 – Profil Tisje, Probe Tis37, unteres Paleozän.
 11: O. Nr. TUB-SFO 1, Umbilikalansicht. 12: O. Nr. TUB-SFO 2. 12a: Spiralansicht; b: Lateralansicht dieses niedrigkonischen Exemplars.

Tafel 26

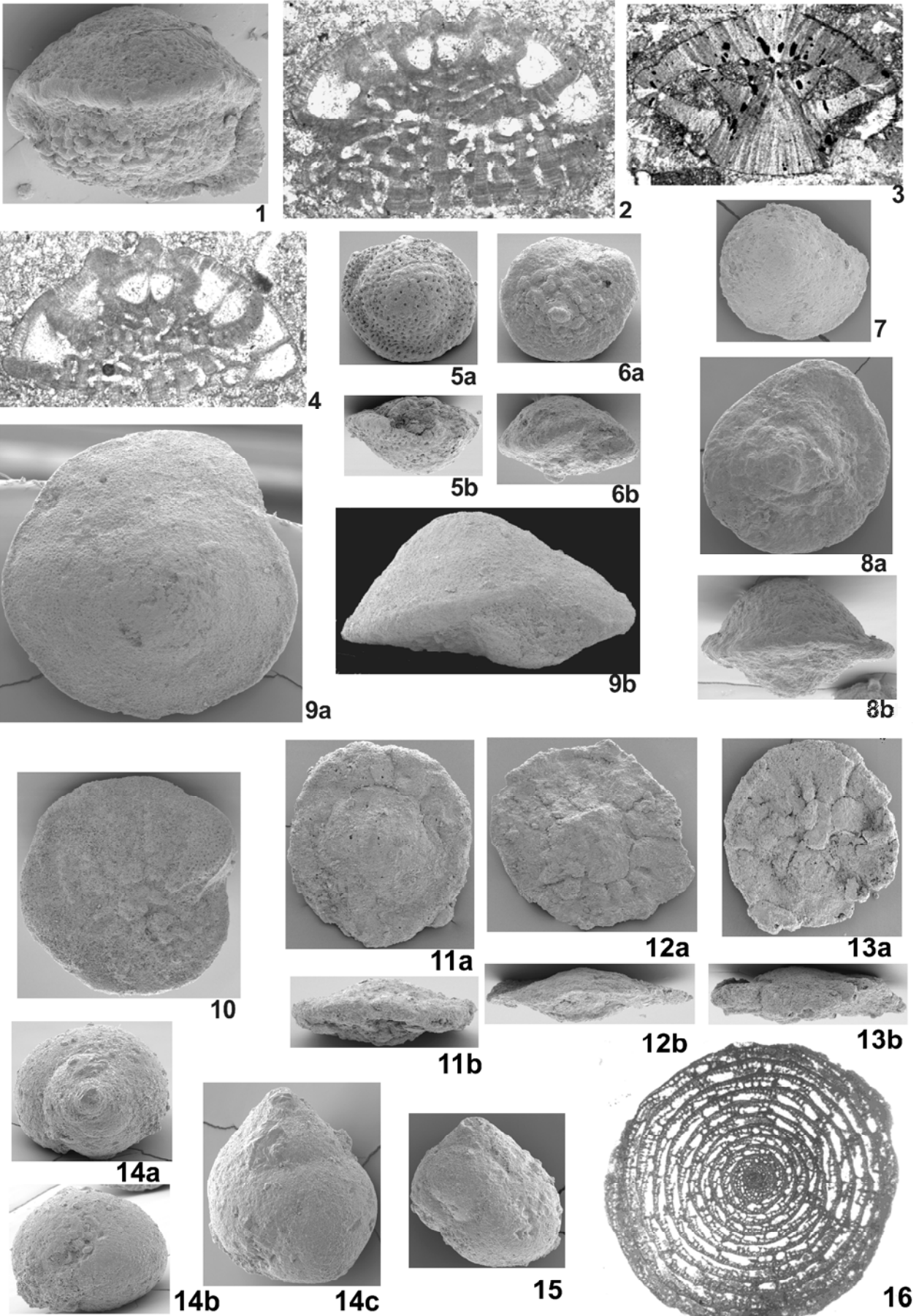


Tafel 27

Fig. 1-10 30x, Fig. 11-15 ca. 40x; Fig. 16 ca. x5, Nordsomalia.

- Fig. 1, 2, 4-6: *Lockhartia diversa* SMOUT, 1954 – unteres Paleozän.
 1, 5, 6: Profil Tisje, Probe Tis 37.
 1: O. Nr. TUB-SFO 1, Lateralansicht eines hochkonischen Exemplars. 5, 6: Juvenarien. 5: O. Nr. TUB-SFO 4. 5a: Spiralansicht; b: Lateralansicht. 6: O. Nr. TUB-SFO 5. 6a: Umbilikalansicht; b: Lateralansicht.
 2, 4: Profil Galgalo, Probe Gal17. 2: O. Nr. TUB-SFO Gal17/2/2, angeschrägter(?) Subaxialschnitt. 4: O. Nr. TUB-SFO Gal17/2/1, Axialschnitt.
- Fig. 3, 7, 8: *Rotalia skourensis* PFENDER, 1938 – Profil Tisje, Campan.
 3: Probe Tis1, O. Nr. TUB-SFO Tis1/5/1, Axialschnitt.
 7, 8: Probe Tis 2. 7: O. Nr. TUB-SFO 81, Spiralansicht. 8: O. Nr. TUB-SFO 80. 8a: Umbilikalansicht; b: Lateralansicht.
- Fig. 9, 10: *Rotalia trochidiformis* (LAMARCK, 1804) – Profil Tisje, Probe Tis 17, Maastricht.
 9: O. Nr. TUB-SFO 79. 9a: Spiralansicht; b: Lateralansicht. 10: O. Nr. TUB-SFO 77, Umbilikalansicht.
- Fig. 11-13: *Rotalia cf. dukhani* SMOUT, 1954 – Profil Tisje, Probe Tis37, unteres Paleozän.
 11: O. Nr. TUB-SFO 11. 11a: Spiralansicht; b: Lateralansicht. 12: O. Nr. TUB-SFO 12. 12a: Umbilikalansicht; b: Lateralansicht. 13: O. Nr. TUB-SFO 10. 10a: Umbilikalansicht; b: Lateralansicht.
- Fig. 14, 15: *Arenobulimina* sp. – Profil Tisje, Probe Tis13, Maastricht.
 14: O. Nr. TUB-SFO 103. 14a: Proximalansicht; b: Distalansicht; c: Lateralansicht. 15: O. Nr. TUB-SFO 102, Lateralansicht.
- Fig. 16: *Loftusia elongata* COX, 1937 sensu MERIC und GÖRMÜS (2001) – Profil Biyo Kulule, Probe BKu 17, Maastricht.
 O. Nr. TUB-SFO BKu17/2, Äquatorialschnitt einer isolierten mikrosphärischen Form.

Tafel 27

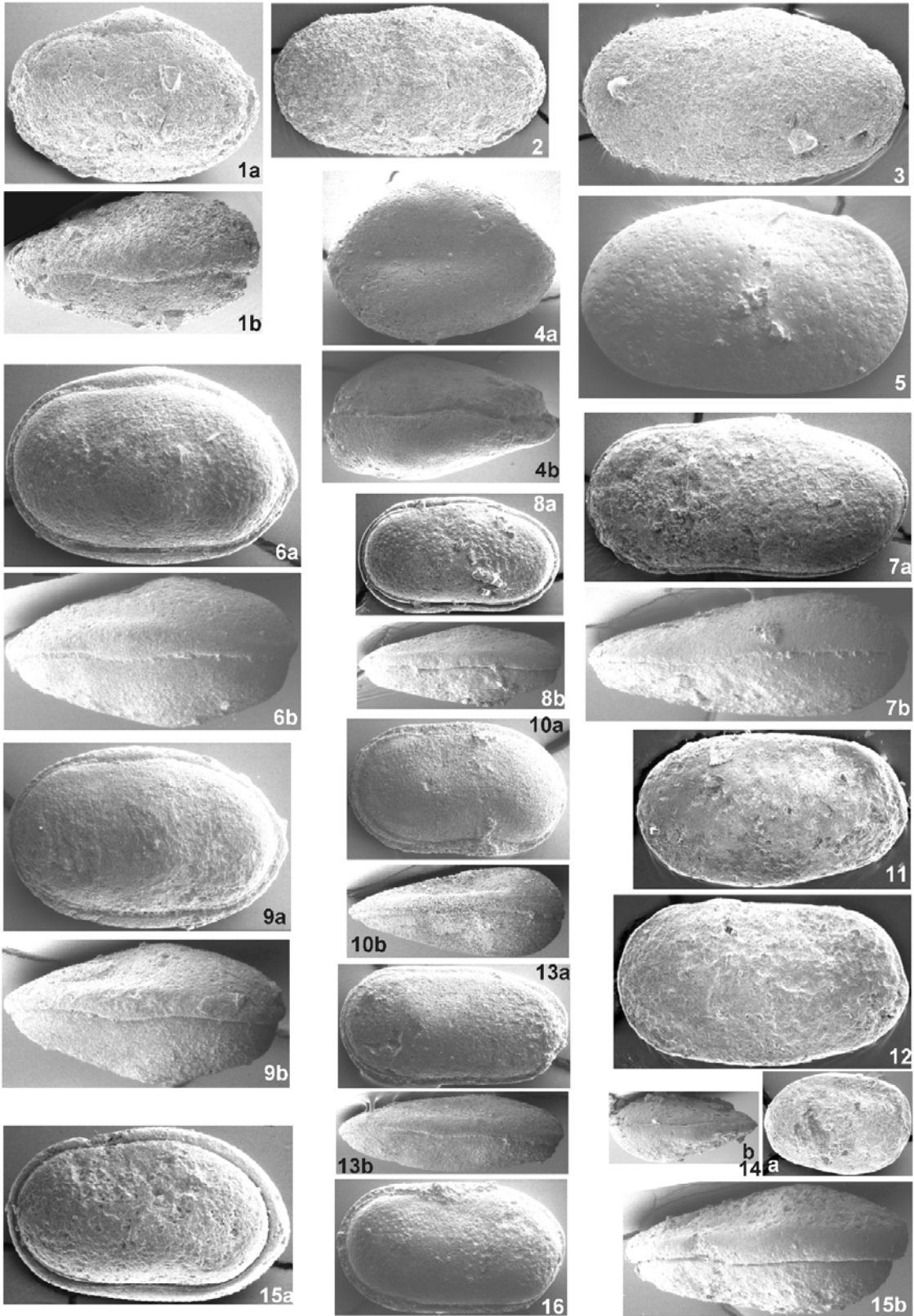


Tafel 28

Alle Objekte ca. 60x, Nordsomalia.

- Fig. 1-3: *Cytherella aegyptiensis* COLIN und DAKKAK, 1975; Profil Manna'a, Probe Man68; unteres Cenoman.
 1: O.Nr. TUB-SOU 195, W, L: 0,86 mm, 1a: GL; 1b: GD. 2: O.Nr. TUB-SOU 192, WLK, L: 0,92 mm. 3: O.Nr. TUB-SOU 193, MLK, L: 1.09 mm.
- Fig 4: *Cytherella gigantosulcata* ROSENFELD, 1981; Profil Manna'a, Probe Man68; unteres Cenoman.
 O.Nr. TUB-SOU 251, L: 0,78 mm, 4a: GR; 4b: GD.
- Fig. 5, 7, 8: *Cytherella cf. ludbrookae* NEALE, 1975; Profil Tisje, Probe Tis2; Campan.
 5: O.Nr. TUB-SOO 224, WRK, L: 1,09 mm. 7: O.Nr.-TUB-SOO 218, M, L: 1,08 mm, 7a: GL; 7b: GD. 8: O.Nr.-TUB-SOO 225, Juv., L: 0,68 mm, 8a: GL; 8b: GD.
- Fig. 6, 9: *Cytherella cf. truncata* (BOSQUET), 1847 sensu HERRIG (1966); Profil Tisje, Probe Tis17; Maastricht.
 6: O.Nr. TUB-SOO 208, W, L: 0,97 mm, 6a: GL; 6b: GR. 9: O.Nr. TUB-SOO 209, M, L: 0,94 mm, 9a: O.Nr. TUB-SOO GL; 9b: GR.
- Fig. 10, 13, 16: *Cytherella cf. parallela* (REUSS), 1845 sensu HERRIG (1966); Profil Tisje, Probe Tis17; Maastricht.
 10: O.Nr. TUB-SOO 210, W, L: 0,72 mm, 10a: GL; 10b: GD. 13: O.Nr. TUB-SOO 211, M, L: 0,76 mm 13a: GL; 13b: GD. 14: O.Nr. TUB-SOO 212, WGL, L: 0,76 mm.
- Fig. 11, 12, 14: *Cytherella* (?) sp. 3; Profil Tisje, Probe Tis2; Campan.
 11, 12: RK, 11: O.Nr. TUB-SOO 105, L: 0,91 mm. 12: O.Nr. TUB-SOO 104, L: 0,97 mm. 14: O.Nr. TUB-SOO 63, Juv, L: 0,49 mm, 14a: GR; 14b: GD.
- Fig. 15: *Cytherella* sp. aff. *C. truncata* (BOSQUET), 1847 sensu HERRIG (1966); Profil Tisje, Probe Tis2; Campan.
 O.Nr. TUB-SOO 219, L: 0,95 mm, 15a: GL; 15b: GD.

Tafel 28

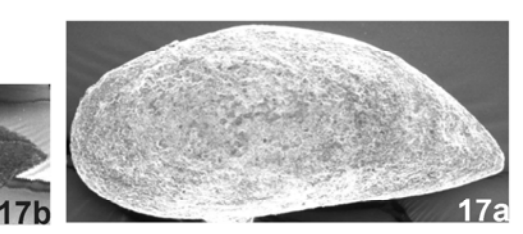
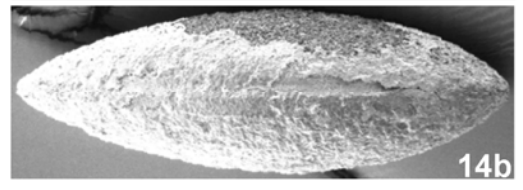
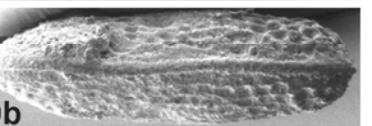
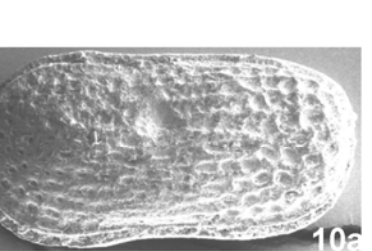
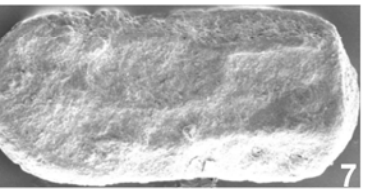
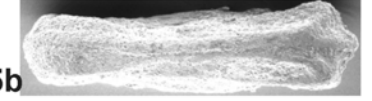
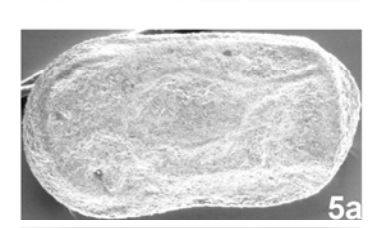
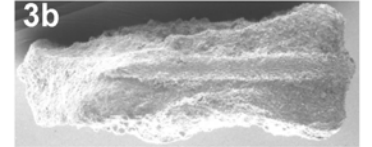
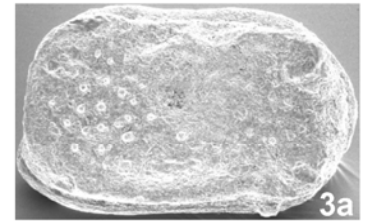
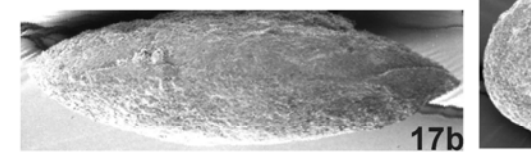
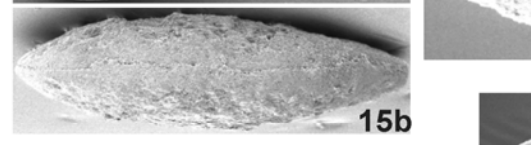
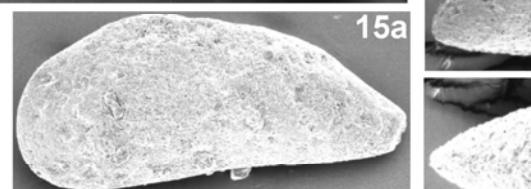
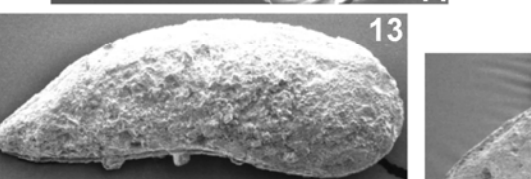
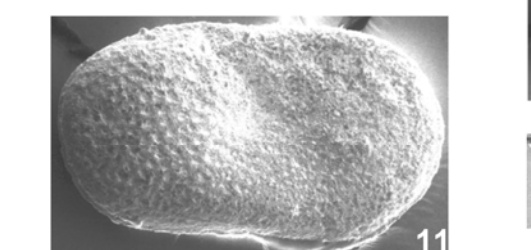
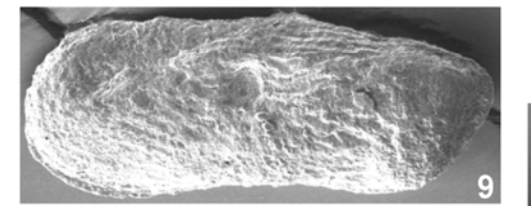
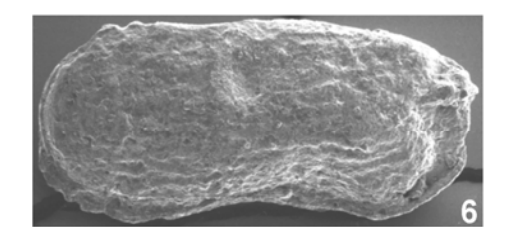
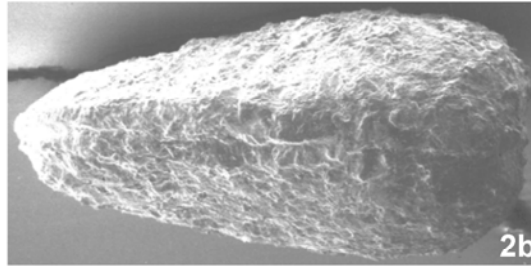
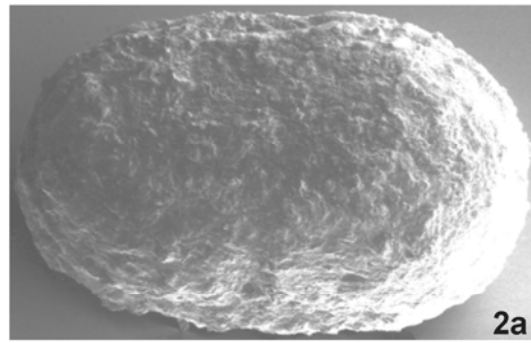
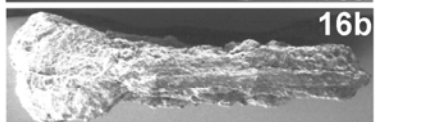
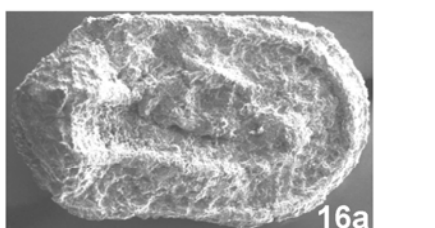
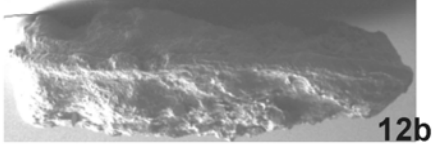
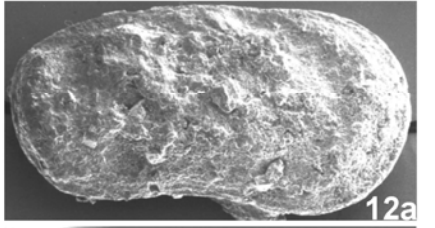
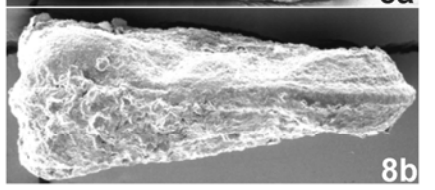
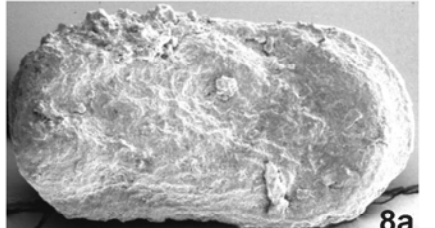
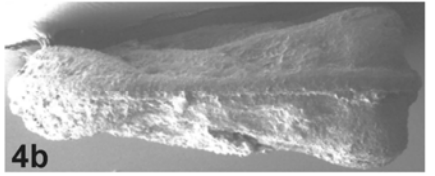
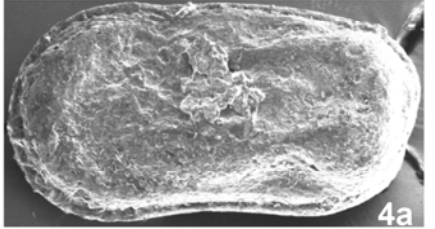
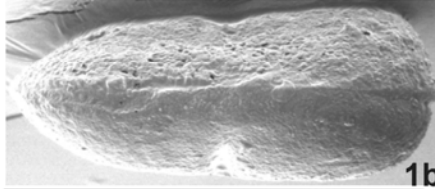
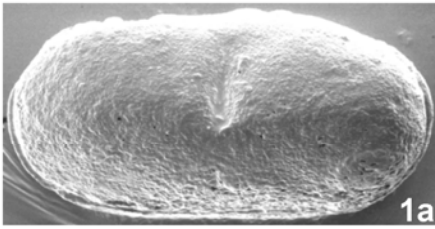


Tafel 29

Alle Objekte ca. 80x, Nordsomalia.

- Fig. 1: *Cytherella* (?) sp.1; Profil Las Koreh, Probe LKo13; Alb.
O.Nr. TUB-SOU 197; L: 0,71mm, 1a: GL; 1b: GD.
- Fig. 2: *Cytherella* sp.2; Profil Tisje, Probe Tis37; unteres Paleozän.
O.Nr. TUB-SOO 264; L: 0.87 mm. 2a: GL; 2b: GD.
- Fig. 3: *Cytherelloidea btaterensis* BISCHOFF, 1964; Profil Las Koreh, Probe LKo22; höheres Alb.
O.Nr. TUB-SOU 188; L: 0,56 (LK anterodorsal –anteromedian defekt). 3a: GL; 3b: GD.
- Fig. 4, 8, 12: *Cytherelloidea tisjehensis* n.sp.; Profil Tisje; Probe Tis2; Campan.
4, 8: WW; 4: Holotyp, O.Nr. TUB-SOO 276, L: 0,68 mm, 4a: GL; 4b: GD. 8: O.Nr. TUB-SOO 57, L: 0,65 mm, 8a: GR; 8b: GD. 12: M, O.Nr. TUB-SOO 275, L: 0,67 mm, 12a: GR; 12b: GD.
- Fig. 5, 7: *Cytherelloidea* cf. *ghabounensis* BISCHOFF, 1964; Profil Xabaal Garure, Probe XGa36; unteres oberes Apt.
5: W, O.Nr. TUB-SOU 190, L: 0,55 mm, 5a: GL; 5b: GD. 7: M, O.Nr. TUB-SOU 189, L: 0,62, GL (Exemplar dorsal beschädigt).
- Fig. 6, 9: *Platella* sp. 2; Profil Tisje, Probe Tis2; Campan.
6: WGL, O.Nr. TUB-SOO 278, L: 0,73 mm. 9: MGL, O.Nr. TUB-SOO 277, L: 0,78 mm (Exemplar abgerollt).
- Fig. 10: *Platella* sp. 1; Profil Biyo Kulule, Probe BKu19; Maastricht.
O.Nr. TUB-SOO 164, L: 0,64 mm, 10a: GL; 10b: GD.
- Fig. 11: *Platella?* cf. *zinensis* (HONIGSTEIN und ROSENFELD), 1986; Profil Biyo Kulule, Probe Nr. Bku19; Maastricht.
O.Nr. TUB-SOO 165, L: 0,64 mm, GR.
- Fig. 13, 15: *Paracypris* cf. *dubertreti* DAMOTTE und SAINT-MARC, 1972; Profil Tisje, Probe Tis2; Campan.
13: MGR, O.Nr. TUB-SOO 20, L: 0,68 mm. 15: W, O.Nr. TUB-SOO 21, L: 0,64 (Hinterende defekt), 15a: GL; 15b: GD.
- Fig. 14, 17: *Paracypris mdaouerensis* BASSOULLET und DAMOTTE, 1969; Alb.
14: M; Profil Xabaal Garure, Probe XGa61a, O.Nr. TUB-SOU 132, L: 0,82 mm, 14a: GR; 14b: GD. 17: W, Profil Las Koreh, Probe LKo14, O.Nr. TUB-SOU 135, L: 0,72 mm, 17a: GL; 17b: GD.
- Fig. 16: *Keijicyoidea* aff. *antekeiji* GUERNET, BIGNOT, COLIN und RANDRIAMANANTENASOA, 2001; Profil Tisje, Probe Tis37; unteres Paleozän.
O.Nr. TUB-SOO-265, L: 0,59 mm, 16a: GR; 16b: GD (Exemplar vor Hinterende verdrückt).

Tafel 29

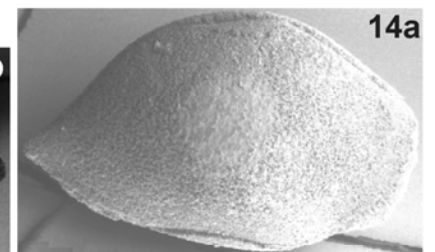
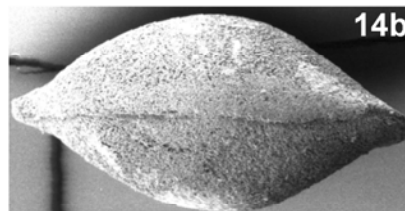
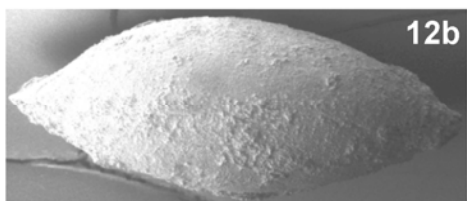
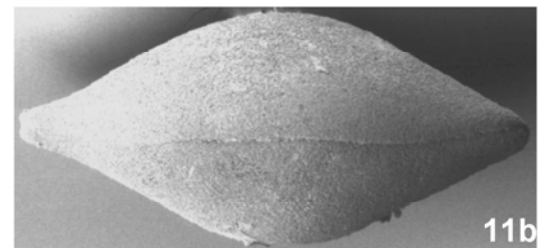
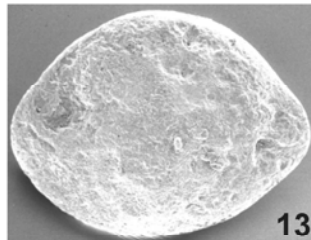
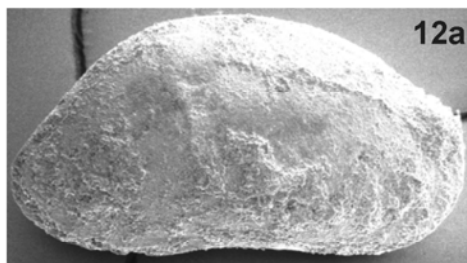
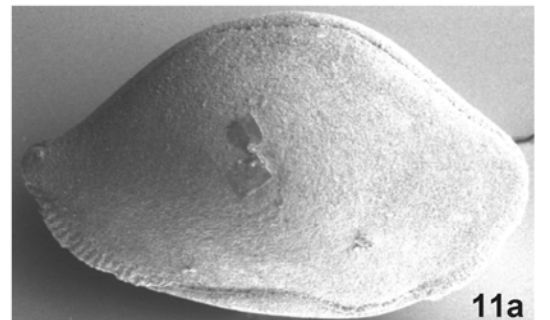
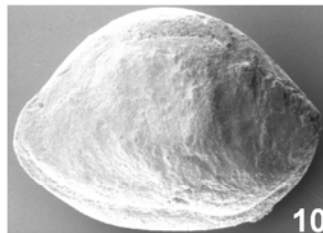
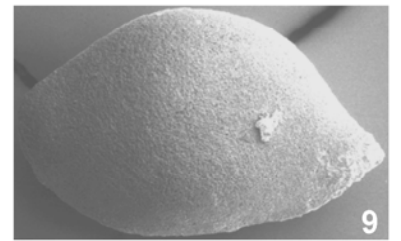
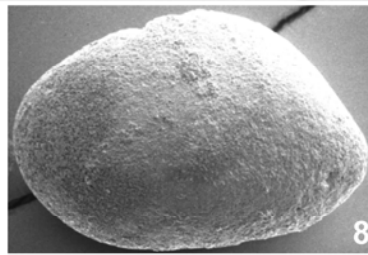
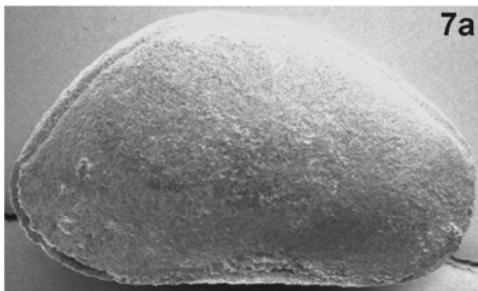
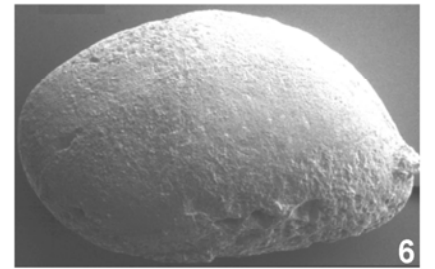
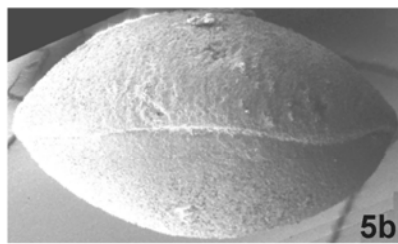
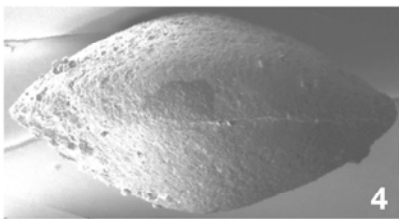
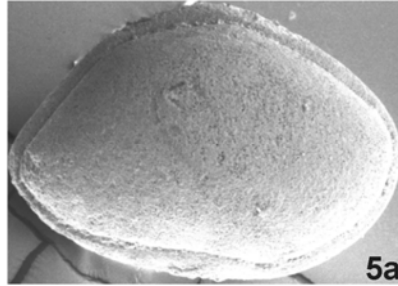
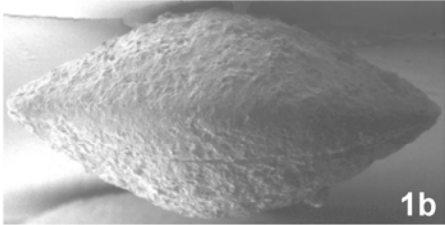
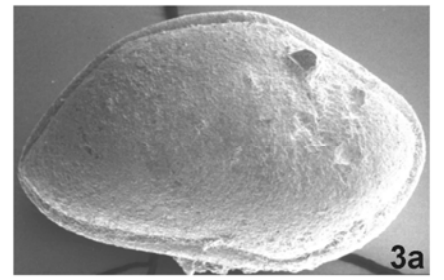
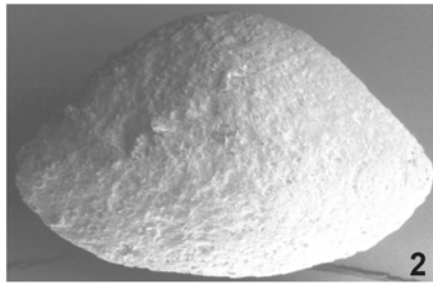
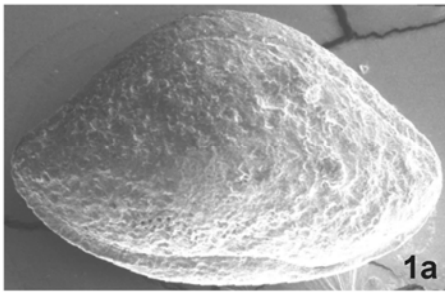


Tafel 30

Alle Objekte ca. 40x, Nordsomalia.

- Fig. 1, 2, 4: *Bairdia* IR C 19 GROSDIDIER, 1973; Profil Tisje, Probe Tis2; Campan.
 1: O.Nr. TUB-SOO 194, L: 1,43 mm, 1a: GR; 1b: GD. 2: O.Nr. TUB-SOO 193, L: 1,4 mm, GL. 4: O.Nr. TUB-SOO 192, L: 1,29 mm, GD (diese Wiederholung der Dorsalansicht soll den extrem stark ausgebildeten Übergriff der LK auf die RK bei dieser Art verdeutlichen).
- Fig. 3, 5, 6, 8: *Bairdia* sp. 1; Profil Tisje; Maastricht.
 3, 6: Probe Tis13; 3: O.Nr. TUB-SOO 196, L: 1,35 mm, 3a: GR; 3b: GD. 6: O.Nr. TUB-SOO 197, L: 1,31 mm, GL.
 5, 8: Probe Tis17; 5: O.Nr. TUB-SOO 202, L: 1,28 mm, 5a: GR; 5b: GD. 8: O.Nr. TUB-SOO 203, L: 1,18 mm, GL.
- Fig. 7, 12: *Bairdia?* sp.; Maastricht.
 7: Profil Tisje, Probe Tis17, O.Nr. TUB-SOO 205, L: 1,55 mm, 7a: GR; 7b: GL.
 12: Profil Biyo Kulule, Probe BKu19, O.Nr. TUB-SOO 206, L: 1,50 mm, 12a: GR; 12b: GD.
- Fig. 9, 11, 14: *Bairdopillata?* sp.; Profil Tisje, Probe Tis17; Maastricht.
 9: O.Nr. TUB-SOO 200, L: 1,21 mm, GL. 11: O.Nr. TUB-SOO 201, L: 1,70 mm, 11a: GR; 11b: GD. 14: O.Nr. TUB-SOO 198, L: 1,32 mm, 14a: GR; 14b: GD.
- Fig. 10, 13: *Bairdia* cf. IR B 35 GROSDIDIER, 1973; Profil Togga Mareer, Probe TGM22; höheres Alb.
 10: O.Nr. TUB-SOU 186, L: 1,04 mm, GR. 13: O.Nr. TUB-SOU 185, L: 0,98 mm, LK.

Tafel 30



Tafel 31

Alle Objekte ca. 60x, Nordsomalia.

Fig. 1: *Bythocypris* sp. A; Profil Tisje, Probe Tis 17; Maastricht.
O.Nr. TUB-SOO 137, L: 1,17 mm, 1a: GR; 1b: GD.

Fig. 2: „*Bythocypris*“? sp.; Profil Tisje, Probe Tis13; Maastricht.
O.Nr. TUB-SOO 136, L: 1,60 mm. 2a: GR; 2b: GD.

Fig. 3: *Bythocypris* sp. aff. *B. sp. 2* ROSENFELD und RAAB 1974; Profil Xabaal Garure,
Probe XGa40; unteres oberes Apt.
O.Nr. TUB-SOU 122, L: 0,50 mm, 3a: GR, 3b: GD.

Fig. 4: *Bythocypris*? aff. *symmetrica* MAJORAN, 1989; Profil Xabaal Garure, Probe
XGa63a; unteres Alb.
O.Nr. TUB-SOU 120, L: 1,00 mm, 4a: GR; 4b: GD.

Fig. 5, 6: *Eucypris*? sp.; Profil Xabaal Garure, Probe S8873J; basales unteres Apt
(„somalischer Wealden“).
5: GL, O.Nr. TUB-SOU 263x, L: 0,45 mm. 6: O.Nr. TUB-SOU 264, L: 0,51 mm, 6a:
GR; 6b: GD.

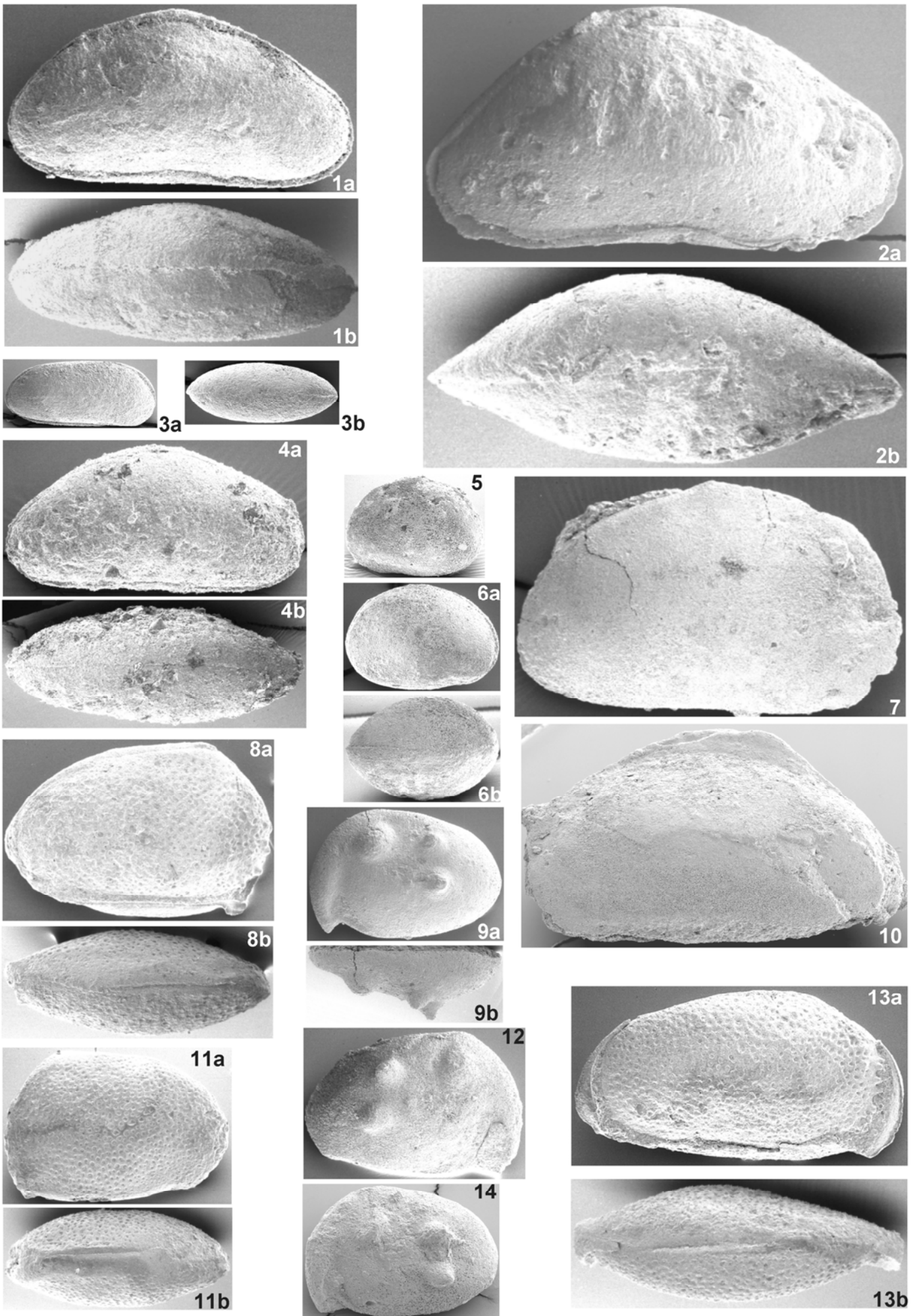
Fig. 7, 10: *Pinnocypridea* sp.; Profil Xabaal Garure, Probe S8873J; basales unteres Apt
(„somalischer Wealden“).
7: RK, O.Nr. TUB-SOU 257; L: 1,29 mm. 10: LK, O.Nr. TUB-SOU 268x, L: 1,27 mm.

Fig. 8, 11: *Cypridea* sp. LUGER und SCHUDACK, 2001; Profil Dhadhabo, ProbeDha0;
basales unteres Apt („somalischer Wealden“).
8: O.Nr. TUB-SOU 178, L: 0,89 mm, 8a: GR; 8b: GD. 11: O.Nr. TUB-SOU 179, L:
0,75 mm, 11a: GL; 11b: GD.

Fig. 9, 12, 14: *Cypridea ahlmodoensis* LUGER und SCHUDACK, 2001; Profil Xabaal
Garure, Probe S8873J; basales unteres Apt („somalischer Wealden“).
9: O.Nr. TUB-SOU 181, L: 0,64 mm, 9a: LK; 9b: LKD. 12: RK, O.Nr. TUB-SOU 182,
L: 0,73 mm. 14: O.Nr. TUB-SOU 280x, L: 0,64 mm. (Für Holotyp siehe LUGER und
SCHUDACK, 2001, Fig. 6-1).

Fig. 13: *Cypridea* aff. *aaleyensis* BISCHOFF, 1963; Profil Dhadhabo, ProbeDha0; basales
unteres Apt („somalischer Wealden“).
O.Nr. TUB-SOU 180, L: 1,11 mm, 13a: GR; 13B: GD.

Tafel 31

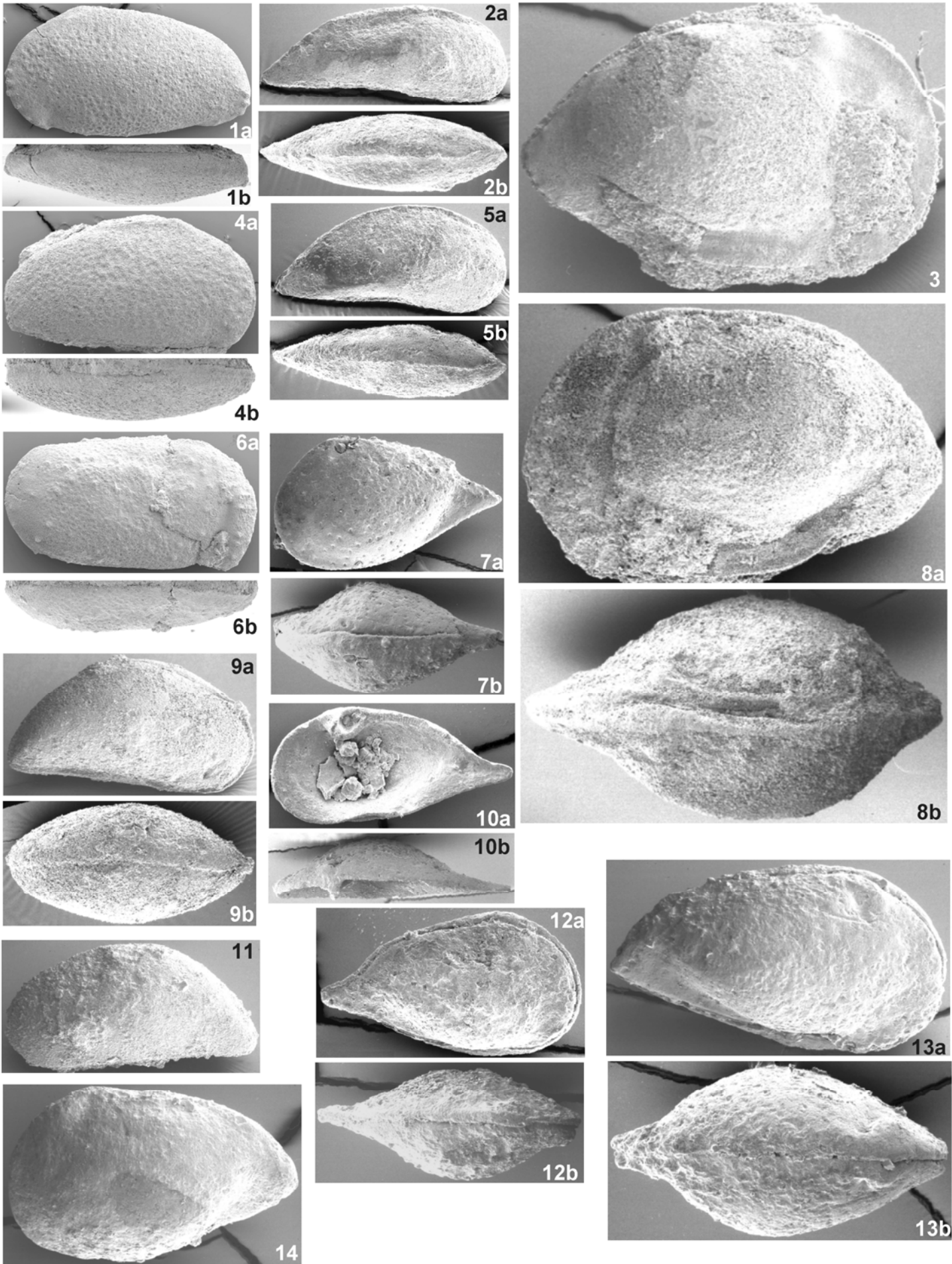


Tafel 32

Alle Objekte ca. 60x, Nordsomalia.

- Fig. 1, 4 : *Cypridea garurensis* LUGER und SCHUDACK, 2001; Profil Xabaal Garure, Probe S8873J; basales unteres Apt („somalischer Wealden“).
1: O.Nr. TUB-SOU 276x (Holotyp), L: 0,81 mm, 1a: LK, 1b: LKD. 4: O.Nr. TUB-SOU 270x, L: 0,84 mm, 4a: RH; 4b: RKD.
- Fig. 2, 5: *Paracypris dubertreti* DAMOTTE und SAINT-MARC, 1972; Profil Xabaal Garure, Probe XGa41; unteres oberes Apt.
2: ?M, O.Nr. TUB-SOU 137, L: 0,82 mm, 2a: GR; 2b: GD. 5: ?W, O.Nr. TUB-SOU 136, L: 0,77 mm, 5a: GR; 5b: GD.
- Fig. 3, 8: „*Brachycythere*“ *undosa* AL-FURAIH, 1985; Profile Tisje, Probe Tis17; Maastricht.
3: GR, O.Nr. TUB-SOO 145, L: 1,41 mm. 8: O.Nr. TUB-SOO 146, L: 1,41 mm, 8a: GL; 8b: GD.
- Fig. 6: *Cypridea* cf. *boulmanensis* ANDREU-BOUSSUT, 1991; Profil Xabaal Garure, Probe S8873J; Basales unteres Apt („somalischer Wealden“).
O.Nr. TUB-SOU 272x, L: 0,83 mm, 6a: RK; 6b: RKD.
- Fig. 7, 10, 12: „*Brachycythere*“ *reymonti* EMAMI; Profil Tisje, Probe Tis2; Campan.
7: W (Exemplar posterodorsal beschädigt), O.Nr. TUB-SOO 70, L: 0,76 mm, 7a: GL; 7b: GD. 10, 12: MM. 10: O.Nr. TUB-SOO 71, L: 0,80 mm, 10a: RKI; 10b: RKD. 12: O.Nr. TUB-SOO 69, L: 0,87 mm, 12: GR; 12b: GD.
- Fig. 9, 11: *Paracypris?* sp., Profil Xabaal Garure, Proben XGa75; oberes Alb.
9: O.Nr. TUB-SOU 128, L: 0,82 mm, 9a: GR; 9b: GD. 11: GL, O.Nr. TUB-SOU 129, L: 0,84 mm.
- Fig. 13, 14: „*Brachycythere*“ *tumida* AL FURAIH 1985; Profil Tisje, Probe Tis2; Campan.
13: M, O.Nr. TUB-SOO 65, L: 1,12 mm, 13a: GR, 13b: GD. 14: WGL, O.Nr. TUB-SOO 64, L: 0,98 mm.

Tafel 32

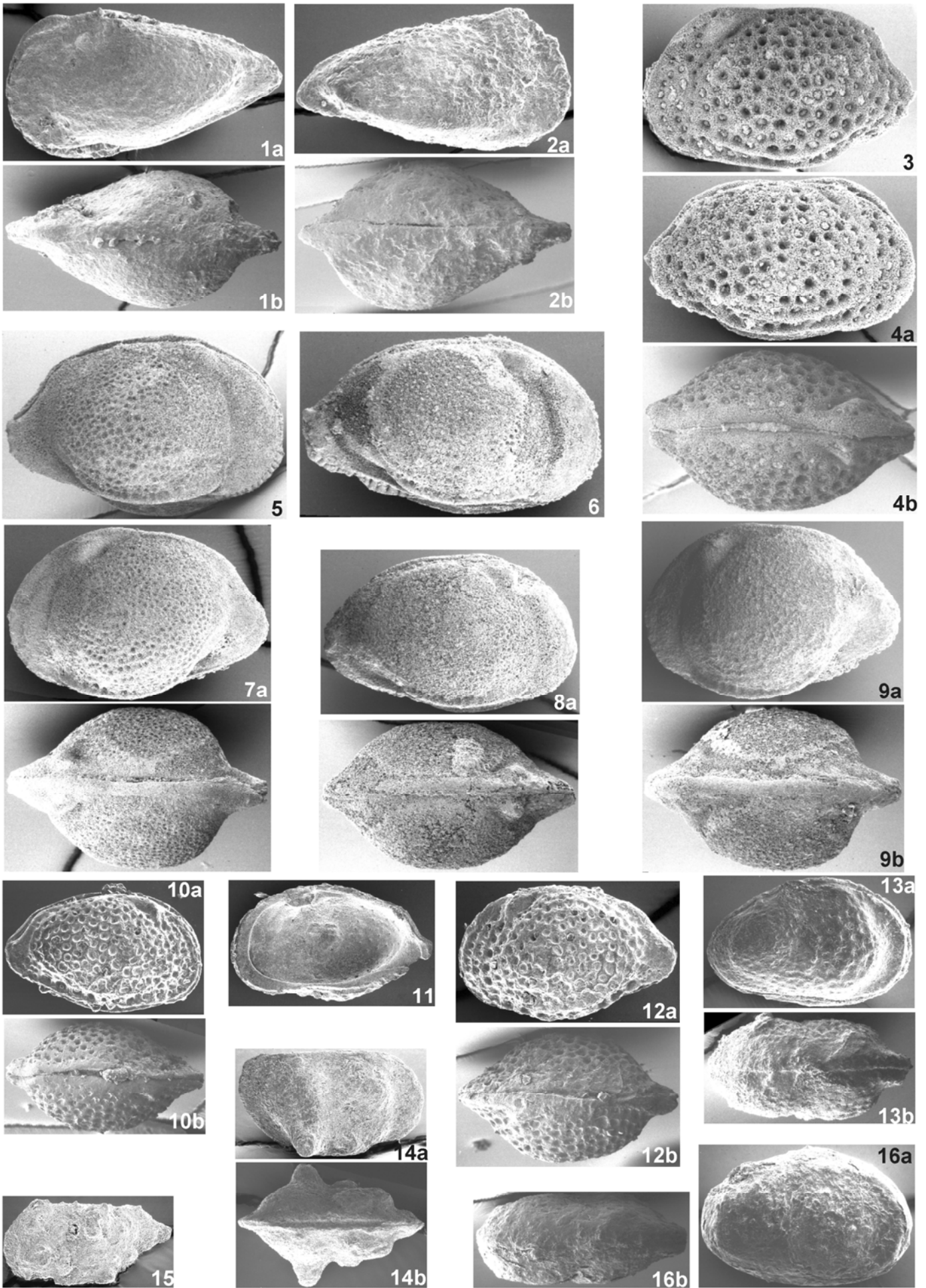


Tafel 33

Fig. 1-9 ca. 50x, Fig. 10-12 ca. 60x, Fig. 13-16 ca. 80x, Nordsomalia.

- Fig. 1, 2: ?"Brachycytheridae gen indet" *inversoalva* n.sp.; Profil Tisje, Probe Tis2; Campan.
 1: Holotyp, ?M, O.Nr. TUB-SOO 67, L: 1,10mm, 1a; GL; 1b: GD. 2: ?W, O.Nr. TUB-SOO 66, L: 1,09 mm, 2a: GR; 2b: GD (Exemplar anterodorsal beschädigt).
- Fig. 3, 4: *Kaesleria bilirata* (AL-FURAIH) 1980; Profil Biyo Kulule, Probe BKu19; Maastricht.
 3: GL, O.Nr. TUB-SOO 148, L: 1,07 mm. 4: O.Nr. TUB-SOO 147, L: 1,07 mm, 4a: GR; 4b: GD.
- Fig. 5-9: *Kaesleria trahea* (AL-FURAIH) 1980; Maastricht.
 5-7: Profil Biyo Kulule, Probe BKu19. 5, 7: WW; 5: WGR, O.Nr. TUB-SOO 139, L: 1,11 mm. 7: O.Nr. TUB-SOO 140, L: 1,04 mm, 7a: GL; 7b: GD. 6: MGR, O.Nr. TUB-SOO 141, L: 1,19 mm.
 8, 9: Profil Tisje, Probe Tis17; 8: M, O.Nr. TUB-SOO 142, L: 1,01 mm, 8a: GR; 8b: GD. 9: W, O.Nr. TUB-SOO 143, L: 1,02 mm, 9a: GL; 9b: GD..
- Fig. 10-12: *Kaesleria* sp.; Profil Tisje, Probe Tis2; Campan.
 10, 11: MM? oder A-1; 10: O.Nr. TUB-SOO 99, L: 0,65 mm, 10a: GR; 10b: GD. 11: RKI (Hinterende defekt), L: 0,66 mm. 12: W?, O.Nr. TUB-SOO 100, L: 0,72 mm, 12a: GL; 12b: GR.
- Fig. 13, 16: *Schaubiana eopaleocenica* n.sp.; Profil Tisje, Probe Tis37; unteres Paleozän.
 13: Holotyp, W?, O.Nr. TUB-SOO 267, L: 0,51 mm, 13a: GR; 13b: GD. 16: M?, O.Nr. TUB-SOO 268, L: 0,52 mm, 16a: GR; 16b: GD.
- Fig. 14: *Bythoceratina* sp. A; Profil Las Koreh, Probe LKo14; Alb.
 O.Nr. TUB-SOU 127, L: 0,45 mm, 14a: GR; 14b: GD.
- Fig. 15: „*Bythoceratina*“? sp.; Profil Xabaal Garure. Probe XGa67; Alb.
 LK, O.Nr. TUB-SOU 125, L: 0,41 mm.

Tafel 33



Tafel 34

Alle Objekte ca. 80x, Nordsomalia.

Fig. 1-4: *Bythoceratina kallenbachi* n.sp.; unteres oberes Apt.

1: Profil Xabaal Garure, Probe XGa36. Holotyp, O.Nr. TUB-SOU 126, L: 0,56 mm, 1a: GR; 1b: GD.

2-4: Profil Dhadhabo. 2, 4: Probe Dha25. 2: O.Nr. TUB-SOU 123, L: 0,60 mm, 2a: GL; 2b: GD. 4: O.Nr. TUB-SOU 124, L: 0,59 mm, 4a LKI; 4b: LKI: Detail Schloss vorne, ca. 220x.

3: Probe Dha26. Juv, O.Nr. TUB-SOU 187, L: 0,43 mm, 3a: GL; 3b: GD.

Fig. 5, 9: *Bythoceratina* sp. B; Profil Tisje.

5: Maastricht; Probe Tis17. O.Nr. TUB-SOU 267, L: 0,53 mm, 5a: GR; 5b: GD.

9: Campan; Probe Tis2. GL, O.Nr. TUB-SOU 86, L: 0,60 mm.

Fig. 6: *Monoceratina?* sp. VIVIERE, 1985; Profil Manna'a, Probe Man68; unteres Cenoman.

O.Nr. TUB-SOU 294, L: 0,56 mm, 6a: GL; 6b: GD (Exemplar dorsal beschädigt).

Fig. 7, 8: „*Monoceratina?*“ sp.; Profil Xabaal Garure, Probe XGa61a; (tieferes) Alb.

7: ?M, O.Nr. TUB-SOU 250, L: 0,51 mm, 7a: GR; 7b: GD (Exemplar anterodorsal eingedrückt). 8: ?W GR, O.Nr. TUB-SOU 249, L: 0,46 mm.

Fig. 10, 11, 14, 15: *Rostrocytheridea?* sp. aff. *R. chapmani* DINGLE, 1969; Profil Xabaal Garure, Probe XGa41; unteres oberes Apt.

10, 14: WW. 10: RK, O.Nr. TUB-SOU 117, L: 0,50 mm. 14: O.Nr. TUB-SOU 116, L: 0,55 mm, 14a: GL; 14b: GD. 11, 15: MM. 11: RK, O.Nr. TUB-SOU 118, L: 0,62 mm. 15: O.Nr. TUB-SOU 119, L: 0,61 mm, 15a: GL; 15b: GD (Exemplar dorsal beschädigt).

Fig. 12, 13, 16, 17, 20, 21: *Schuleridea btaterensis btaterensis* BISCHOFF, 1990; Profil Xabaal Garure; unteres Alb.

12, 15, 17, 20, 21: Probe XGa61a. 12, 16, 17: WW. 12: GL, O.Nr. TUB-SOU 96, L: 0,46 mm. 16: O.Nr. TUB-SOU 95, L: 0,49 mm, 16a: GR; 16b: GD. 17: LKI, O.Nr. TUB-SOU 241, L: 0,43 mm. 20, 21: MM. 20: GL, O.Nr. TUB-SOU 242x, L: 0,56 mm. 21: GR, O.Nr. TUB-SOU 97, L: 0,56 mm.

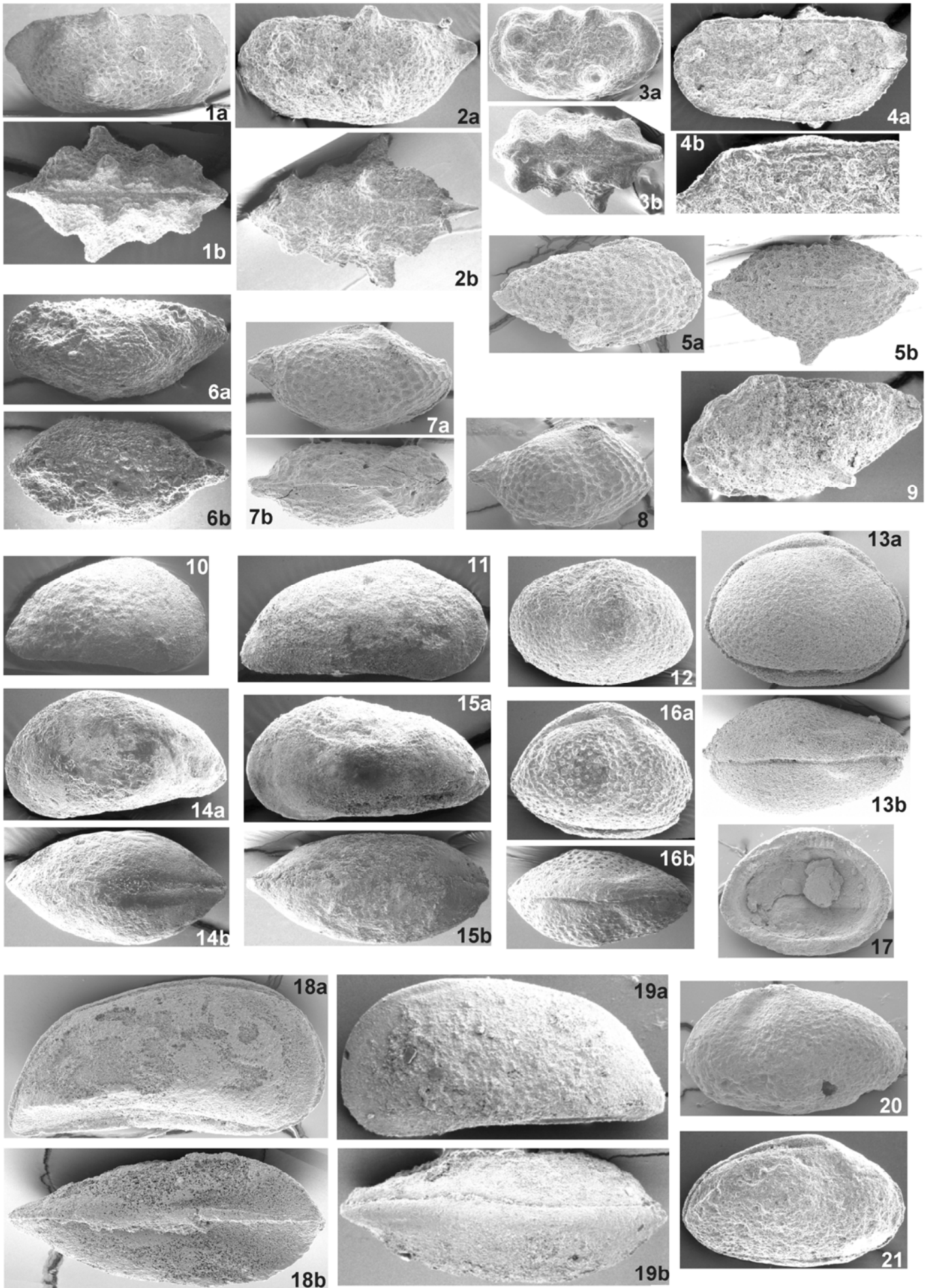
13: Probe XGa60a. W, O.Nr. TUB-SOU 245x, L: 0,51 mm, 13a: GR; 13b: GD.

Fig. 18, 19: „*Rostrocytheridea?*“ sp; Maastricht.

18: Profil Tisje, Probe Tis17. O.Nr. TUB-SOU 267x, L: 0,80 mm, 18 a: GR; 18b: GV.

19: Profil Biyo Kulule, Probe BKu19. O.Nr. TUB-SOU 18, L: 0,82mm, 19a: GL; 19b: GD.

Tafel 34

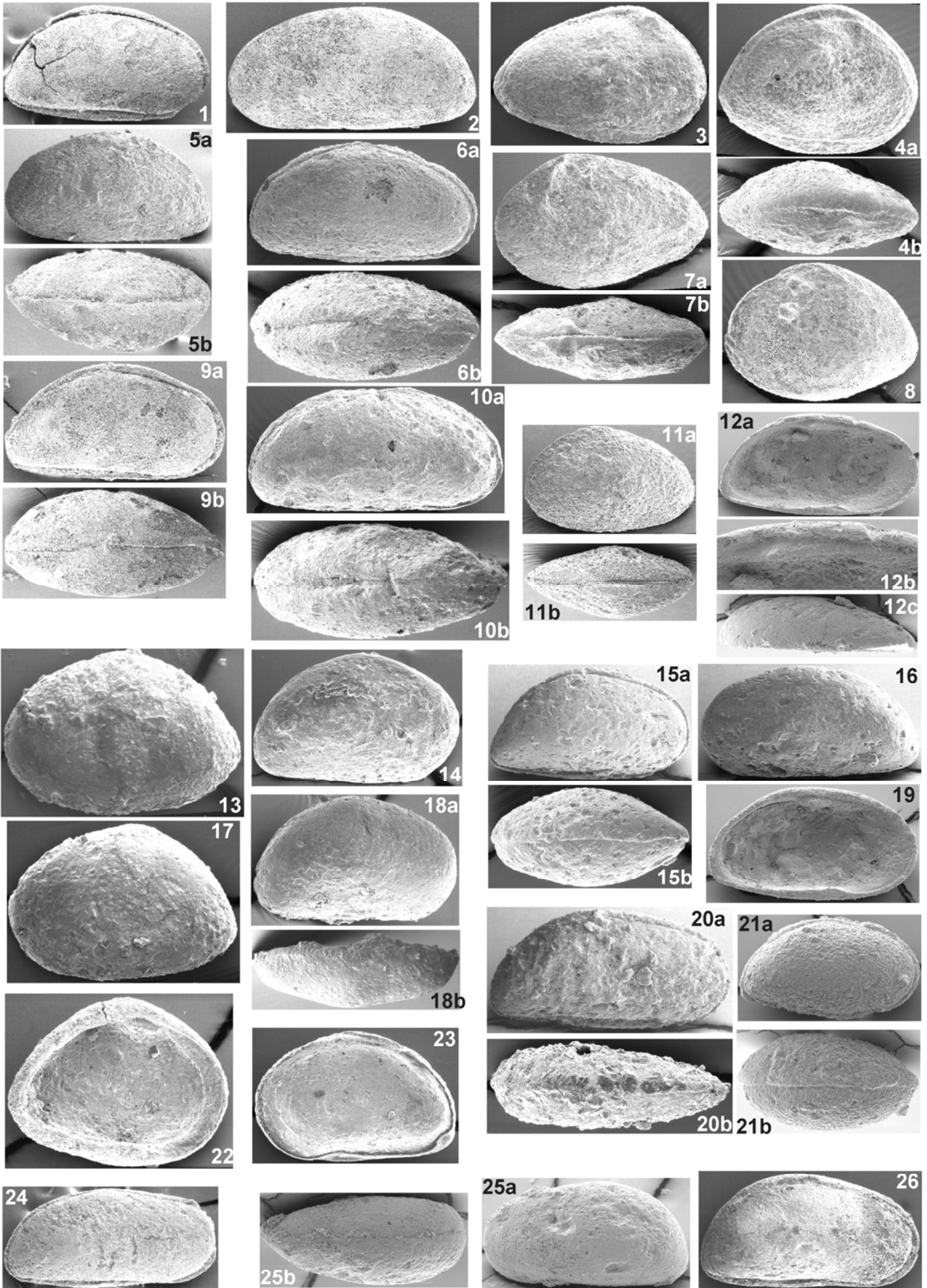


Tafel 35

Alle Objekte ca. 60x, Nordsomalia.

- Fig. 1, 2, 5, 9: "*Dolococytheridea*"? sp. aff. *D. atlasica* BASSOULLET und DAMOTTE, 1969.
 1, 5: Profil Tisje. 1: Probe Nr. Tis2; Campan. GR, O.Nr. TUB-SOO 21, L: 0,68 mm.
 5: Probe Nr. Tis17; Maastricht. O.Nr. TUB-SOO 23, L: 0,68 mm, 5a: GL; 5b: GD.
 2, 9: Profil Biyo Kulule, Probe Nr. BKu19; Maastricht. 2: GL, O.Nr. TUB-SOO 4, L:
 0,82 mm. 9: O.Nr. TUB-SOO 5, L: 0,73 mm, 9a: GR; 9b: GD.
- Fig. 3, 4, 7, 8: *Schuleridea btaterensis laskorehensis* n.ssp.; Profil Las Koreh, Probe Nr.
 LKo9; unteres Alb.
 3, 7: MM. 3: Holotyp, GR, O.Nr. TUB-SOU 94, L: 0,71 mm. 7: O.Nr. TUB-SOU 93, L:
 0,72 mm, 7a: GL; 7b: GD. 4, 8: WW, 4: O.Nr. TUB-SOU 91, L: 0,67 mm, 4a: GR; 4b:
 GD. 8: GL, O.Nr. TUB-SOU 92, L: 0,64 mm.
- Fig.: 6, 10: *Dolococytheridea*? sp.; Profil Xabaal Garure, Probe XGa61a; unteres Alb.
 6: ??W, O.Nr. TUB-SOU 114, L: 0,76 mm, 6a: GR; 6b: GD. 10: ??M, O.Nr. TUB-
 SOU 115, L: 0,85 mm, 10a: GR; 10b: GD (Exemplar dorsal beschädigt).
- Fig. 11: *Schuleridea btaterensis btaterensis* BISCHOFF, 1990; Profil Xabaal Garure,
 Probe XGa61a; unteres Alb.
 M, O.Nr. TUB-SOU 98, L: 0,56 mm, 11a: GL; 11b: GD.
- Fig. 12, 15, 16, 19, 20, 21: *Somalikrithe* Gen. nov. *alikassimi* n.sp.
 12, 15, 16, 20: Profil Xabaal Garure, Probe Nr. XGa96; mittleres Cenoman. 12, 20:
 MM: 12: Holotyp, LK, O.Nr. TUB-SOU 263x, L: 0,68 mm, 12a: MLKI; 12b: Detail
 Schloss (ca. 200x); 12c: MLKD. 20: O.Nr. TUB-SOU 111, L: 0,80 mm, 20a: GR; 20b:
 GD. 15, 16: WW. 15: O.Nr. TUB-SOU 102, L: 0,66 mm, 15a: GR; 15b: GD. 16: GL,
 O.Nr. TUB-SOU 110, L: 0,72 mm.
 19, 21: Profil Manna'a, Probe Man68; unteres Cenoman. 19: WLKI, O.Nr. TUB-SOU
 257x, L: 0,70 mm. 21: Juv., O.Nr. TUB-SOU 259x, L: 0,60 mm, 21a: GR; 21b: GD.
- Fig. 13, 14, 17, 18, 22, 23: *Ovococytheridea*? sp.; Profil Tisje, Probe Tis2; Campan.
 13, 17: LK. 13: O.Nr. TUB-SOU 87, L: 0,79 mm. 17: O.Nr. TUB-SOU 88, L: 0,76
 mm. 22: LKI, O.Nr. TUB-SOU 89, L: 0,75 mm. 14, 18, 23: RK. 14: O.Nr. TUB-SOU
 92, L: 0,70 mm. 18: TUB-SOU 91, L: 0,68 mm, 18a: RK, 1b: RKD. 23: RKI, TUB-
 SOU 90, L: 0,67 mm.
- Fig.: 24-26: ?*Somalikrithe* cf. *alikassimi* n.sp.; Profil Tisje, Probe Tis13; Maastricht.
 24: MGL, O.Nr. TUB-SOO 2, L: 0,71 mm. 25, 26: WW. 25: O.Nr. TUB-SOO 305, L:
 0,68 mm, 25a: GL; 25b: GD. 26: GR, O.Nr. TUB-SOO 1, L: 0,73 mm.

Tafel 35

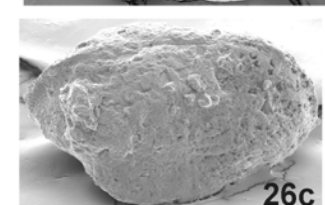
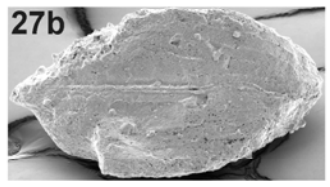
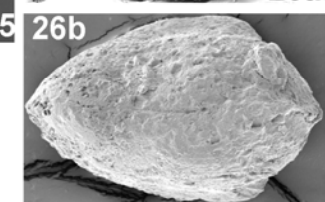
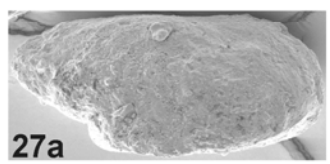
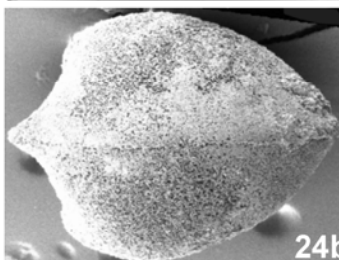
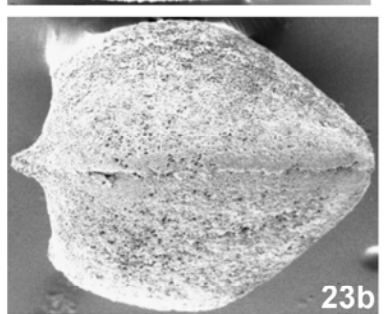
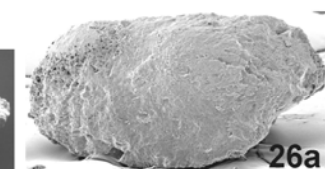
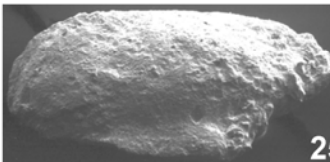
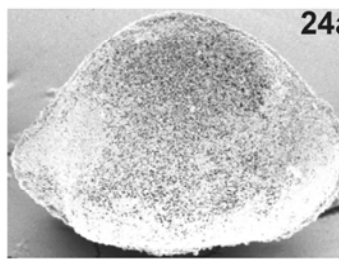
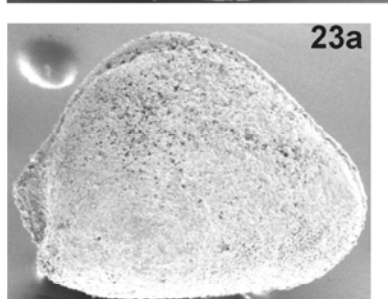
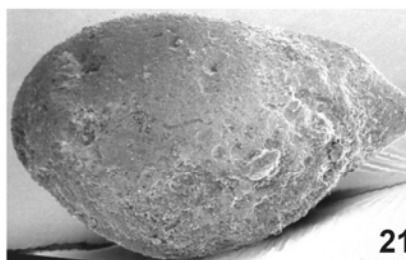
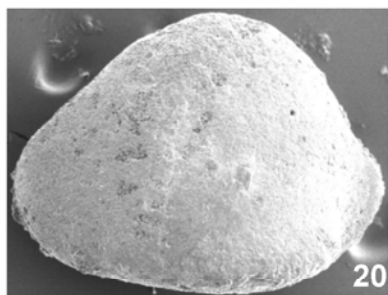
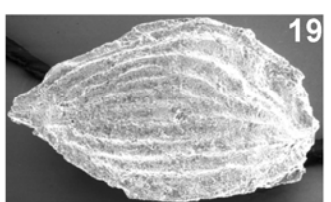
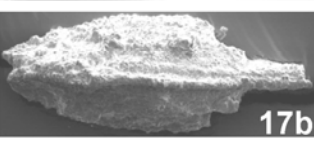
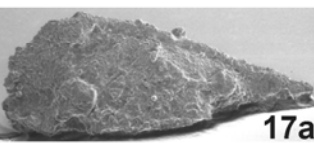
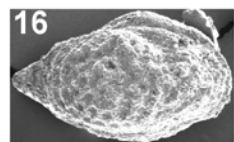
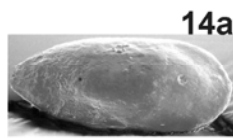
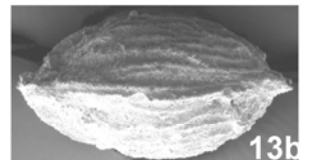
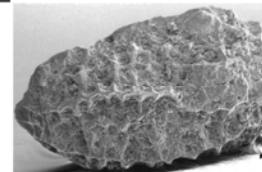
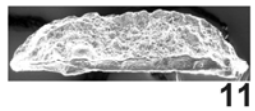
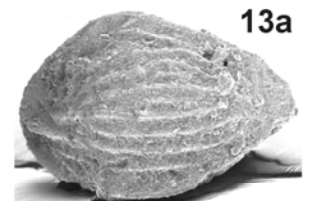
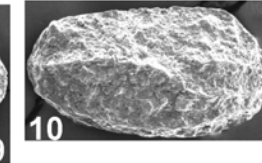
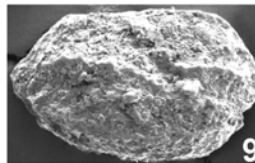
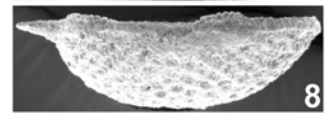
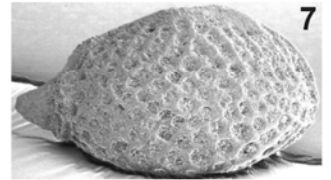
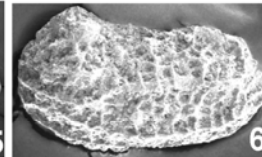
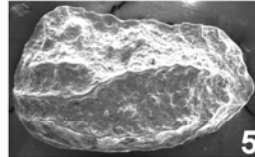
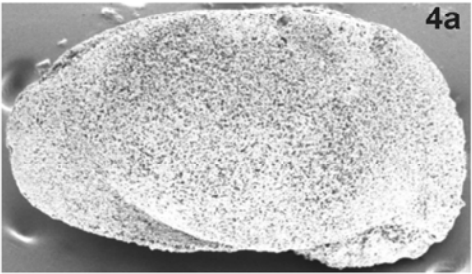
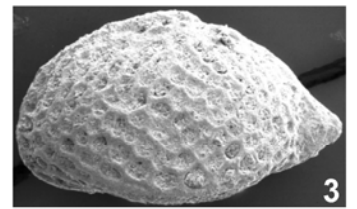
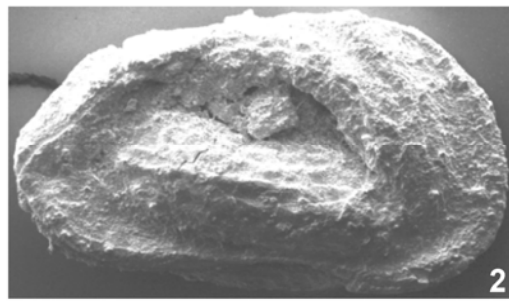
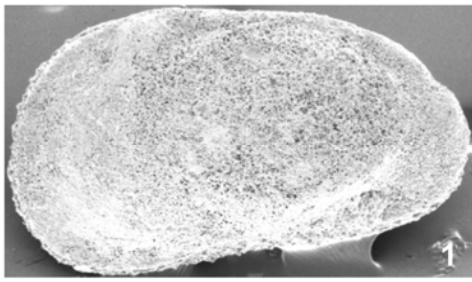


Tafel 36

Alle Objekte ca. 80x, Nordsomalia.

- Fig. 1, 4: *Nucleolina diluta* AL-FURAIH, 1980; Profil Biyo Kulule, Probe BKu19; Maastricht.
1: GL, O.Nr. TUB-SOO 10, L: 0,76 mm. 4: O.Nr. TUB-SOO 9, L: 0,75 mm, 4a: GR; 4b: GD.
- Fig.2: *Nucleolina* cf. *diluta* AL-FURAIH, 1980; Profil Tisje, Probe Nr. Tis37; unteres Paleozän.
GR (verdrückt); O.Nr. TUB-SOO 256, L: 0,82 mm.
- Fig. 3, 7, 8: *Eocytheropteron anteretroversicardium* ANDREU, 1991; Profil Xabaal Garure, Probe XGa37; unteres oberes Apt.
3: LK, O.Nr. TUB-SOU 171, L: 0,53 mm. 7, 8: O.Nr. TUB-SOU 173, L: 0,49 mm. 7: RK; 8: RKD.
- Fig. 5, 6, 9-12: *Acrocythere grosdidieri* n.sp.; Profil Dhadhabo; unteres oberes Apt.
5, 9, 10, 11: Probe Dha26. 5, 9, 11: WW. 5: Holotyp, LK, O.Nr. TUB-SOU 280, L: 0,39 mm.
9: RK, O.Nr. TUB-SOU 279, L: 0,41 mm. 11: RKD, O.Nr. TUB-SOU 138, L: 0,382 mm. 10: MRK, O.Nr. TUB-SOU 278, L: 0,40 m.
6, 12: Probe Dha25. MM. 6: LK, O.Nr. TUB-SOU 277, L: 0,42 mm. 12: RK (leicht verkippte Ansicht); O.Nr. TUB-SOU 140, L: 0,45 mm.
- Fig. 13, 19, 22: *Metacytheropteron berbericum* (BASSOULLET und DAMOTTE, 1969); Profil Xabaal Garure, Probe XGa101; mittleres Cenoman.
13, 19: WW. 13: O.Nr. TUB-SOU 158, L: 0,46 mm, 13a: GL (leicht verkippt); 13b: GD. 19: GR, O.Nr. TUB-SOU 157, L: 0,51 mm. 22: MGR, O.Nr. TUB-SOU 159, L: 0,53mm.
- Fig. 14, 15: *Procytherura?* sp. 2 ANDREU, 1991; Profil Dhadhabo, Probe Dha26; unteres oberes Apt.
14: O.Nr. TUB-SOU 148, L: 0,36 mm, 14: GR; 14b: GD. 15: O.Nr. TUB-SOU 149, L: 0,35 mm, 15a: GR; 15b: GD.
- Fig. 16: „*Eocytheropteron*“ cf. *E. pecteniferum* SZECHURA, ABD-ELSHAFY und BABINOT, 1991; Profil Manna'a, Probe Man68; unteres Cenoman.
GR, O.Nr. TUB-SOU 295, L: 0,34 mm.
- Fig. 17: *Paracytheridea?* sp.; Profil Manna'a, Probe Man68; unteres Cenoman.
O.Nr. TUB-SOU 150, L: 0,51 mm, 17a: GL; 17b: GD.
- Fig. 18: *Eocytheropteron* aff. *glintzboeckeli* DONZE und LEFEVRE, 1981; Profil Xabaal Garure, Probe XGa90a; oberstes Alb.
LK, O.Nr. TUB-SOU 243, L: 0,43 mm.
- Fig. 20, 23, 24: „*Eocytheropteron*“? *beydouni* n.sp.; Profil Biyo Kulule, Probe BKu19; Maastricht.
20: GL, O.Nr. TUB-SOO 16, L: 0,62 mm. 23: Holotyp, O.Nr. TUB-SOO 15, L: 0,59 mm, 23a: GR; 23b: GD. 24: O.Nr. TUB-SOO 17, L: 0,55 mm, 24a: GR; 24b: GD.
- Fig. 21: *Eocytheropteron* sp.; Profil Las Koreh, Probe LKo14; Alb.
LK, O.Nr. TUB-SOU 174, L: 0,66 mm.
- Fig. 25-27: „*Tanzanicythere*“? sp.; Profil Tisje, Probe Tis2; Campan.
25, 27: MM. 25: GL, O.Nr. TUB-SOO 279, L: 0,54 mm. 27: O.Nr. TUB-SOO 303, L: 0,51 mm, 27a: GR; 27b: GV. 26: W, O.Nr. TUB-SOO 304, L: 0,43 mm, 27a: GL; 27b: GD; 27c: GR (verkippt).

Tafel 36

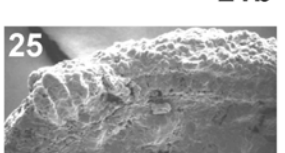
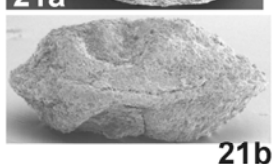
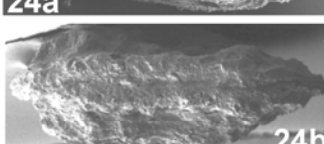
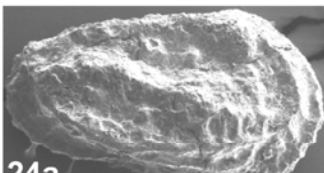
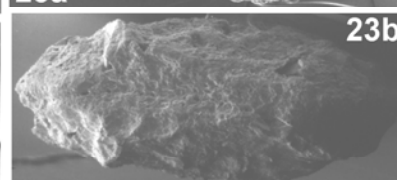
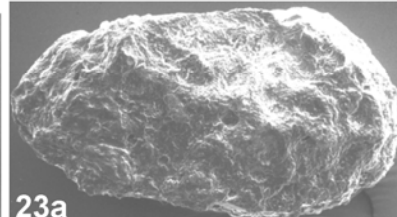
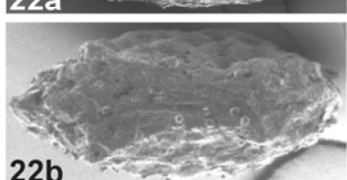
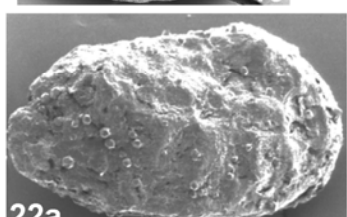
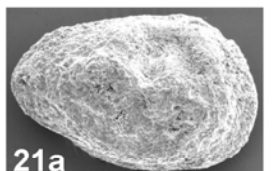
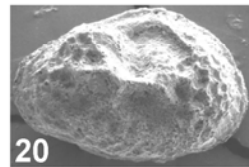
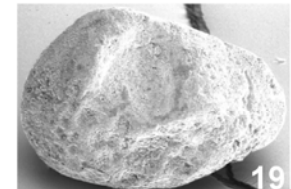
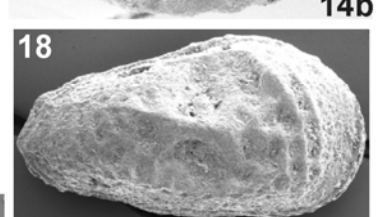
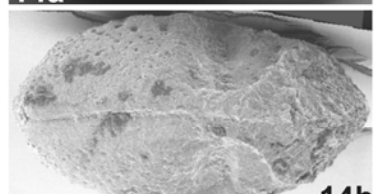
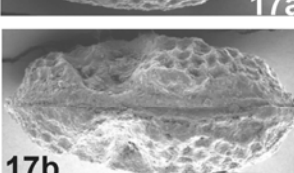
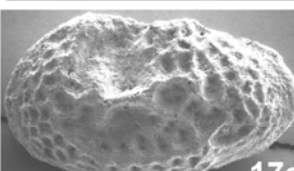
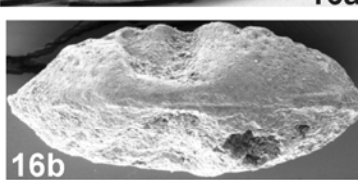
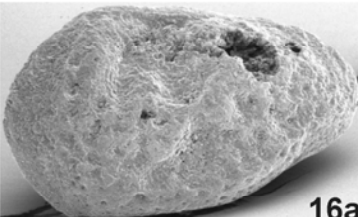
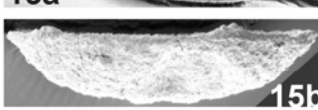
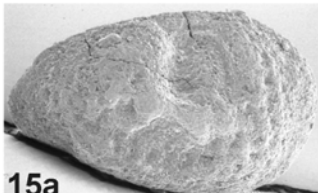
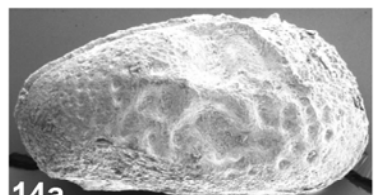
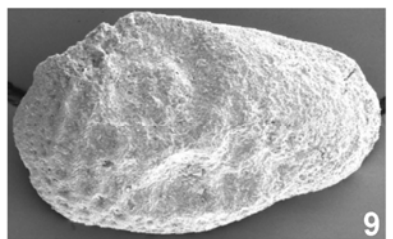
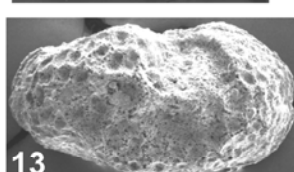
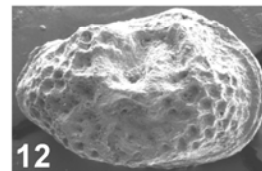
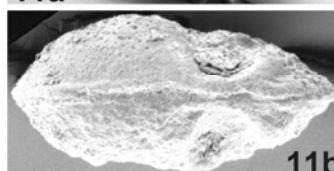
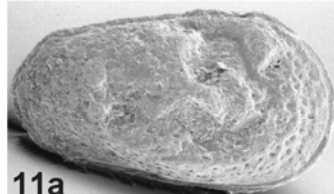
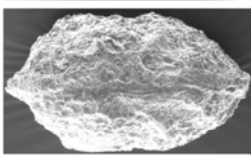
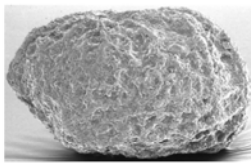
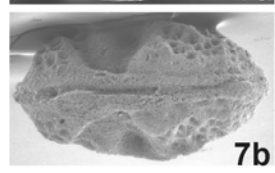
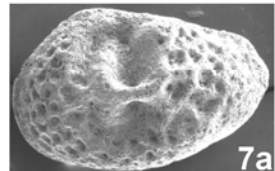
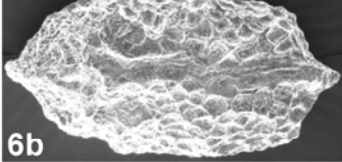
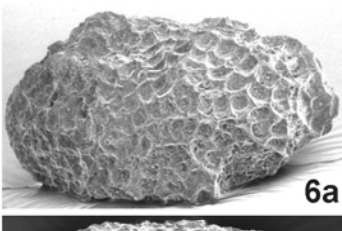
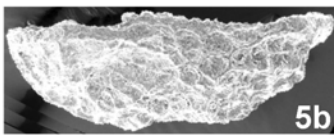
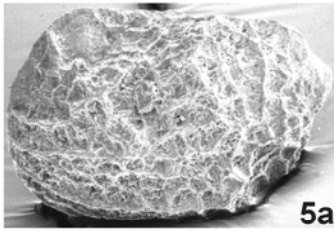
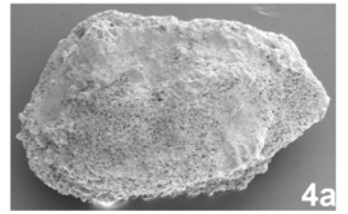
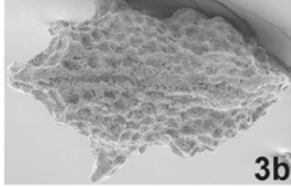
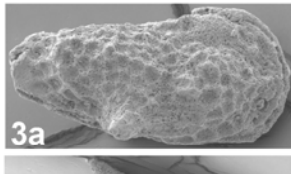
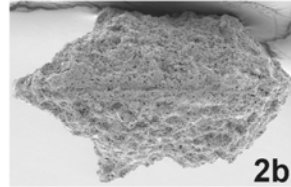
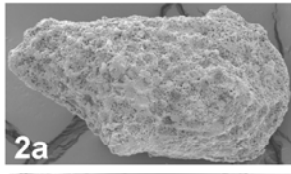
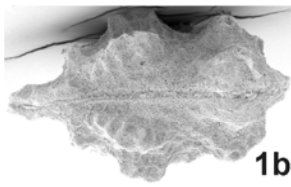


Tafel 37

Alle Objekte ca. 80x, Nordsomalia.

- Fig. 1: *Hemiparacytheridea?* sp.; Profil Xabaal Garure, Probe XGa60b; unteres Alb. O.Nr. TUB-SOU 285x, L: 0,45 mm, 1a: GR; 1b: GD.
- Fig. 2, 3: *Tuberoocytheridea* sp.; Profil Tisje, Probe Tis17; Maastricht.
2: ?W, O.Nr. TUB-SOO 312, L: 0,46 mm, 2a: GR; 2b: GD. 3: ?M, O.Nr. TUB-SOO 313, L: 0,46 mm, 3a: GR; 3b: GD.
- Fig. 4, 8: *Amphicytherura (Sondagella) antiqua* ROSENFELD und RAAB, 1984; Profil Togga Mareer, Probe TgM22; oberes Alb.
4: O.Nr. TUB-SOU 23, L: 0,52 mm, 4a: GL; 4b: GD. 8: GD, O.Nr. TUB-SOU 22, L: 0,51 mm
- Fig. 5, 6, 10: „*Schizocythere*“ sp.
5, 6: Profil Togga Mareer, Probe TgM22; oberes Alb. 5: ?W, O.Nr. TUB-SOU 142, L: 0,53 mm, 5a: LK; 5b: LKD. 6: ?M, O.Nr. TUB-SOU 143, L: 0,56 mm, 6a: GL; 6b: GD.
10: Profil Manna'a, Probe Man68; unteres Cenoman. ?W/?Juv., O.Nr. TUB-SOU 144. L: 0,48 mm, 10a: GR; 10b: GD.
- Fig. 7, 9-21: *Antepaijenborchella arushi* n.sp.; unteres Alb.
7, 12, 13, 17, 20: MTA. Profil Xabaal Garure, Probe XGa61a. 7, 12: WW. 7: Holotyp, O.Nr. TUB-SOU 284, L: 0,42 mm, 7a: GL; 7b: GD. 12: GR, O.Nr. TUB-SOU 283, L: 0,41 mm. 13, 17: MM. 13: GR, O.Nr. TUB-SOU 287, L: 0,47 mm (Exemplar centrodorsal leicht beschädigt). 17: O.Nr. TUB-SOU 286, L: 0,48 mm, 17a: GL; 17b: GD. 20: JGR, O.Nr. TUB-SOU 285, L: 0,38 mm.
11, 15, 16, 19, 21: MTB. Profil Las Koreh, Probe LKo9. 11: M, O.Nr. TUB-SOU 11, L: 0,53 mm, 11a: GR; 11b: GD. 15, 16: WW. 15: O.Nr. TUB-SOU 9, L: 0,51 mm, 15a: RK; 15b: RKD. 16: O.Nr. TUB-SOU 10, L: 0,59 mm, 16a: GL; 16b: GD. 19, 21: Juv. 19: O.Nr. GL, TUB-SOU 13, L: 0,43 mm. 21: O.Nr. TUB-SOU 12, L: 0,41 mm, 21a: GR; 21b: GD.
9, 14, 18: MTC, Profil Las Koreh, Probe LKo9. 9, 14: WW. 9: GL, O.Nr. TUB-SOU 14, L: 0,60 mm. 14: O.Nr. TUB-SOU 15, L: 0,58 mm, 14a: GR; 14b: GD. 18: MGR, O.Nr. TUB-SOU 16, L: 0,57 mm.
- Fig. 22, 23: *Holcopocythere falsocolata* AL-FURAIH 1980; Profils Tisje, Probe Tis37; unteres Paleozän.
22: ?Juv./?adult W, O.Nr. TUB-SOO 266, L: 0,55 mm, 22a: GR; 22b: GD. 23: Adult, ?M, O.Nr. TUB-SOO 269, L: 0,64 mm, 23a: GR; 23b:GD.
- Fig. 24: *Holcopocythere* sp.; Profil Tisje, Probe Tis2; Campan.
O.Nr. TUB-SOO 296, L: 0,52 mm, 24a: GR; 24b: GD.
- Fig. 25: *Majungaella dualehi* n.sp.; Profil Manna'a, Probe Man68; unteres Cenoman.
O.Nr. TUB-SOU 283, WRKI Detail Schloß vorne, **ca. 180x**.

Tafel 37

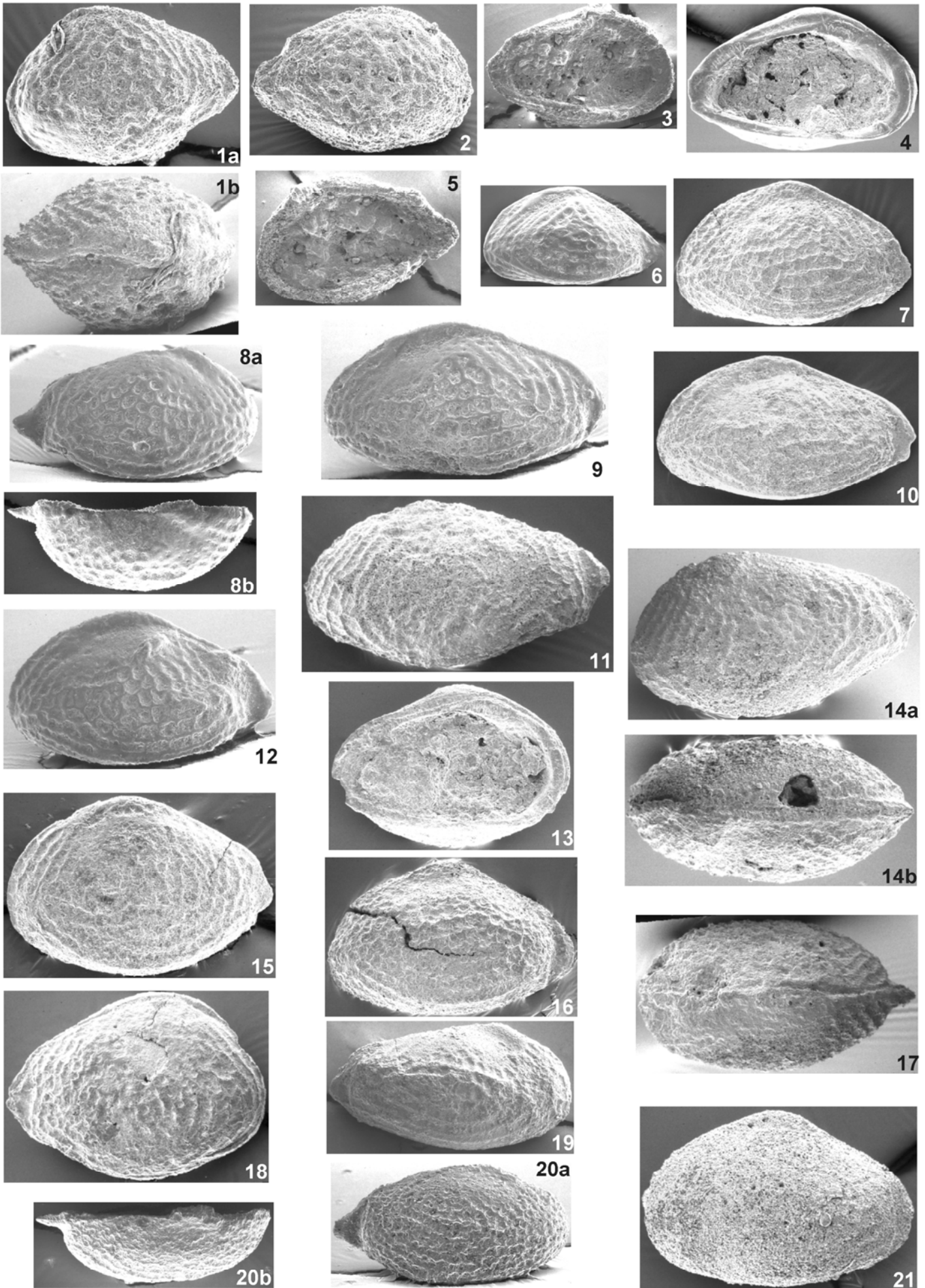


Tafel 38

Alle Objekte ca. 80x, Nordsomalia.

- Fig. 1, 2, 3, 5: *Majungaella dualehi* n.sp.; Profil Manna'a, Probe Man68; unteres Cenoman.
 1: Holotyp, O.Nr. TUB-SOU 175 (anterodorsal verunreinigt), L: 0,53 mm, 1a: GL; 1b: GD. 2: GR (posterodorsal beschädigt), O.Nr. TUB-SOU 176, L: 0,56 mm. 3: RKI, O.Nr. TUB-SOU 289, L: 0,47 mm. 5: LKI, O.Nr. TUB-SOU 290, L: 0,50 mm.
- Fig. 4, 6-10, 12 *Paraphysocythere aptiensis* n.sp.; unteres oberes Apt.
 4, 6, 8, 9, 12: Profil Dhadhabo, Probe Dha26. 4, 8, 12: WW. 4: LKI, O.Nr. TUB-SOU 156, L: 0,57 mm. 8: Holotyp, O.Nr. TUB-SOU 154, L: 0,62 mm, 8a: RK; 8b: RKD. 12: LK, O.Nr. TUB-SOU 153, L: 0,67 mm. 6: JLK, O.Nr. TUB-SOU 151, L: 0,45 mm. 9: MLK, O.Nr. TUB-SOU 155, L: 0,71 mm.
 7, 10: Profil Xabaal Garure. 7, 10: Probe XGa36. 7: WLK, O.Nr. TUB-SOU 240, L: 0,59 mm. 10: MLK, O.Nr. TUB-SOU 241, L: 0,65 mm.
- Fig. 11, 13-21: *Paraphysocythere palaeoalbiensis* n.sp.; unteres Alb.
 11, 13, 14, 16, 17, 19-21: Profil Xabaal Garure.
 11, 13, 14, 16, 17, 20: Probe XGa61a. 11, 14: MM, 11: GL, O.Nr. TUB-SOU 251, L: 0,77 mm. 14: O.Nr. TUB-SOU 242, L: 0,72, 14a: GL; 14b: GD (Ansicht nicht optimal, da etwas nach vorne geneigt). 13, 16, 20: Juv. (in der Ornamentierung noch sehr ähnlich zu *Paraphysocythere aptiensis* n.sp.). 13: LKI, O.Nr. TUB-SOU 244, L: 0,60 (Hinterende defekt). 16: LK, O.Nr. TUB-SOU 245, L: 0,62 mm. 20: O.Nr. TUB-SOU 169, L: 0,59 mm, 20a: RK; 20b: RKD. 17: WGD, O.Nr. TUB-SOU 250, L: 0,69 mm (Exemplar anterodorsal beschädigt).
 19: Probe XGa60b. JRK, O.Nr. TUB-SOU 288, L: 0,61 mm. 21: WLK (Ornamentierung erodiert), O.Nr. TUB-SOU 246, L: 0,68 mm.
 15, 18: Profil Las Koreh, Probe LKo9. 15: Holotyp, WGL, O.Nr. TUB-SOU 168, L: 0,67 mm. 18: WGR, O.Nr. TUB-SOU 166, L: 0,65 mm.

Tafel 38



Tafel 39

Alle Objekte ca. 60x, Nordsomalia.

Fig. 1-6: *Paraphysocythere andreui* n.sp.

1, 2, 5: Profil Las Koreh, Probe LKo14; mittleres Alb. 1: Holotyp, O.Nr. TUB-SOU 254, L: 0,65 mm, 1a: GR; 1b: GD (Ansicht zentral durch Sedimentkorn verunreinigt). 2: GR, O.Nr. TUB-SOU 253, L: 0,71 mm. 5: JLK, O.Nr. TUB-SOU 291, L: 0,55 mm. 6: RK, O.Nr. TUB-SOU 252, L: 0,62 mm. 3, 4: Profil Xabaal Garure, Probe XGa66, oberes unteres Alb. 3: GR, O.Nr. TUB-SOU 162, L: 0,63 mm. 4: O.Nr. TUB-SOU 161, L: 0,62 mm, 4a: GR; 4b: GV.

Fig. 7-9: *Paraphysocythere* sp. A; Profil Togga Mareer, Probe TGM22; unteres Cenoman. 7: ?M, O.Nr. TUB-SOU 297, L: 0,54 mm, 7a: LK; 7b: LKD. 8, 9: ?WW, 8: O.Nr. TUB-SOU 282, L: 0,51 mm, 8a: LK; 8b: LKD. 9: RK, O.Nr. TUB-SOU 296, L: 0,52 mm.

Fig. 10: *Paraphysocythere?* sp.; Profil Xabaal Garure, Probe XGa91, mittleres Cenoman. O.Nr. TUB-SOU 248, L: 0,50 mm, 10a: GL; 10b: GD..

Fig. 11, 12, 15, 16, 19: *Acanthocythereis? conjuncta boeckelmanni* n.ssp.; Profil Tisje, Probe Tis2; Campan.

11, 16: MM. 11: O.Nr. TUB-SOO 41, L: 0,62 mm, 11a: GR; 11b: GD. 16: GL, O.Nr. TUB-SOO 53, L: 0,56 mm. 12, 15, 19: WW. 12: Holotyp, GL, O.Nr. TUB-SOO 111, L: 0,56 mm. 15: O.Nr. TUB-SOO 112, L: 0,54 mm, 15a: GR; 15b: GD (Exemplar auf beiden Klappen anteromediodorsal beschädigt). 19: O.Nr. TUB-SOO 114, L: 0,50 mm, 19a: GR; 19b: GD.

Fig. 13, 17: *Acanthocythereis* sp. 1; Profil Tisje, Probe Tis2; Campan.

13: W, O.Nr. TUB-SOO 37, L: 0,84 mm, 13a: GL; 13b: GD. 17: M, O.Nr. TUB-SOO 286, L: 0,80 mm, 14: GR; 14b: GD.

Fig. 14, 18: *Acanthocythereis* sp. 2; Profil Tisje, Probe Tis37; unteres Paleozän.

14: M, O.Nr. TUB-SOO 245, L: 0,86 mm, 14a: GR; 14b: GD. 18: W, O.Nr. TUB-SOO 246, L: 0,79 mm, 18a: GR; 18b: GD.

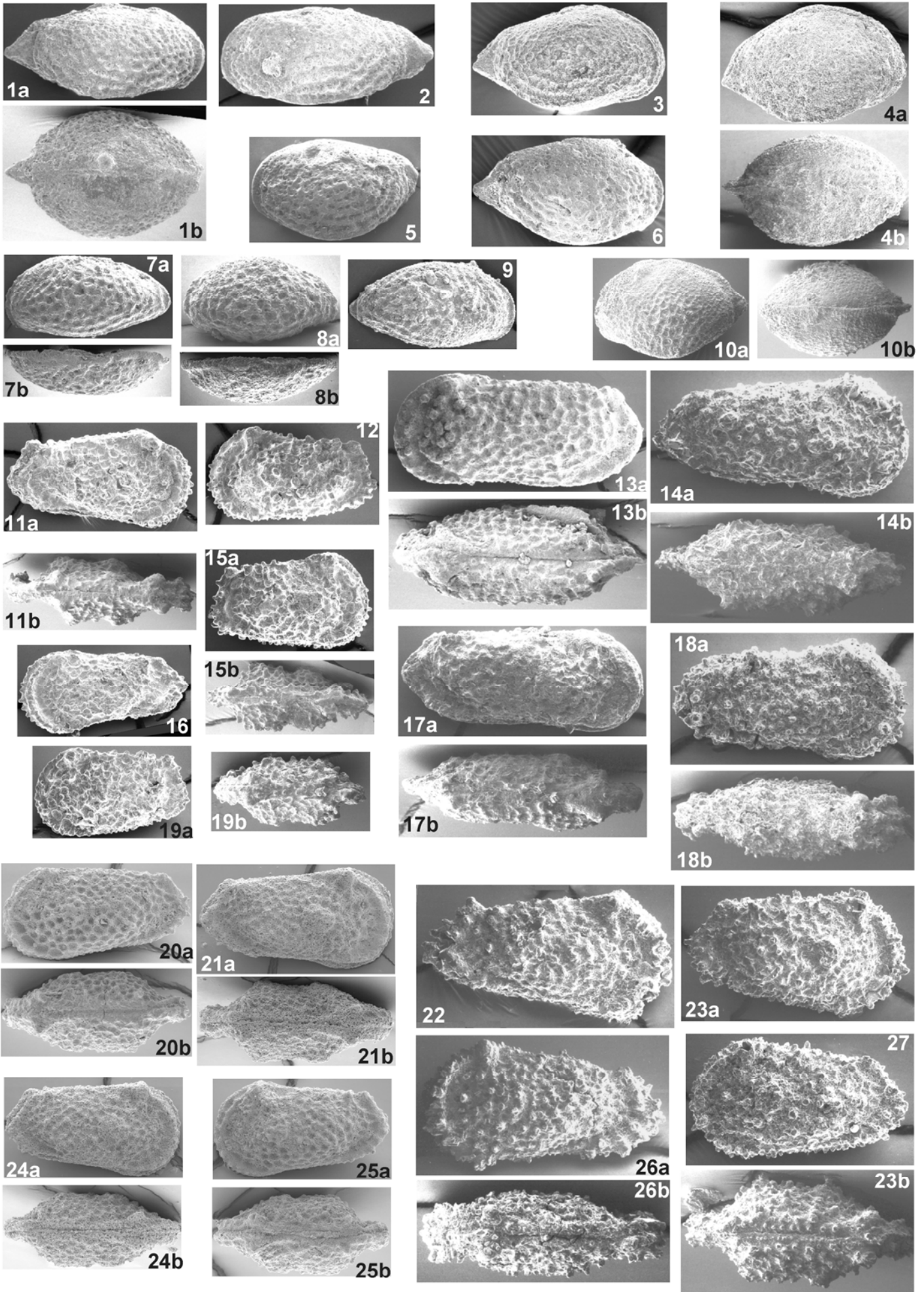
Fig. 20, 21, 24, 25: *Acanthocythereis? conjuncta radziwili* n.ssp.; Profil Tisje, Probe Tis17; Maastricht.

20, 24, 25: WW. 20: Holotyp, O.Nr. TUB-SOO 309, L: 0,62 mm, 20a: GL; 20b: GD. 24: O.Nr. TUB-SOO 308, L: 0,57 mm, 24: GR; 24b: GD. 25: O.Nr. TUB-SOO 310, L: 0,58 mm, 25a: GL; 25b: GD. 21: M, O.Nr. TUB-SOO 307, L: 0,64 mm, 21a: GR; 21b: GD.

Fig. 22, 23, 26, 27: *Acanthocythereis? conjuncta conjuncta* AL-FURAIH 1980; Profil Tisje, Probe Tis37; unteres Paleozän.

22, 26: MM. 22: GR, O.Nr. TUB-SOO 260, L: 0,82 mm. 26: O.Nr. TUB-SOO 259, L: 0,82 mm, 26a: GL; 26b: GD. 23, 27: WW. 23: O.Nr. TUB-SOO 262, L: 0,74 mm, 23a: GR; 23b: GD. 27: GL, O.Nr. TUB-SOO 263, L: 0,74 mm.

Tafel 39

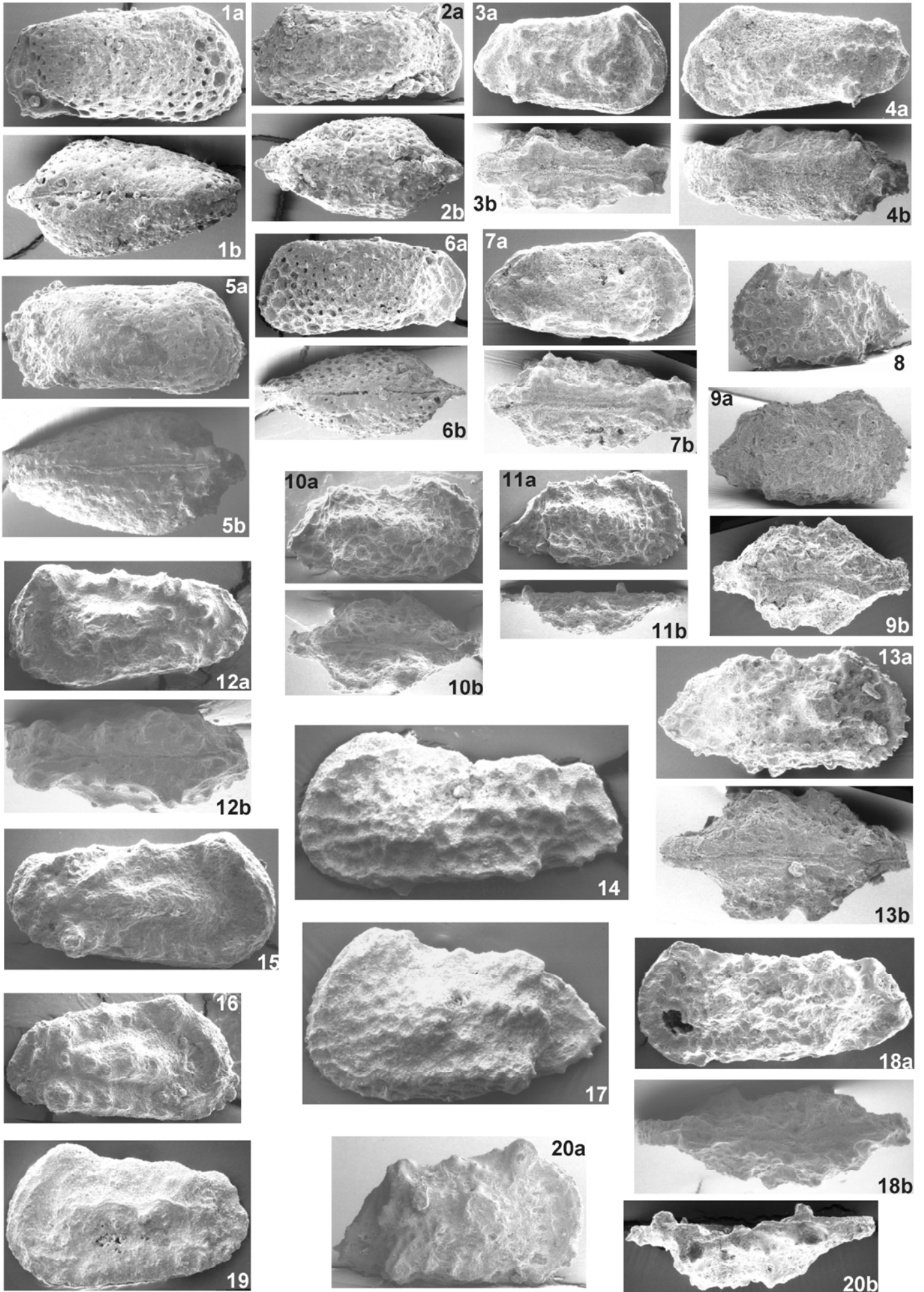


Tafel 40

Alle Objekte ca. 60x, Nordsomalia.

- Fig. 1, 2, 5, 6: *Crenaleya schroederi* n.sp.; Profil Tisje, Probe Tis2; Campan.
 1: Holotyp, O.Nr. TUB-SOO 39, L: 0,80 mm, 1a: GR; 1b: GD. 2: O.Nr. TUB-SOO 40, L: 0,70 mm, 2a: GL; 2b: GD. 5: O.Nr. TUB-SOO 300, L: 0,81 mm, 5a: GR; 5b: GV. 6: O.Nr. TUB-SOO 38, L: 0,70 mm, 6a: GL, 6b: GD.
- Fig. 3, 4, 7: *Cythereis aaramtaensis* cf. *biconifera* BISCHOFF, 1963; Profil Las Koreh, Probe LKo13; mittleres Alb.
 3, 7: WW. 3: O.Nr. TUB-SOU 208, L: 0,64 mm, 3a: GR; 3b: GD. 7: O.Nr. TUB-SOU 209, L: 0,69 mm, 7a: GR; 7b: GD. 4: M. O.Nr. TUB-SOU 207, L: 0,75 mm, 4a: GL; 4b: GD.
- Fig. 8-11, 13: *Cythereis namousensis* BASSOULLET und DAMOTTE, 1969; Profil Xabaal Garure.
 8-11: Probe XGa101, mittleres Cenoman. 8, 9; WW. 8: LK, O.Nr. TUB-SOU 56, L: 0,59 mm. 9: O.Nr. TUB-SOU 55, L: 0,66 mm, 9a: GR; 9b: GD. 10, 11: MM. 10: O.Nr. TUB-SOU 273, L: 0,64 mm, 10a GR; 10b: GD. 11: O.Nr. TUB-SOU 272, L: 0,61 mm, 11a: RK; 11b: RKD.
 13: Probe XGa75c, oberes Alb. O.Nr. TUB-SOU 216, L: 0,82 mm (Objekt dorsal posteromedian verschmutzt), 13a: GR; 13b: GD.
- Fig. 12, 15, 16, 19: *Cythereis arabica* cf. *houneensis* BISCHOFF, 1963; höheres Alb.
 12, 15, 16: Profil Xabaal Garure, Probe XGa67. 12, 15: MM. 12: O.Nr. TUB-SOU 268, L: 0,81 mm. 12a: GL; 12b: GD. 15: GR, O.Nr. TUB-SOU 267, L: 0,90 mm. 16: WRK, O.Nr. TUB-SOU 269, L: 0,77 mm.
 19: Profil Las Koreh, Probe LKo15. WLK, O.Nr. TUB-SOU 213, L: 0,81 mm.
- Fig. 14, 17, 18: *Cythereis algeriana* BASSOULLET und DAMOTTE, 1969; mittleres Alb.
 14. Profil Las Koreh, Probe LKo16. LK (Exemplar dorsal beschädigt), O.Nr. TUB-SOU 57, L: 1,10 mm.
 17, 18: Profil Xabaal Garure, Probe XGa66. 17: LK, O.Nr. TUB-SOU 233, L: 1,01 mm. 18: O.Nr. TUB-SOU 265, L: 0,91 mm.
- Fig. 20: *Cythereis* sp. aff. *C. phoenissa* BISCHOFF, 1963; Profil Las Koreh, Probe LKo15; mittleres Alb.
 O.Nr. TUB-SOU 72, L: 0,83 mm, 20a: RK; 20b: RKD.

Tafel 40

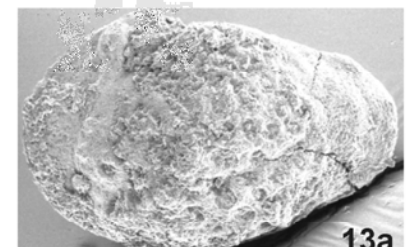
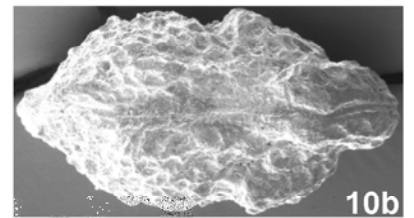
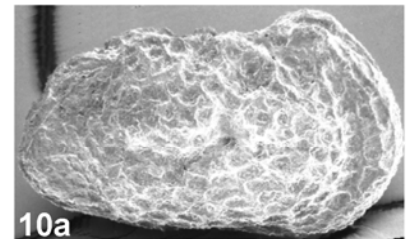
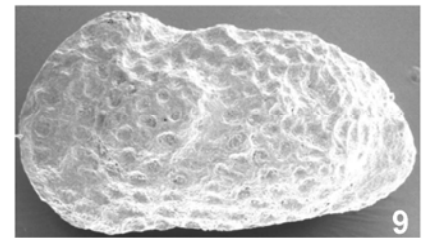
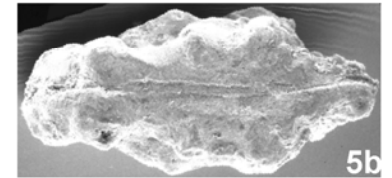
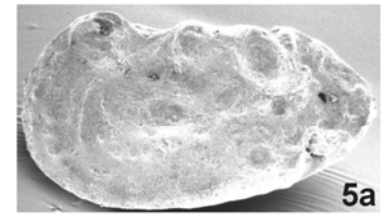
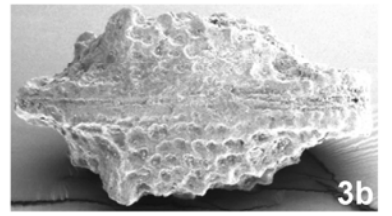
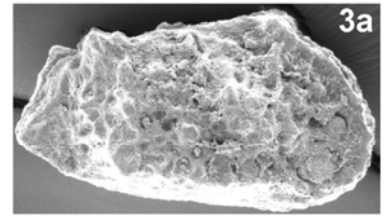
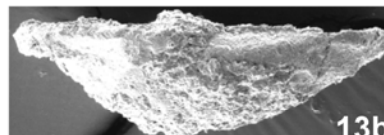
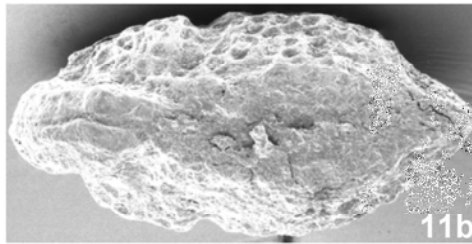
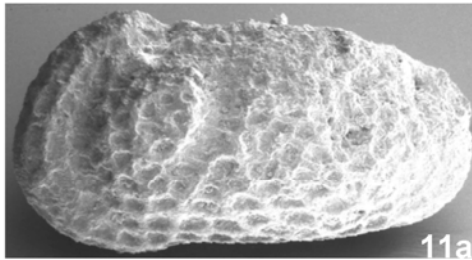
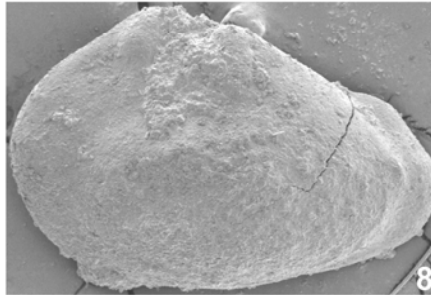
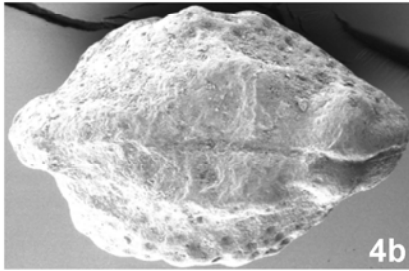
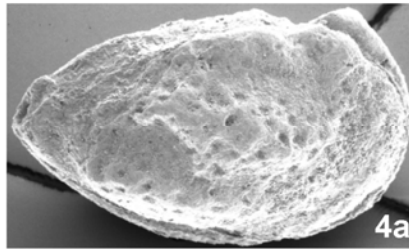
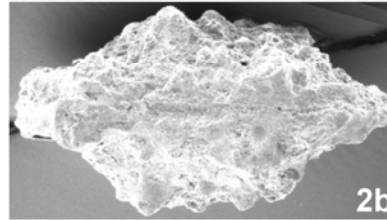
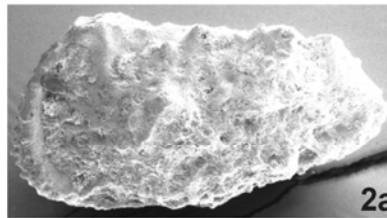
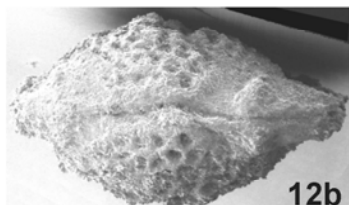
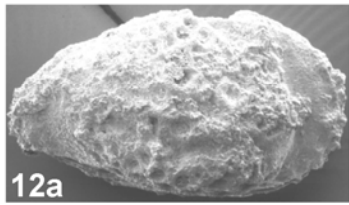
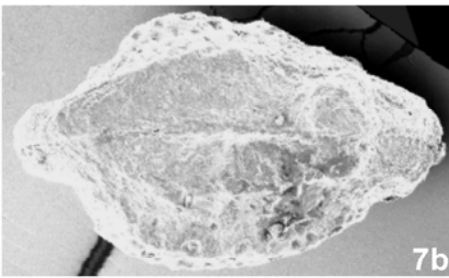
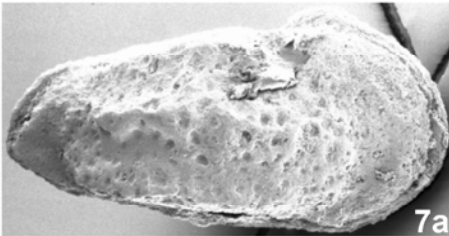
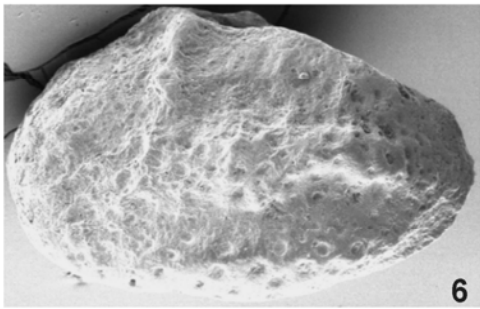
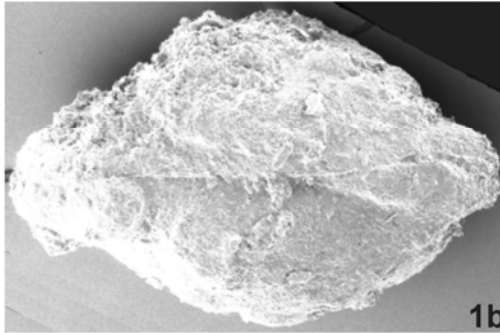


Tafel 41

Alle Objekte ca. 60x, Nordsomalia.

- Fig. 1: *Glenocythere bahreinensis* AL-ABDUL-RAZZAQ, 1979; Profil Xabaal Garure, Probe XGa91; mittleres Cenoman.
O.Nr. TUB-SOU 4, L: 1,08 mm, 1a: GL; 1b: GD.
- Fig. 2, 3: *Cythereis* sp. aff. *C. phoenissa* BISCHOFF, 1963; Profil Las Koreh, Probe LKo13; (tieferes) Alb.
2: O.Nr. TUB-SOU 73, L: 0,82 mm, 2a: GL; 2b: GD. 3: O.Nr. TUB-SOU 74, L: 0,78 mm, 3a: GR; 3b: GD.
- Fig. 4, 6-8: *Glenocythere* cf. *bahreinensis* AL-ABDUL-RAZZAQ, 1979; (tieferes) Alb.
4, 6, 7: Profil Las Koreh, Probe LKo13. 4, 6: WW. 4: O.Nr. TUB-SOU 1, L: 0,88 mm, 4a: GR (Ansicht leicht nach vorne gedreht); 4: GD. 6: GL, O.Nr. TUB-SOU 2, L: 1,02 mm. 7: M, O.Nr. TUB-SOU 3, L: 0,96 mm, 7a: GR; 7b: GD.
8: Profil Xabaal Garure, Probe XGa67a. WLK (Ornamentierung vermutlich erodiert), O.Nr. TUB-SOU 248x, L: 0,92 mm.
- Fig. 5: *Cythereis* sp.; Profil Las Koreh, Probe LKO 13, (tieferes) Alb.
O.Nr. TUB-SOU 225, L: 78 mm, 5a: GL; 5b: GD.
- Fig. 9-11: „*Glenocythere*“ *klitzschi* n.sp.; Profil Xabaal Garure, Probe XGa61a; unteres Alb.
9, 10: WW. 9: Holotyp, GL, O.Nr. TUB-SOU 88, L: 0,86 mm. 10: O.Nr. TUB-SOU 87, L: 0,82 mm, 10a: GR; 10b: GD. 11: M, O.Nr. TUB-SOU 89, L: 1,01 mm, 11a: GL; 11b: GD.
- Fig. 12, 13: „*Glenocythere*“ sp.; Profil Xabaal Garure, Probe XGa91; mittleres Cenoman.
12: O.Nr. TUB-SOU 146, L: 0,73, 12a: GR; 12b: GD. 13: O.Nr. TUB-SOU 147, L: 0,83 mm, 13a: LK; 13b: RKD.

Tafel 41

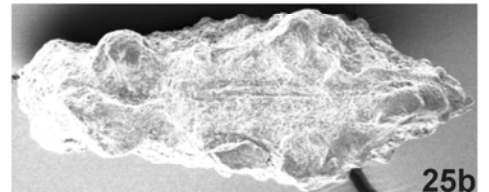
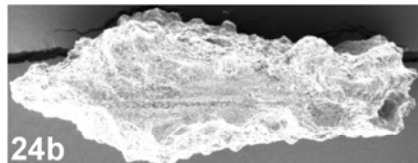
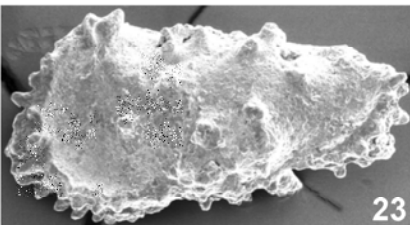
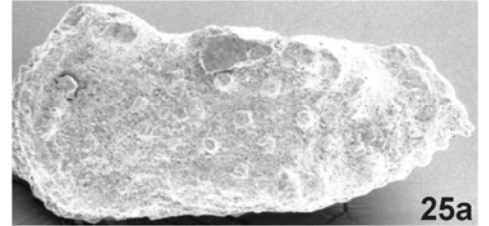
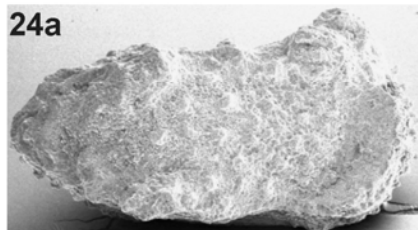
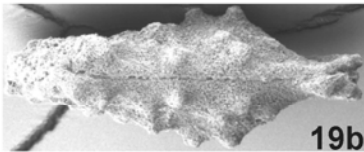
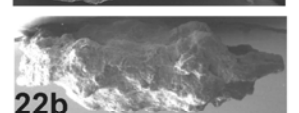
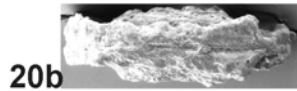
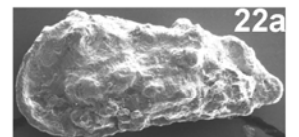
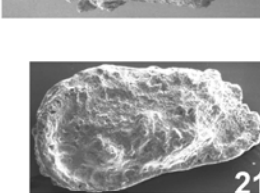
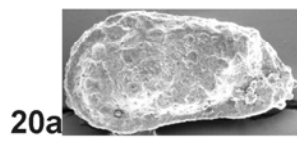
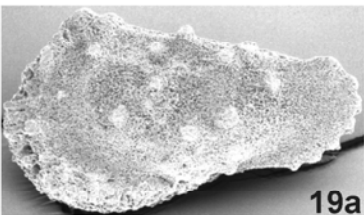
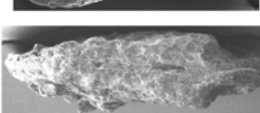
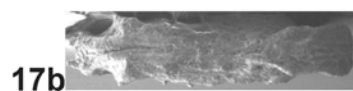
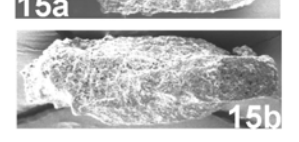
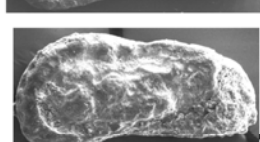
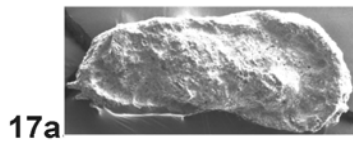
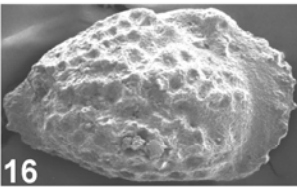
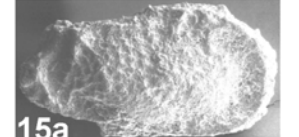
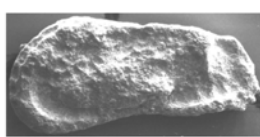
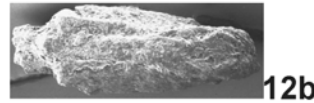
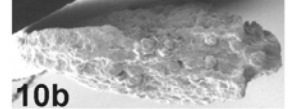
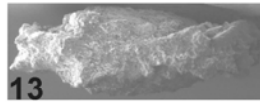
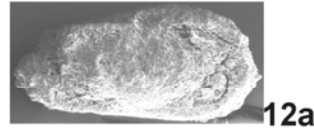
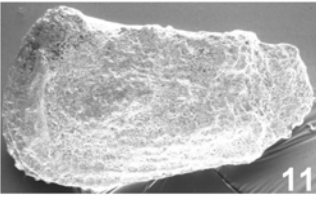
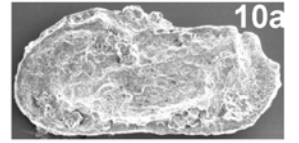
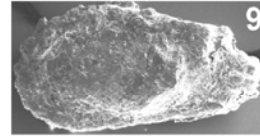
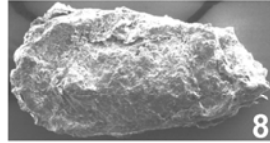
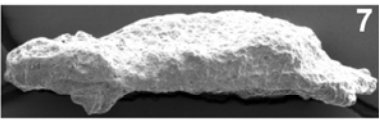
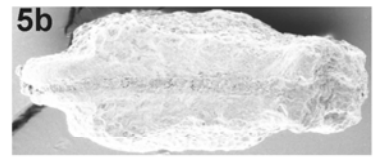
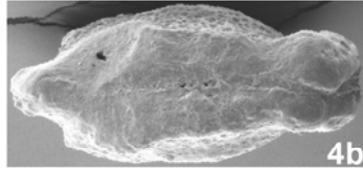
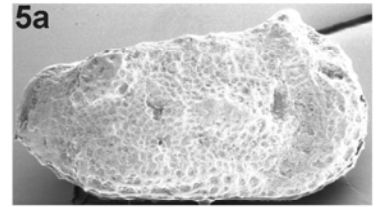
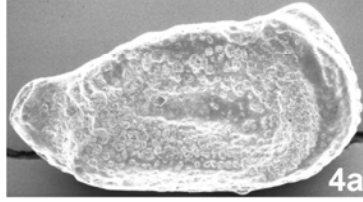
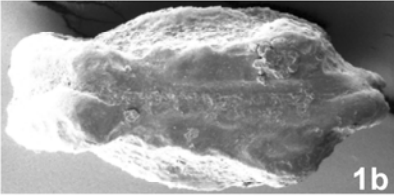
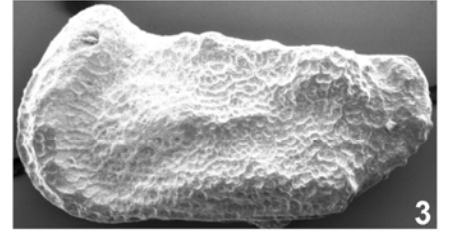
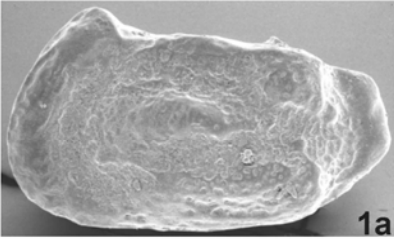


Tafel 42

Alle Objekte ca. 60x, Nordsomalia.

- Fig. 1-7, 11: *Mandocythere ghabounensis insutea* (BISCHOFF, 1963); unteres oberes Apt.
 1, 4, 6: Profil Dhadhabo, Probe Dha26. 1: W, O.Nr. TUB-SOU 44, L: 0,83 mm, 1a: GL; 1b: GD. 4: ?M/A-1, O.Nr. TUB-SOU 46, L: 0,76 mm, 4a: GR; 4b: GD (Exemplar posterodorsal beschädigt). 6: ?W/A-1 RK, O.Nr. TUB-SOU 45, L: 0,72 mm.
 2, 3, 5, 7, 11: Profil Xabaal Garure, Probe XGa36. 2: ?M/A-1 LK, O.Nr. TUB-SOU 221, L: 0,80 mm (Exemplar mit reduzierter Retikulation, ?Erhaltung). 3: MLK, O.Nr. TUB-SOU 8, L: 0,91 mm. 5: ?W/A-1, O.Nr. TUB-SOU 6, L: 0,763 mm, 5a: GR; 5b: GD. 7: WRKD, O.Nr. TUB-SOU 7, L: 0,80 mm. 11: JGL, O.Nr. TUB-SOU 222, L: 0,67 mm.
- Fig. 8, 9, 12, 13: „*Occultocythereis*“ cf. *arabica* AL-FURAIH 1980; Profil Tisje, Probe Tis37; unteres Paleozän.
 8, 12: MM. 8: GL, O.Nr. TUB-SOO 254, L: 0,56 mm. 12: O.Nr. TUB-SOO 254, L: 0,52 mm, 12a: GR; 12b: GD. 9, 13: WW. 9: GL, O.Nr. TUB-SOO 249, L: 0,53 mm. 13: GD, O.Nr. TUB-SOO 255, L: 0,55 mm.
- 10, 15: „*Occultocythereis*“ *celata* (AL-FURAIH) 1984; Profil Tisje.
 10: Probe Tis2; Campan. O.Nr. TUB-SOO 52, L: 0,57 mm, 10a: GL; 10b: GD.
 15: Probe Tis17; Maastricht. O.Nr. TUB-SOO 63, L: 0,56 mm, 15a: GR; 15b: GD.
- Fig. 14, 17, 18: „*Occultocythereis*“ *alfuraihii* n.sp.; Profil Tisje, Probe Tis2; Campan.
 14, 18: WW, 14: Holotyp, GL, O.Nr. TUB-SOO 294, L: 0,54 mm. 18: O.Nr. TUB-SOO 295, L: 0,51 mm, 18: GL; 18a: GD. 17: M, O.Nr. TUB-SOO 292, L: 0,61 mm, 17a: GR; 17b: GD.
- Fig. 16: „*Glenocythere*“ sp.; Profil Manna'a, Probe Man68; unteres Cenoman.
 RK, O.Nr. TUB-SOO 293, L: 0,63 mm.
- Fig. 19, 23: „*Parexophthalmocythere*“ sp.; Profil Tisje; Maastricht.
 19: Probe Tis17. O.Nr. TUB-SOO 294, L: 0,77 mm, 19a: GL; 19b: GD.
 23: Probe Tis13. GL, L: 0,88 mm.
- Fig. 20-22: Parvacythereini Gen. indet. sp. 1; Profil Tisje, Probe Tis2; Campan.
 20, 21: WW, 20: O.Nr. TUB-SOO 51, L: 0,49 mm, 20a: GL; 20b: GD. 21: GL, O.Nr. TUB-SOO 285, L: 0,49 mm. 22: M. O.Nr. TUB-SOO 284, L: 0,57 mm, 22a GL; 22b: GD,
- Fig. 24, 25: *Peloriops ziregensis* (BASSOULLET & DAMOTTE) 1969; Profil Las Koreh, Probe LKo22; mittleres Alb.
 24: W, O.Nr. TUB-SOU 41, L: 0,89 mm, 24a: GR; 24b: GD. 25: M, O.Nr. TUB-SOU 42, L: 0,99 mm, 25a: GL, 25b: GD.

Tafel 42



Tafel 43

Alle Objekte ca. 60x, Nordsomalia.

Fig. 1-4: *Peloriops ziregensis* (BASSOULLET & DAMOTTE) 1969; mittleres Alb.

1, 4: Profil Las Koreh.

1: Probe LKo22. ?W/A-1, O.Nr. TUB-SOU 40, L: 0,81 mm, 1a: GL; 1b: GD.

4: Probe LKo16. ?A-1, O.Nr. TUB-SOU 237, L: 0,80 mm, 4a: GR, 4b: GD.

2, 3: Profil Xabaal Garure.

2: Probe XGa66. W, O.Nr. TUB-SOU 47, L: 0,67 mm, 2a:GR; 2b: GD.

3: Probe XGa76. M, O.Nr. TUB-SOU 99, L: 0,76 mm, 3a: GR; 3b: GD.

Fig. 5-10: *Peloriops phumatoides* (DAMOTTE und OERTLI), 1982; Profil Tisje.

5-8, 10: Probe Tis2; Campan. 5, 7: WW. 5: LK, O.Nr. TUB-SOO 80, L: 0,84 mm. 7: RK, O.Nr. TUB-SOO 81, L: 0,84 mm. 6: M, O.Nr. TUB-SOO 82, L: 0,84 mm, 6a: GL;

6b: GD. 8: Juv., O.Nr. TUB-SOO 83, L: 0,68 mm, 8a: GL; 8b: GD. 10: ?MRKI, O.Nr. TUB-SOO 276, L: 0,82 mm.

9: Probe Tis17; Maastricht. WGD, O.Nr. TUB-SOO 158, L: 0,78 mm.

11: *Peloriops* sp. aff. *P. elassoicyota* AL ABDUL-RAZZAQ, 1979; Profil Las Koreh, Probe LKo13; (tieferes) Alb.

O.Nr. TUB-SOU 35, L: 0,69mm, 11a: GL; 11b: GD.

12: „*Planileberis*“ *malzi* (BISCHOFF); Profil Xabaal Garure, Probe XGa63a; unteres Alb.

O.Nr. TUB-SOU 226, L: 0,77 mm, 12a: GR; 12b: GD.

Fig. 13-17: *Rehacythereis btaterensis* cf. *imminuticostata* (BISCHOFF, 1963), Profil Xabaal Garure, Probe XGa40; oberes Apt.

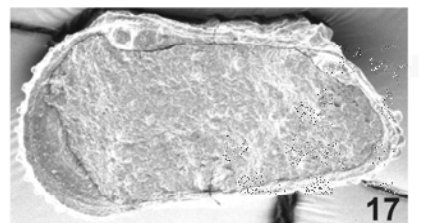
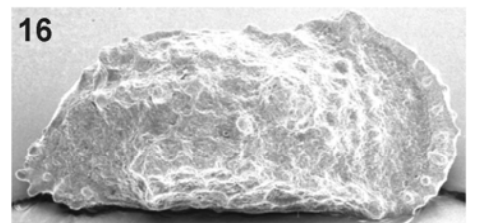
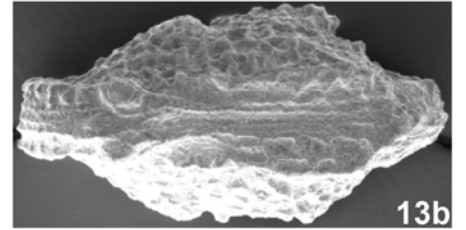
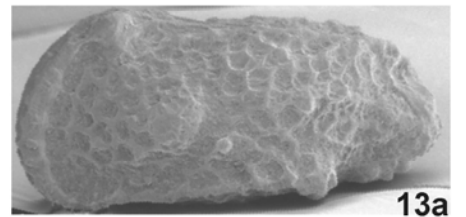
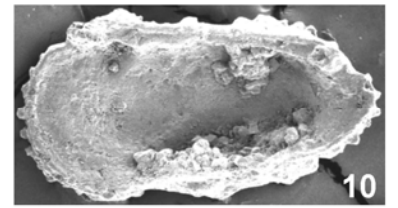
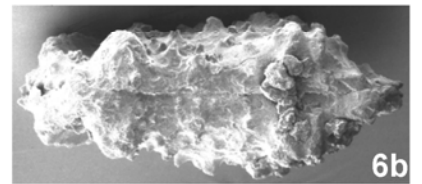
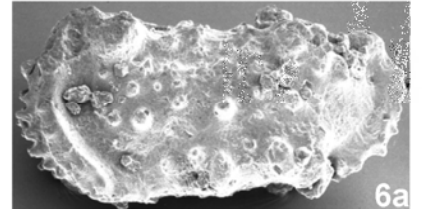
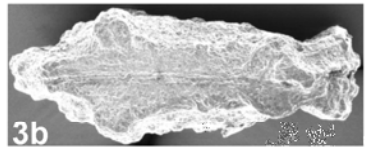
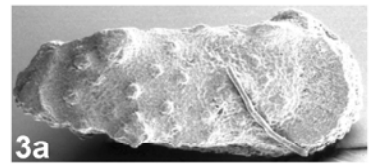
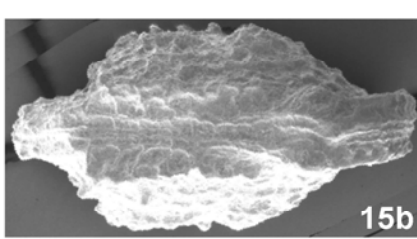
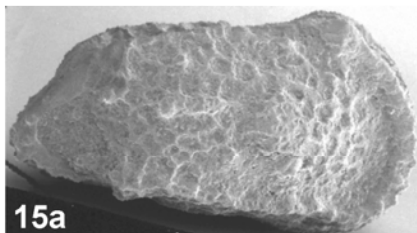
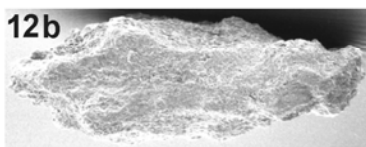
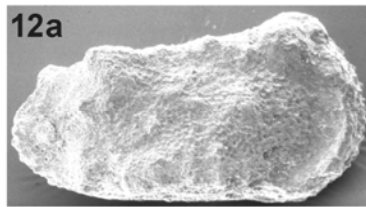
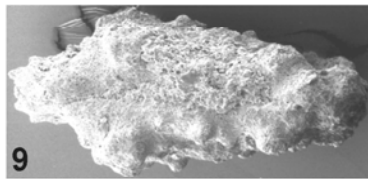
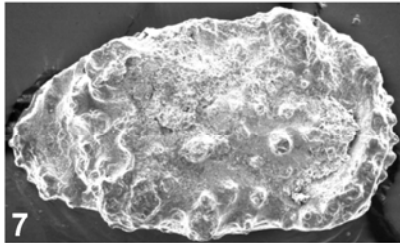
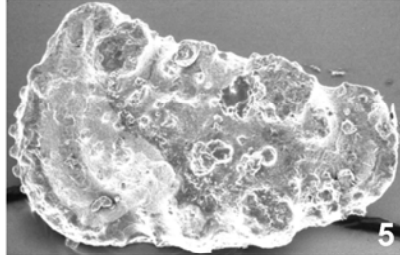
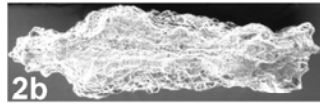
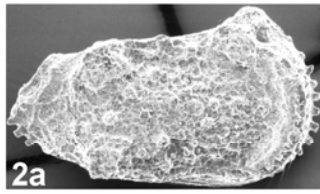
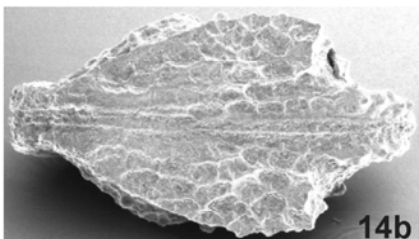
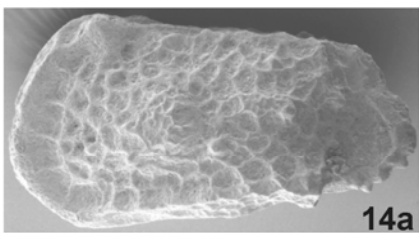
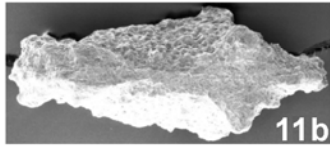
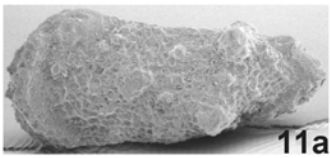
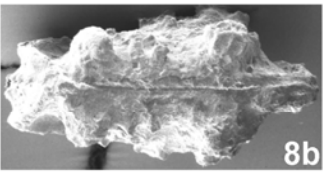
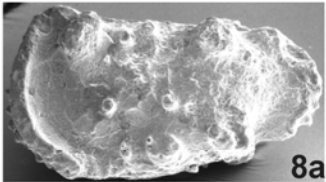
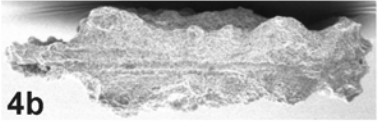
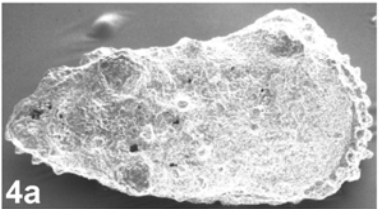
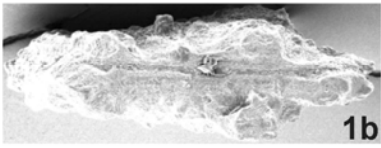
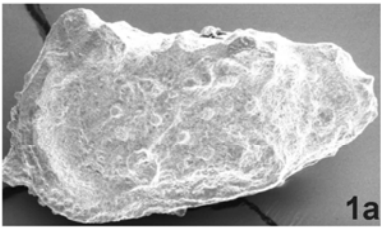
13, 16: MM. 13: O.Nr. TUB-SOU 69, L: 0,94 mm, 13a: GL; 13b: GD. 16: RK, O.Nr.

TUB-SOU 68, L: 0,97 mm. 14, 15: WW. 14: O.Nr. TUB-SOU 67, L: 0,89 mm, 14a:

GL; 14b: GV. 15: O.Nr. TUB-SOU 66, L: 0,89 mm, 15a: GR; 15b: GD. 17: ?A-1 RKI,

O.Nr. TUB-SOU 70, L: 0,84 mm.

Tafel 43

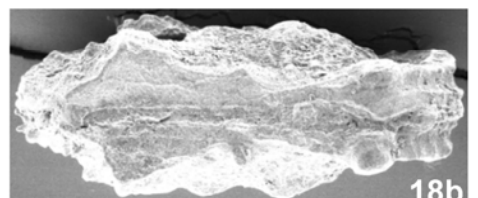
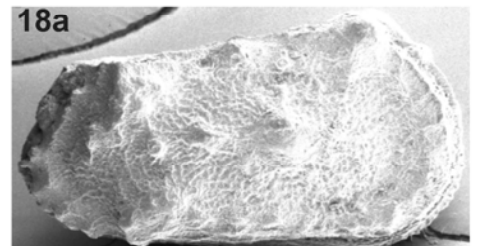
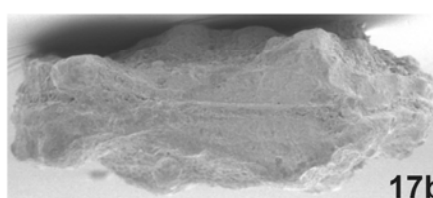
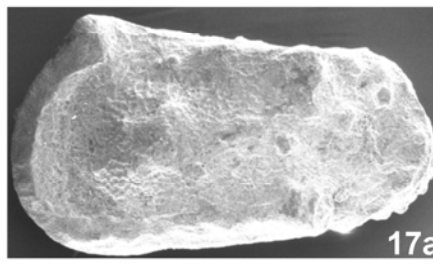
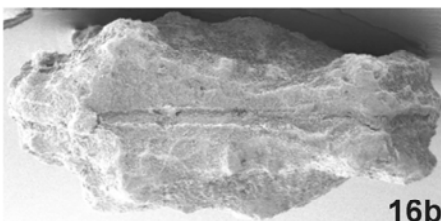
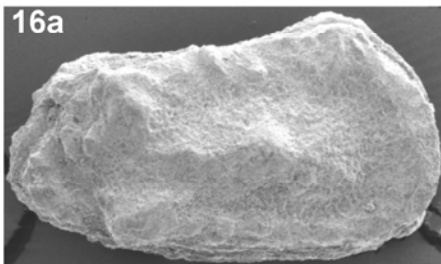
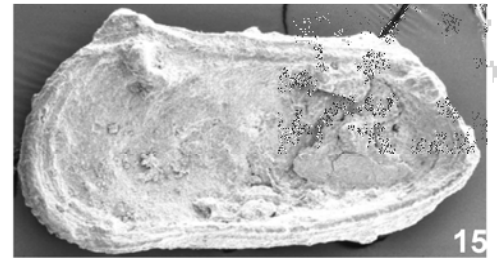
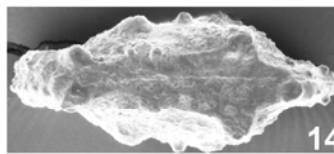
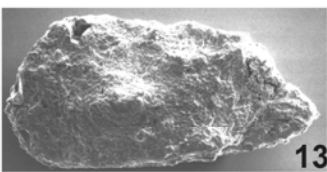
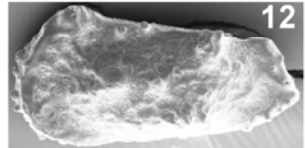
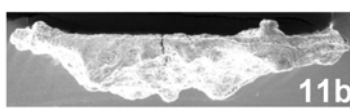
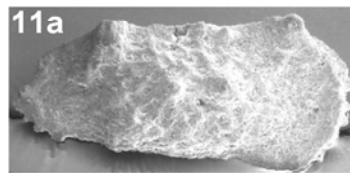
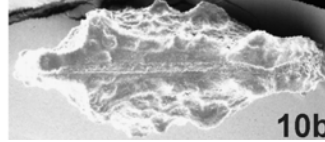
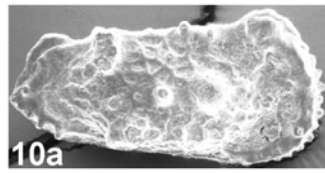
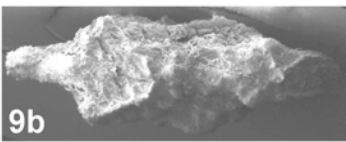
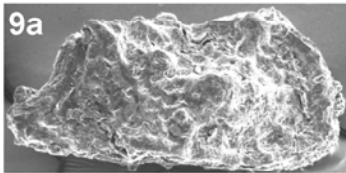
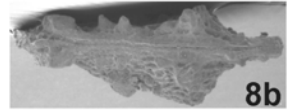
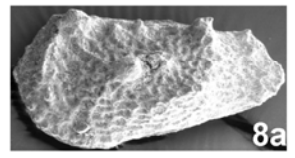
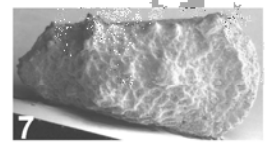
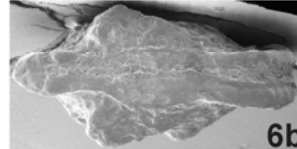
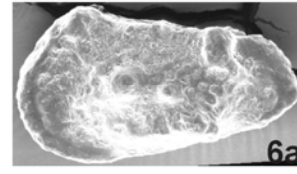
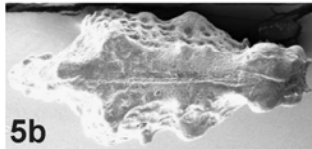
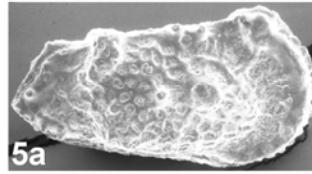
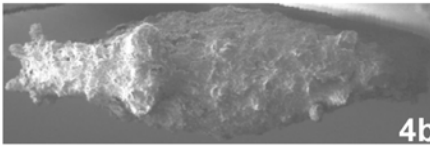
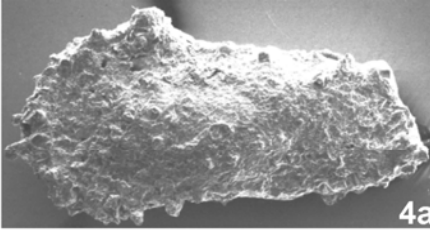
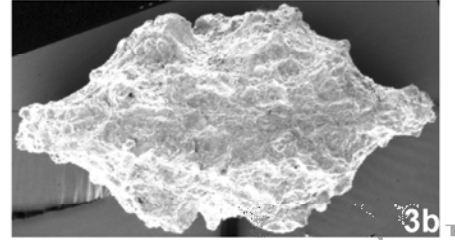
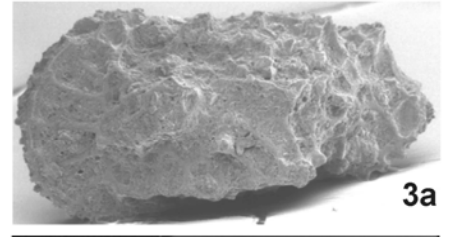
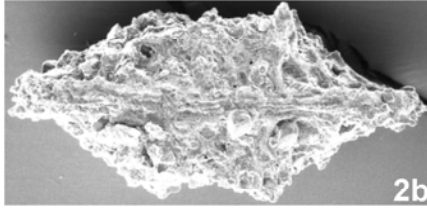
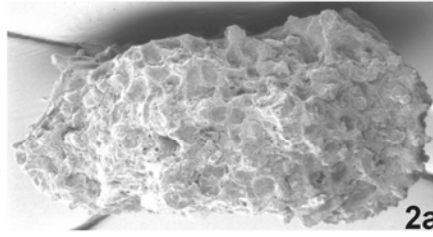
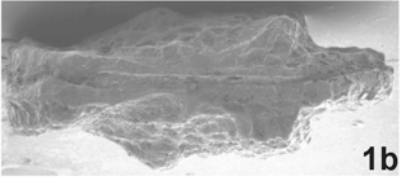
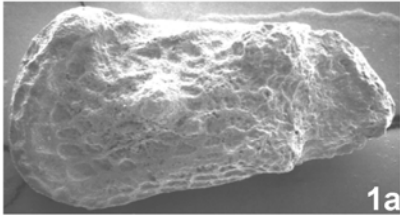


Tafel 44

Alle Objekte ca. 60x, Nordsomalia.

- Fig. 1: *Rehacythereis* sp. gr. *btaterensis* (BISCHOFF, 1963); Profil Xabaal Garure, Probe XGa61a; unteres Alb.
O.Nr. TUB-SOU 67, L: 0,84mm, 1a: GL; 1b: GD.
- Fig. 2, 3: *Rehacythereis* aff. *R. fahrioni* (BISCHOFF), 1963; Profil Xabaal Garure, Probe XGa101; mittleres Cenoman.
2: O.Nr. TUB-SOU 54, L: 0,91 mm, 2a: GR; 2b: GV. 3: O.Nr. TUB-SOU 53, L: 0,91 mm, 3a: GL; 3b: GD.
- Fig. 4: *Schizoptocythere torquata* SIDDIQUI und AL-FURAIH 1981; Profil Tisje, Probe Tis37; unteres Paleozän.
O.Nr. TUB-SOU 244, L: 0,93 mm, 4a: GL; 4b: GD.
- Fig. 5-8, 10-12, 14: *Spinoleberis majorani* n.sp.; unteres oberes Apt.
5, 6, 10, 12, 14: Profil Dhadhabo, Probe Dha26. 5, 6: WW. 5: Holotyp, O.Nr. TUB-SOU 25, L: 0,66 mm, 5a: GR; 5b: GD. 6: O.Nr. TUB-SOU 26, L: 0,61 mm, 6a: GL; 6b: GD. 10, 12, 14: MM. 10: O.Nr. TUB-SOU 27, L: 0,68 mm, 10a: GR; 10b: GD. 12: GL, O.Nr. TUB-SOU 28, L: 0,62 mm. 14: GD, O.Nr. TUB-SOU 31, L: 0,70 mm.
7, 8, 11: Profil Xabaal Garure, Probe XGa36. 7, 8: Juv. 7: GR, O.Nr. TUB-SOU 61, L: 0,52 mm. 8: O.Nr. TUB-SOU 60, L: 0,58 mm, 8a: GL; 8b: GD. 11: M. O.Nr. TUB-SOU 58, L: 0,74 mm, 11a: RK; 11b: RKD.
- Fig. 9, 13: *Spinoleberis obvia* AL-FURAIH 1980, Profil Tisje, Probe Tis37; unteres Paleozän.
9: M, O.Nr. TUB-SOU 247, L: 0,73 mm, 9a: GR; 9b: GD. 10: WGL, O.Nr. TUB-SOU 248, L: 0,68 mm.
- Fig. 15-18: „*Spinoleberis*“? *donzei* n.sp. MTA; Profil Las Koreh, Probe LKo13; mittleres Alb.
15, 18: MM, 15: RKI, O.Nr. TUB-SOU 39, L: 1,02 mm. 18: O.Nr. TUB-SOU 38, L: 0,98 mm, 18a: GR; 18b: GD. 16, 17: WW. 16: Holotyp, O.Nr. TUB-SOU 36, L: 0,94 mm, 16a: GR, 16b: GR. 17: O.Nr. TUB-SOU 203, L: 0,93 mm, 17a: GL; 17b: GD.

Tafel 44

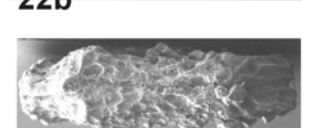
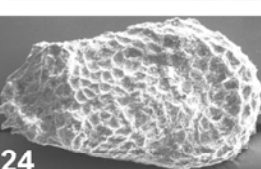
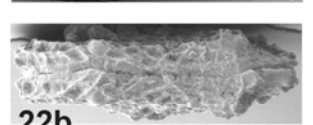
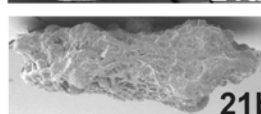
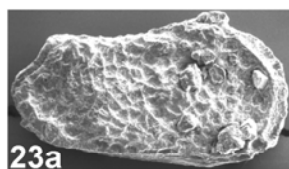
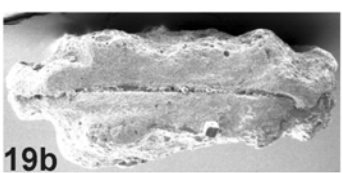
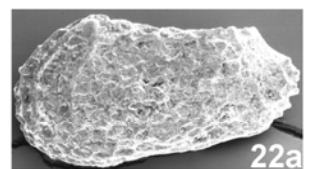
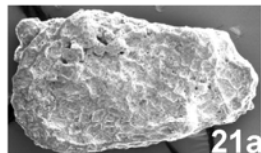
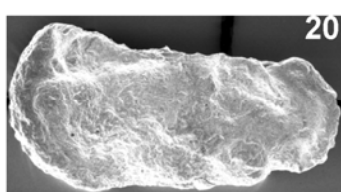
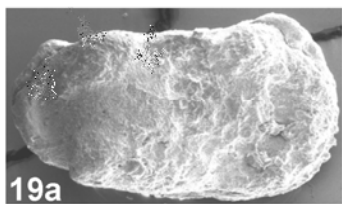
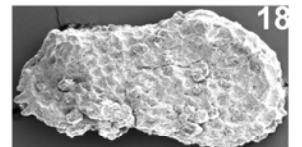
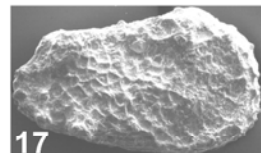
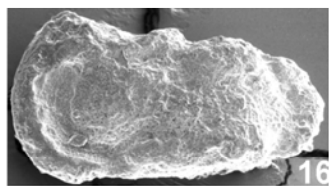
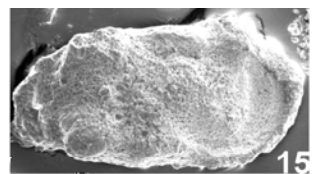
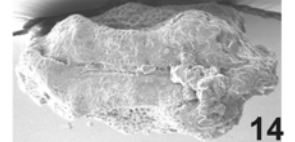
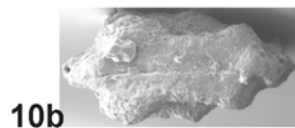
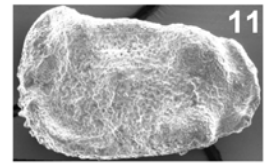
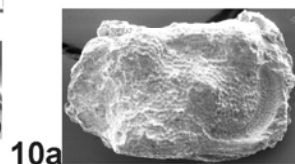
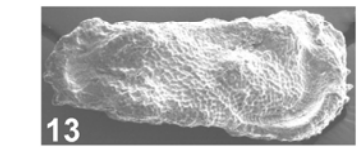
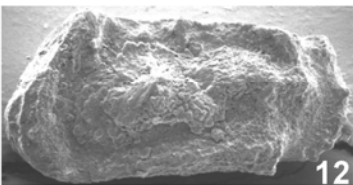
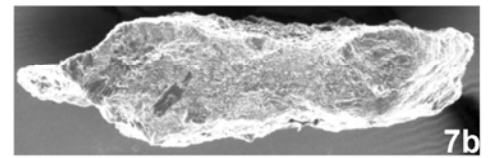
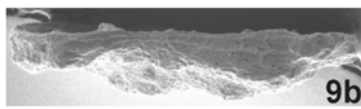
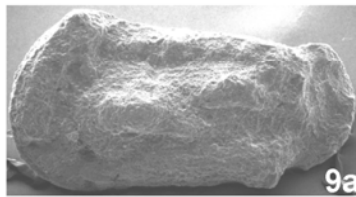
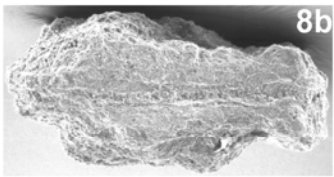
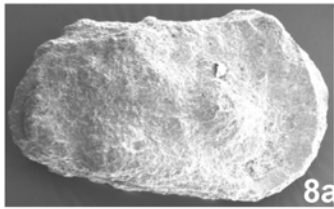
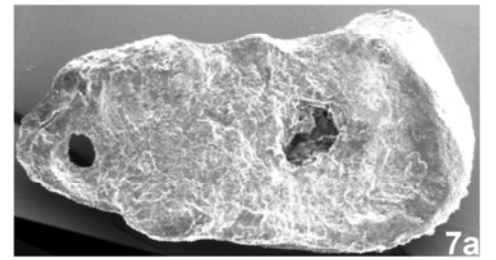
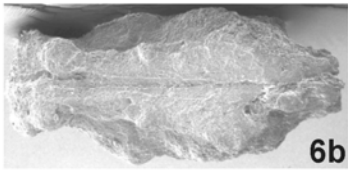
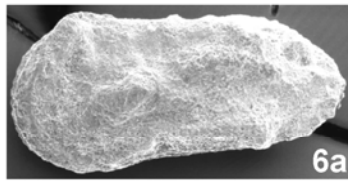
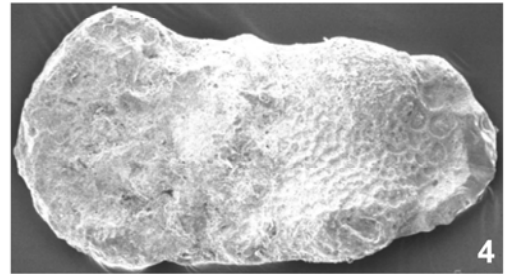
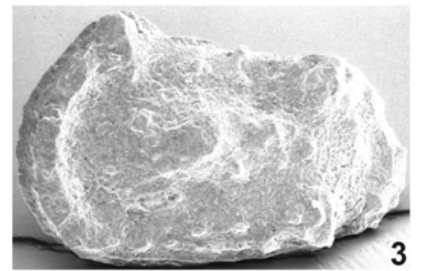
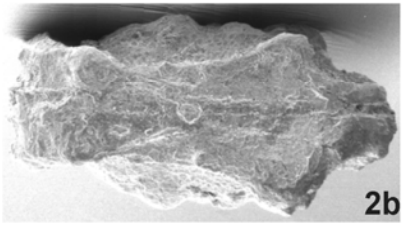
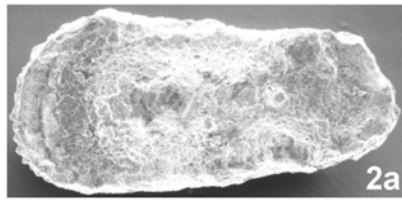
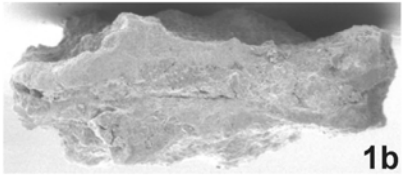
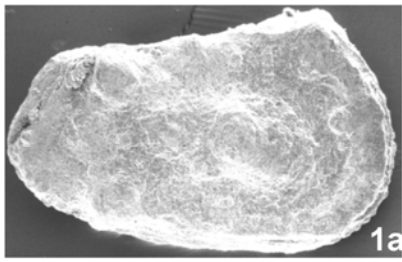


Tafel 45

Alle Objekte ca. 60x, Nordsomalia.

- Fig. 1-3: „*Spinoleberis*“? *donzei* n.sp.; Profil Las Koreh, Probe LKo13; mittleres Alb.
 1, 3: MTA, A-1. 1: O.Nr. TUB-SOU 204, L: 0,85 mm, 1a: GR; 1b: GD. 3: GL, O.Nr. TUB-SOU 37, L: 0,84 mm.
 2: MTB. O.Nr. TUB-SOU 206, L: 0,86 mm, 2a: GL; 2b: GD.
- Fig. 4, 7: *Strigosocythere* sp.; Profil Xabaal Garure, Probe XGa66; unteres Alb.
 4: ?W LK, O.Nr. TUB-SOU 224, L: 1,06 mm (Exemplar in der vorderen Hälfte beschädigt). 7: ?M, O.Nr. TUB-SOU 49, L: 0,99 mm, 7a: GR; 7b: GD.
- Fig. 5, 6, 8, 9, 12: „*Spinoleberis*“? cf. *Spinoleberis*? IRK 20 GROSDIDIER, 1973; Profil Xabaal Garure, Probe XGa66; unteres Alb.
 5, 8, 12: WW. 5: LK, O.Nr. TUB-SOU 51, L: 0,67 mm. 8: O.Nr. TUB-SOU 50, L: 0,70 mm, 8a: GR; 8b: GD. 12: GL, O.Nr. TUB-SOU 271, L: 0,75 mm (Exemplar dorsal leicht verdrückt). 6, 9: MM. 6: O.Nr. TUB-SOU 52, L: 0,73 mm, 6a:GL; 6b: GD. 9: O.Nr. TUB-SOU 272, L: 0,75 mm, 9a: LK; 9b: LKD.
- Fig. 10, 11, 13, 14: *Strigosocythere*? *subrectangulata* n.sp.; Profil Tisje, Probe Tis2; Campan.
 10, 11, 14: WW. 10: O.Nr. TUB-SOO 54, L: 0,50 mm, 10a: GR (Exemplar hinten medioventral beschädigt); 10b: GD. 11: Holotyp, GL, O.Nr. TUB-SOO 55, L: 0,52 mm. 14: GD, O.Nr. TUB-SOO 72, L: 0,57 mm. 13: MGR, O.Nr. TUB-SOO 274, L: 0,66 (Abbildung der Dorsalansicht aus technischen Gründen nicht möglich; Exemplar nicht beschädigt).
- Fig. 15, 16, 19, 20: *Strigosocythere*? cf. *tetrancota* AL-ABDUL-RAZZAQ 1979; Profil Tisje, Probe Tis2; Campan.
 15, 16, 19: WW. 15: RK, O.Nr. TUB-SOO 73, L: 0,64 mm. 16: GL, O.Nr. TUB-SOO 76, L: 0,67 mm. 19: O.Nr. TUB-SOO 74, L: 0,71 mm, 19a: GR (Exemplar vor der Mitte unterhalb des Dorsalbereichs beschädigt); 19b: GD. 20: MGR, O.Nr. TUB-SOO 77, L: 0,71 mm.
- Fig. 17, 18, 21-24: *Trachyleberidea*? *bismuthi* n.sp.; Profil Tisje, Probe Tis2; Campan.
 17, 21, 24: WW. 17: Holotyp, GL, O.Nr. TUB-SOO 288, L: 0,53 mm. 21: O.Nr. TUB-SOO 48, L: 0,53 mm, 21a: GL; 21b: GD. 24: GR, O.Nr. TUB-SOO 289, L: 0,56 mm. 18, 22, 23: MM. 18: GR, O.Nr. TUB-SOO 49, L: 0,58 mm (Exemplar posteromedian ventral eingedrückt). 22: O.Nr. TUB-SOO 50, L: 0,62 mm, 22a: GL; 22b: GD. 23: O.Nr. TUB-SOO 290, L: 0,59 mm, 23a: GR; 23b: GD.

Tafel 45

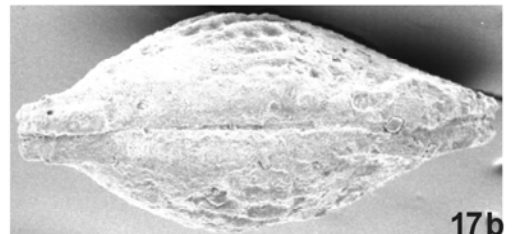
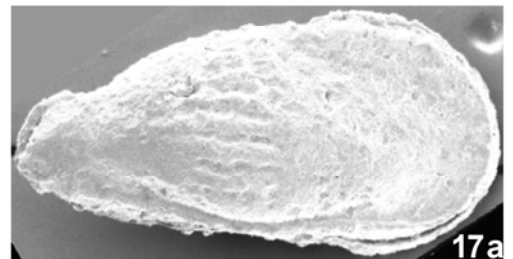
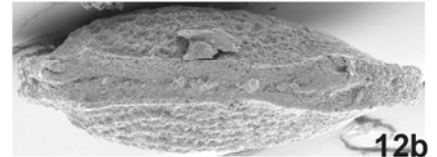
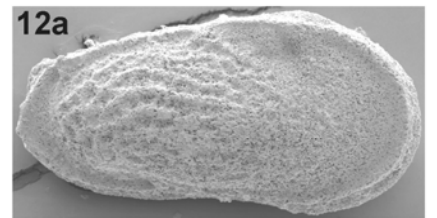
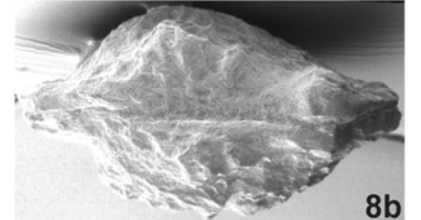
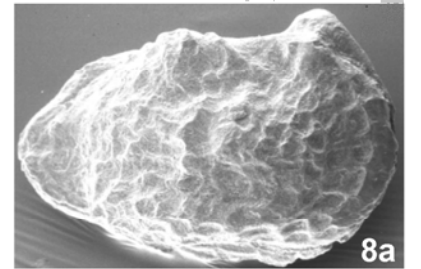
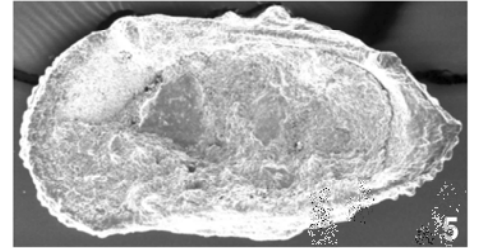
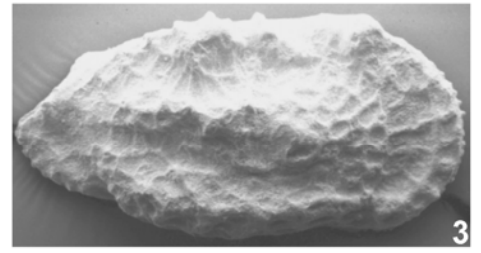
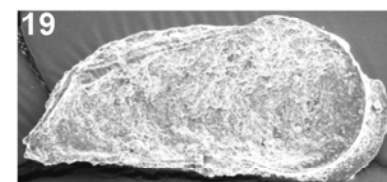
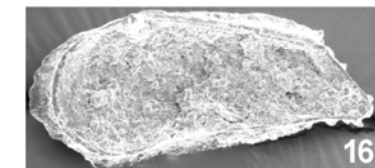
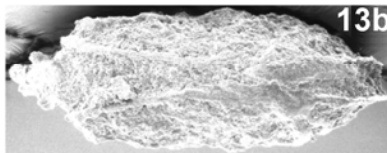
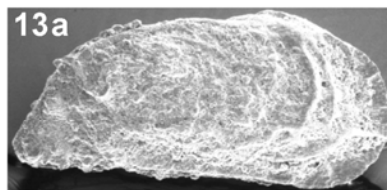
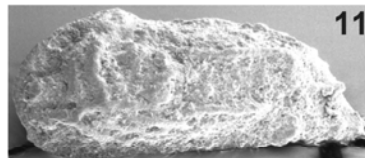
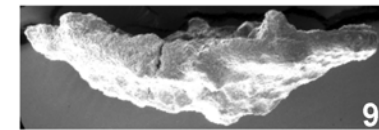
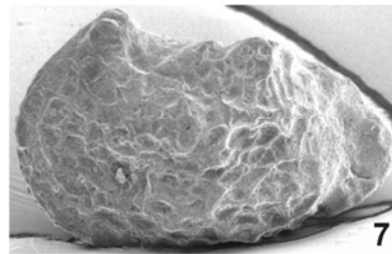
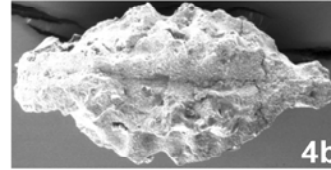
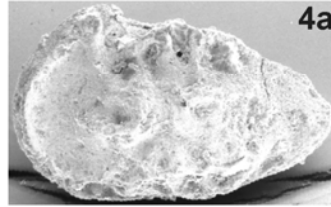
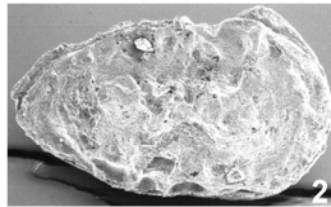
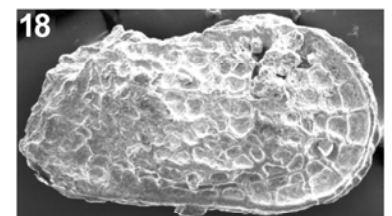
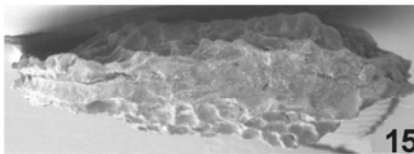
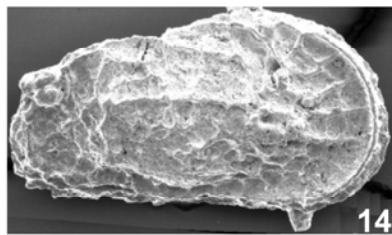
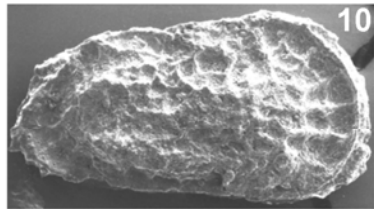
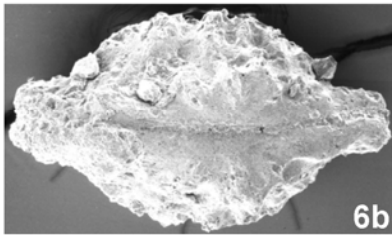
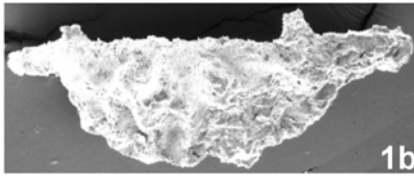
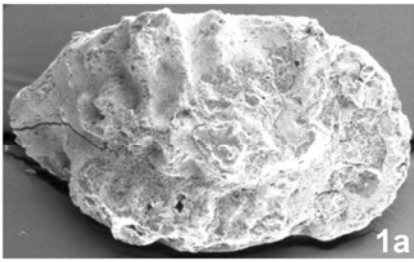


Tafel 46

Fig. 1- 9 ca. 60x, Fig. 10-20 ca. 80x, Nordsomalia.

- Fig. 1, 6: „*Veeniacythereis*“ gr. *jezzineensis* Typus *jezzineensis* (BISCHOFF, 1963); Profil Xabaal Garure, Probe XGa101; mittleres Cenoman.
1: O.Nr. TUB-SOU 84, L: 0,88 mm, 1a: RK; 1b: RKD. 6: O.Nr. TUB-SOU 83, L: 0,83 mm, 6a:LK (leicht verkippt); 6b: GD.
- Fig. 2, 4: „*Veeniacythereis*“ gr. *jezzineensis* Typus *streblolophata* (AL ABDUL RAZZAQ & GROSDIDIER, 1981); Profil Xabaal Garure, Probe XGa101; mittleres Cenoman.
2: GR, O.Nr. TUB-SOU 86, L: 0,69 mm. 4: O.Nr. TUB-SOU 85, L: 0,70 mm, 4a: GL; 4b: GD.
- Fig. 3, 5, 7-9: „*Veeniacythereis*“ *alabdulrazzaqi* n.sp.; Profil Las Koreh, Probe LKo22; mittleres Alb.
3, 5: MM. 3: RK, O.Nr. TUB-SOU 78, L: 0,98 mm. 5: RKI, O.Nr. TUB-SOU 80, L: 0,96 mm. 7-9: WW. 7: LK, O.Nr. TUB-SOU 76, L: 0,82 mm. 8: Holotyp, O.Nr. TUB-SOU 218, L: 0,83 mm, 8a: GR; 8b: GD. 9: RKD, O.Nr. TUB-SOU 77, L: 0,78 mm.
- Fig. 10, 14, 15, 18: *Brouwersicythere salehi* (AL FURAIH), 1984; Profil Tisje, Probe Tis2; Campan.
10, 18: WW. 10: GR, O.Nr. TUB-SOO 301, L: 0,59 mm. 18: GR, O.Nr. TUB-SOO 47, L: 0,59 mm. 14, 16: MM. 14: GR, O.Nr. TUB-SOO 44, L: 0,62 mm. 16: GD, O.Nr. TUB-SOO 43, L: 0,67 mm.
- Fig. 11, 13, 16, 19: *Bischofficythere* Gen. nov. *somaliensis* n.sp.; Profil Dhadhabo, Probe Dha25; unteres oberes Apt.
11, 19: MM. 11: Holotyp. LK. O.Nr. TUB-SOU 62, L: 0,58 mm. 19: LKI, O.Nr. TUB-SOU 64, L: 0,60 mm. 13, 16: WW. 13: O.Nr. TUB-SOU 63, L: 0,61 mm, 13a: GR; 13b: GD. 16: RKI, O.Nr. TUB-SOU 65, L: 0,56 mm.
- Fig. 12, 17: *Soudanella dolabrata* AL-FURAIH 1984; Profil Tisje.
12: Probe Tis17, Maastricht. O.Nr. TUB-SOO 306, L: 0,66 mm, 12a: GR; 12b: GD.
17: Probe Tis2, Campan. O.Nr. TUB-SOO 14, L: 0,80 mm, 14a: GR (Exemplar posterodorsal beschädigt); 14b: GD.

Tafel 46



Tafel 47

Alle Objekte ca. 60x, Nordsomalia.

Fig. 1, 2, 5: *Isalococythere? szczechurai* n.sp.; Profil Tisje, Probe Tis37; unteres Paleozän.

1, 5: MM. 1: O.Nr. TUB-SOO 237, L: 0,98 mm, 1a: GL; 1b: GD. 5: O.Nr. TUB-SOO 238, L: 0,98 mm, 5a: GR; 5b: GD. 2: Holotyp, W, O.Nr. TUB-SOO 239, L: 1,19 mm, 2a: GL; 2b: GD.

Fig. 3, 4: *Dameriacella* sp. aff. *D. tranquilis* (AL-FURAIH, 1980); Profil Tisje, Probe Tis2; Campan.

3: GR, O.Nr. TUB-SOO 27, L: 0,66 mm. 4: JGR, O.Nr. TUB-SOO 34, L: 0,47 mm.

Fig. 6, 8: *Soudanella dolabrata* AL-FURAIH, 1984; Profil Tisje, Probe Tis2; Campan.

6: WGR, O.Nr. TUB-SOO 11, L: 0,71 mm. 8: MGL, O.Nr. TUB-SOO 13, L: 0,78 mm.

Fig. 7: *Hornibrookella soliporosa* (AL-FURAIH, 1980); Profil Tisje, Probe Tis37; unteres Paleozän.

O.Nr. TUB-SOO 240, L: 0,96 mm, 7a: GR; 7b: GD.

Fig. 9, 13: *Paragrenocythere biclavata* AL-FURAIH, 1975; Profile Tisje, Probe Tis17; Maastricht.

9: GL (Juv?) O.Nr. TUB-SOO 178, L: 0,74 mm). 13: O.Nr. TUB-SOO 177, L: 0,85 mm, 13a: GR; 13b: GD.

Fig. 10, 11: *Phalcoocythere bullita* AL-FURAIH, 1980; Profil Tisje, Probe Tis37; unteres Paleozän.

10: GL, O.Nr. TUB-SOO 243, L: 0,78 mm. 11: GD, O.Nr. TUB-SOO 241, L: 0,74 mm.

Fig. 12, 15, 16: *Paragrenocythere* cf. *biclavata* AL-FURAIH, 1975; Profil Tisje, Probe Tis37; unteres Paleozän.

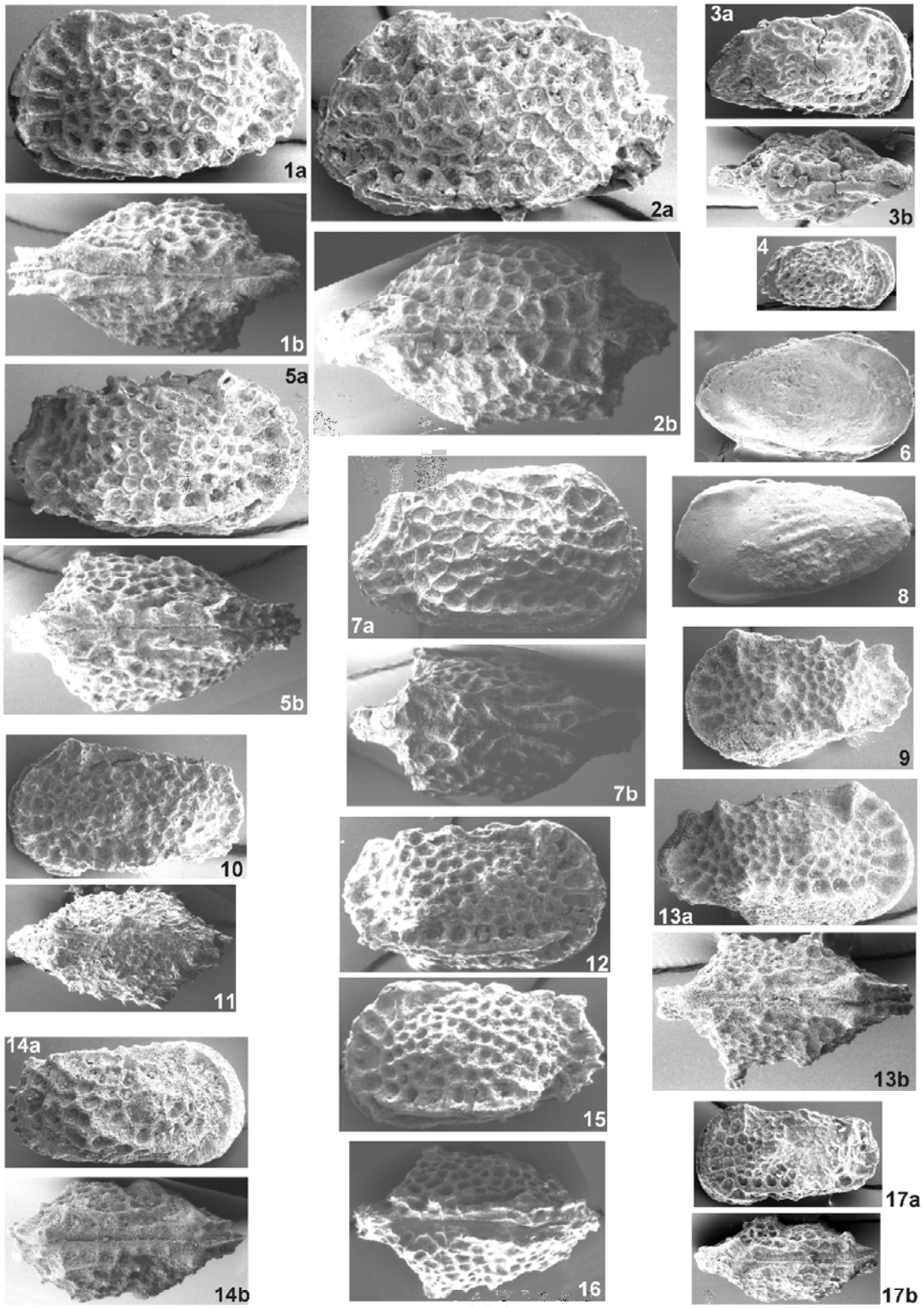
12: GR, O.Nr. TUB-SOO 234, L: 0,87 mm. 15: GL, O.Nr. TUB-SOO 235, L: 0,86 mm. 16: GD, O.Nr. TUB-SOO 236, L: 0,82 mm.

Fig. 14, 17: *Phalcoocythere hebes* AL-FURAIH 1980.

14: Profil Biyo Kulule, Probe BKu19; Maastricht. M, O.Nr. TUB-SOO 172, L: 0,78 mm, 14a: GR; 14b: GD.

17: Profil Tisje, Probe Tis2; Campan. O.Nr. TUB-SOO 28, L: 0,69 mm, 17a: GL; 17b: GD.

Tafel 47



Tafel 48

Alle Objekte ca. 80x, Nordsomalia.

Fig. 1, 2, 4, 9, 12: *Phalcoocythere hebes* AL-FURAIH 1980; Maastricht.

1: Profil Biyo Kulule, Probe BKu19. MGL, O.Nr. TUB-SOO 173, L: 0,74 mm.

2, 4, 9, 12 Profil Tisje.

2: Probe Tis17. JGR, O.Nr. TUB-SOO 173, L: 0,57 mm

4, 9, 12: Probe Tis13. 4: M, O.Nr. TUB-SOO 170, L: 0,76 mm, 4a: GR; 4b: GD. 9, 12: WW. 9: GR, O.Nr. TUB-SOO 169, L: 0,76 mm. 12: GD, O.Nr. TUB-SOO 168, L: 0,83 mm.

Fig. 3, 6, 8, 11, 13: Cytheracea Gen. indet. sp.; Profil Tisje, Probe Tis2; Campan.

3, 6, 13: ?MM. 3: O.Nr. TUB-SOO 298, L: 0,60 mm, 3a: GL; 3b: GD. 6: GL, O.Nr.

TUB-SOO 298. L: 0,60 mm. 13: LKI, O.Nr. TUB-SOO 299, L: 0,59 mm. 8, 11: ?WW.

8: O.Nr. TUB-SOO 59, L: 0,53 mm (Exemplar anterodorsal beschädigt), 8a: GL; 8b:

GD. 11: O.Nr. TUB-SOO 58, L: 0,50 mm, 11a: GR; 11b: GD.

Fig. 5, 7, 10: *Athersuchicythere* Gen. nov. *elongata* n.sp; Profil Tisje, Probe Tis2; Campan.

5: Holotyp, W, O.Nr. TUB-SOO 281, L: 0,67 mm, 5a: GL; 5b: GD (RK beschädigt). 7:

M, O.Nr. TUB-SOO 282, L: 0,63 mm, 7a: GL; 7b: GD. 10: JGL. O.Nr. TUB-SOO 283, L: 0,55 mm.

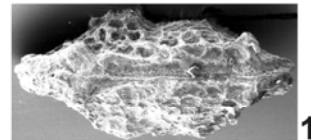
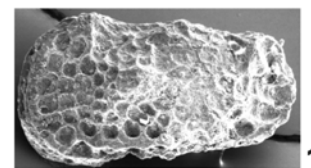
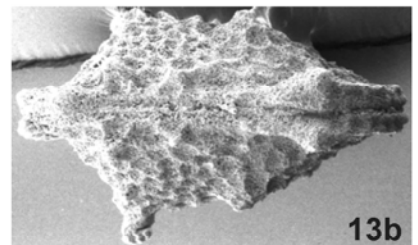
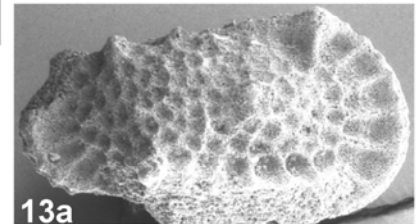
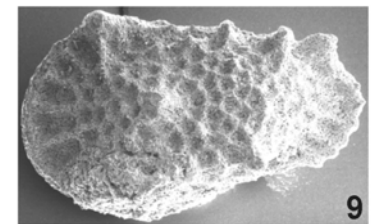
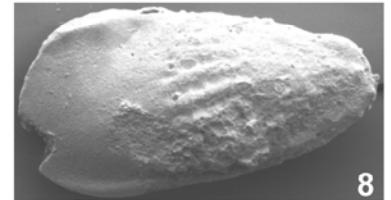
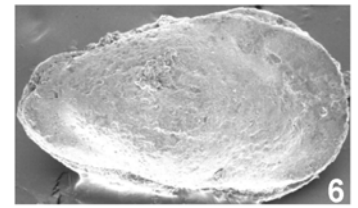
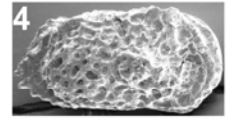
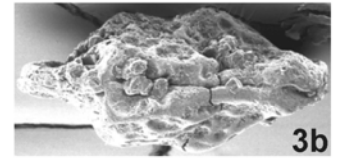
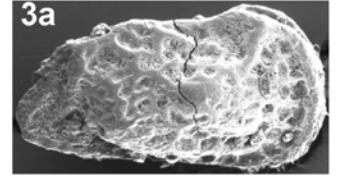
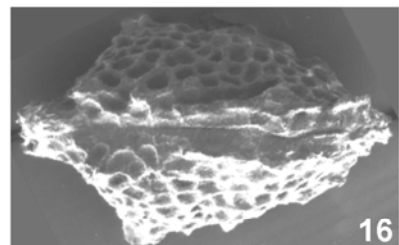
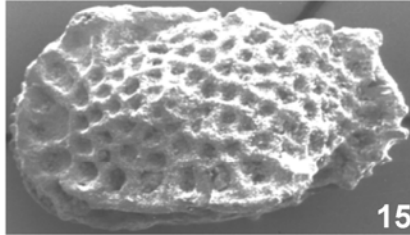
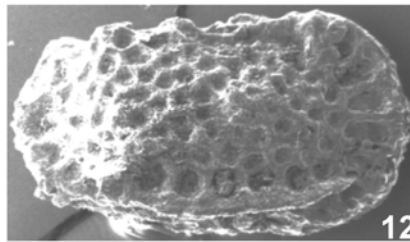
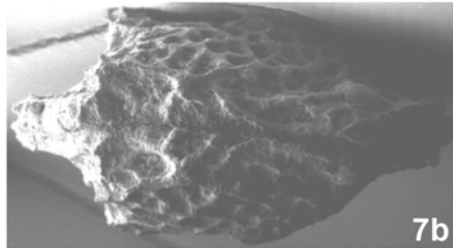
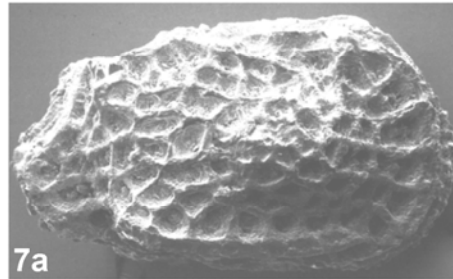
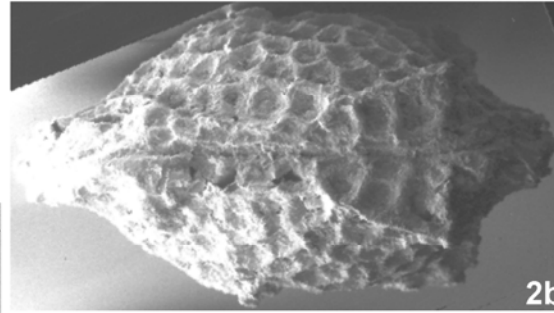
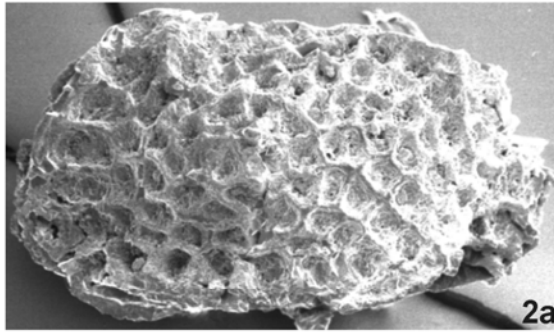
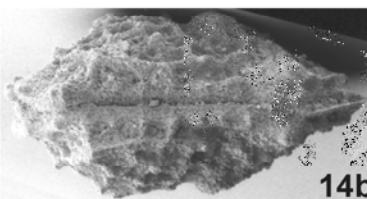
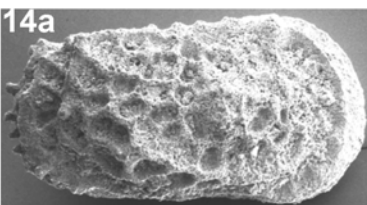
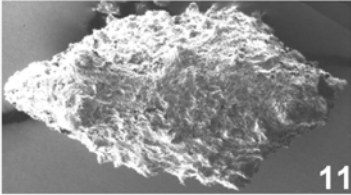
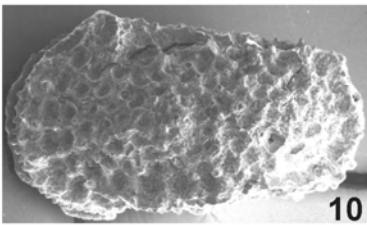
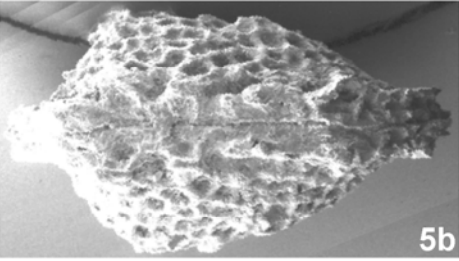
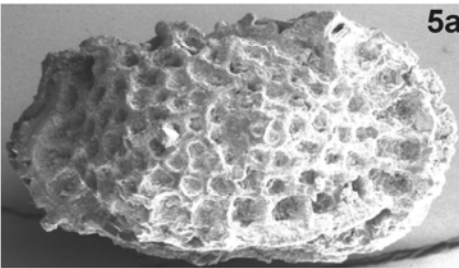
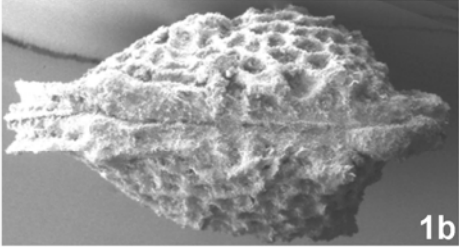
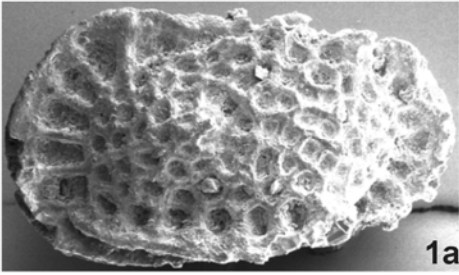
Fig. 14-16: *Uroleberis lacrimaeformis* LUGER, 1999; Profil Tisje, Probe Tis2; Campan.

14, 15: MM. 14: O.Nr. TUB-SOO 94, L: 0,52 mm, 14a: GR; 14b: GD. 15: O.Nr. TUB-

SOO 96, L: 0,53 mm, 15a: GR; 15b: GD. 16: W (Holotyp), O.Nr. TUB-SOO 93, L:

0,52 mm, 16a: GR; 16b: GD.

Tafel 48

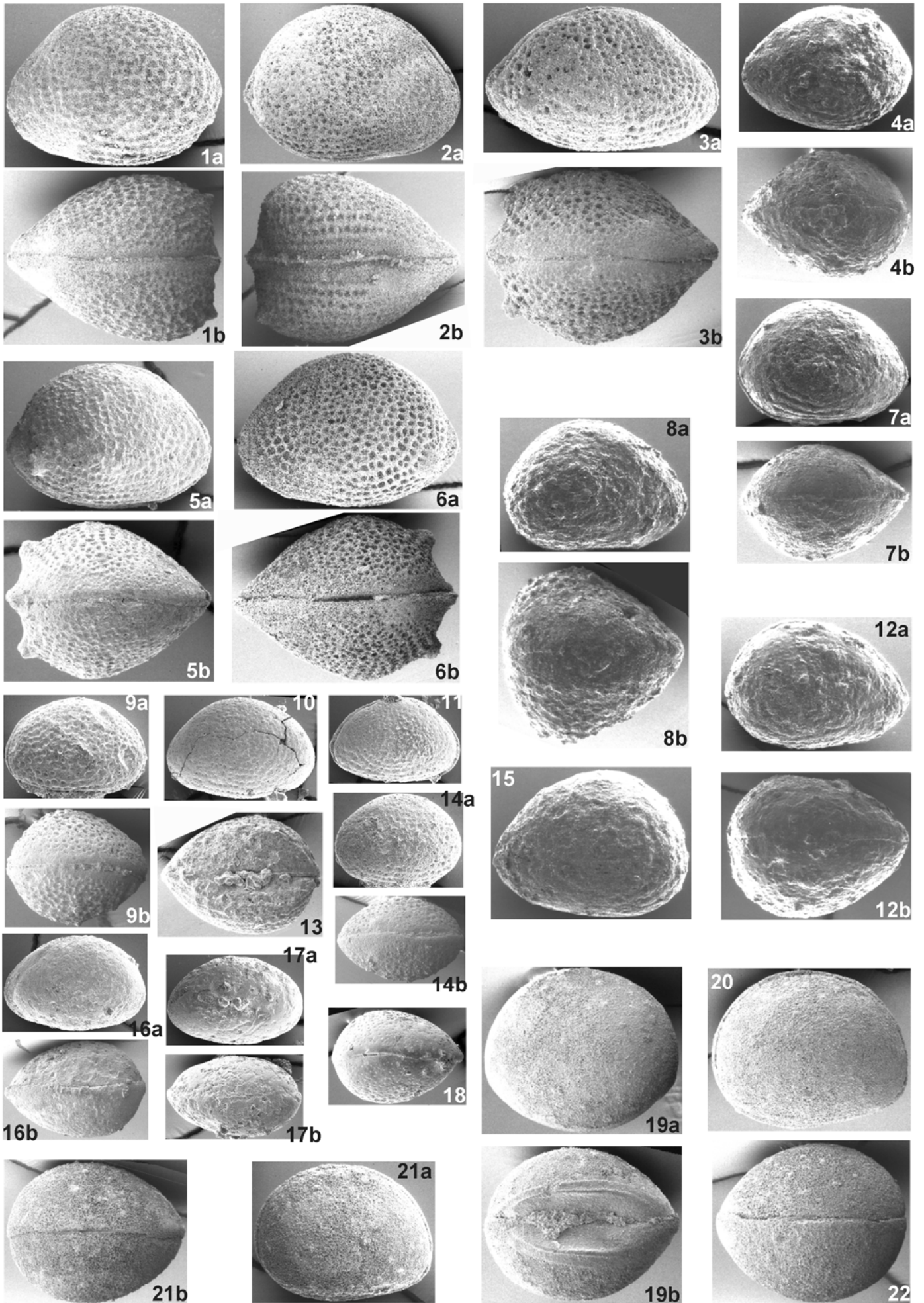


Tafel 49

Alle Objekte ca. 60x, Nordsomalia.

- Fig. 1-3, 5, 6: *Somalileberis hillebrandti* LUGER, 1999; Maastricht.
 1, 3: Profil Tisje, Probe Tis17. 1: W, (Holotyp), O.Nr. TUB-SOO 150, L: 0,70 mm, 1a: GL; 1b: GD. 3: M, O.Nr. TUB-SOO 151, L: 0,77 mm, 3a: GR; 3b: GD.
 2, 5, 6: Profil Biyo Kulule, Probe Bku19. 2: W, O.Nr. TUB-SOO 153, L: 0,72 mm, 2a: GR; 2b: GV. 5, 6: ?MM/?A-1. 5: O.Nr. TUB-SOO 155, L: 0,68 mm, 5a: GR; 5b: GD. 6: O.Nr. TUB-SOO 156, L: 0,74 mm, 6a: GL; 6b: GD.
- Fig. 4, 7: *Saudileberis stagnosa* (AL-FURAIH, 1980); Profil Tisje, Probe Tis37; unteres Paleozän.
 4: W, O.Nr. TUB-SOO 228, L: 0,56 mm, 4a: GL; 4b: GD. 7: M, O.Nr. TUB-SOO 227, L: 0,56 mm, 7a: GR, 7b: GD.
- Fig. 8, 12, 15: *Saudileberis vulsa* (AL-FURAIH, 1980)); Profil Tisje, Probe Tis37; unteres Paleozän.
 8, 15: WW. 8: O.Nr. TUB-SOO 231, L: 0,61 mm, 8a: GR; 8b: GD. 15: GL, O.Nr. TUB-SOO 232, L: 0,64 mm. 12: M, O.Nr. TUB-SOO 233, L: 0,61 mm, 12: GR; 12b: GD.
- Fig. 9-11, 13, 14, 16-18: *Saudileberis ovata* (Al-FURAIH, 1984); Profil Tisje.
 9-11, 13, 14, 18: *Saudileberis ovata* (Al-FURAIH, 1984) s.s. (retikulierte Form).
 9, 14: Probe Tis13; Maastricht. 9: W, O.Nr. TUB-SOO 190, L: 0,47 mm, 9a: GR; 9b: GD. 14: M, O.Nr. TUB-SOO 191, L: 0,40 mm, 14a: GL; 14b: GD.
 10, 11, 13, 18: Probe Tis2; Campan. 10, 13, 18: WW. 10: GL, O.Nr. TUB-SOO 119, L: 0,43 mm. 13: GV, O.Nr. TUB-SOO 118, L: 0,53 mm. 18: GD, O.Nr. TUB-SOO 116, L: 0,43 mm. 11: MGL, O.Nr. TUB-SOO 120, L: 0,41 mm.
 16, 17: *Saudileberis ovata* (Al-FURAIH, 1984) s.l. (glatte Form); Probe Tis2; Campan. 16: W, O.Nr. TUB-SOO 117, L: 0,46 mm, 16a: GL; 16b: GD. 17: M, O.Nr. TUB-SOO 123, L: 0,44 mm, 17a: GL; 17b: GD.
- Fig. 19-22: *Saudileberis? siddiquii* n.sp.; Maastricht.
 19, 20: Profil Biyo Kulule, Probe BKu19. WW. 19: Holotyp, O.Nr. TUB-SOO 187, L: 0,65 mm, 19a: GL; 19b: GV. 20: GR, O.Nr. TUB-SOO 186, L: 0,65 mm.
 21, 22: Profil Tisje, Probe Tis17. 21: M, O.Nr. TUB-SOO 184, L: 0,59 mm; 21a: GR; 21b: GD. 22: WGD, O.Nr. TUB-SOO 183, L: 0,63 mm.

Tafel 49





abhandlungen

Band 1 - Teil 2 - Tafelband

ISSN 2626-4161 (Print)

ISSN 2626-9864 (Online)

ISBN 978-3-947953-00-4 (Gesamtausgabe)

ISBN 978-3-947953-01-1 (Band 1 - Teil 1)

ISBN 978-3-947953-02-8 (Band 1 - Teil 2)